

نقشه برداری

نشریه علمی و فنی سازمان نقشه برداری کشور
سال هفتم، شماره ۲۶ (پیاپی ۷۵)، تابستان ۱۳۹۴



NCC Scientific and Technical Journal
Vol. 5, No. 1, Serial 75, Summer 1994



قیمت: ۱۵۰ تومان



فراخوان مقاله

چهارمین کنفرانس

سیستم‌های اطلاعات جغرافیایی

GIS ۷۶

GIS

هدف: تعمیم و توسعه دانش سیستم‌های اطلاعات جغرافیایی و کاربرد آن در ایران

زمان برگزاری: نیمه‌اول اردیبهشت ماه ۱۳۷۶

مکان: سازمان نقشه‌برداری کشور

درخواست همکاری: از پژوهندگان و متخصصین دانش سیستم‌های اطلاعات جغرافیایی دعوت می‌شود که چکیده‌ای از پژوهش‌های علمی یا کاربردی خود را حداکثر در سه صفحه در قطع A4 تا تاریخ ۲۵/۷/۱۵ به همراه آدرس کامل - شماره تلفن - فاکس - Email به دبیرخانه کنفرانس ارسال فرمایند. پس از بررسی و انتخاب مقاله‌ها توسط هیئت علمی کنفرانس، و اطلاع از نتایج می‌باشد اصل مقاله تاریخ ۰۱/۱۰/۷۵ ارسال گردد.

نشانی دبیرخانه کنفرانس: تهران - میدان آزادی - خیابان معراج - سازمان نقشه‌برداری کشور

صندوق پستی: ۱۳۱۸۵-۱۶۸۴

فاکس: ۰۱۹۷۱

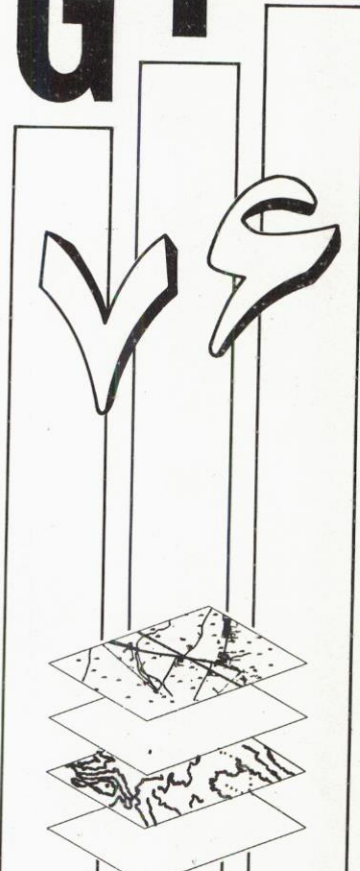
تلفن: ۰۰۰۱۰۹۸

Email : ncc1 @ dci.iran.com

Atten : Pub.Rel

روابط عمومی و امورین الملل
سازمان نقشه‌برداری کشور

سازمان نقشه‌برداری کشور



نقشه برداری

نشریه علمی و فنی سازمان نقشه برداری کشور

نقشه برداری، سال هفتم، شماره ۲ (پیاپی ۲۶)

صاحب امتیاز: سازمان نقشه برداری کشور

مدیر مسئول: جعفر شاعلی

زیرنظر هیئت تحریریه

همکاران این شماره:

مشاوران:

مهندس احمد شفاعت، دکتر علی اصغر روشن نژاد،
مهندس فرخ توکلی، مهندس عباس رجبی فرد،
مهند بهمن تاج فیروز، مهندس حمیدرضا نانکلی،
مهند بهناد غضنفری.

نویسندهای و مترجمین:

حمیدرضا نانکلی، اصغر میرزاگی، رامین رحیمی
جعفری، ناهیدحیات شاهی، مهدی مجدآبادی،
محمدجواد ولدان زوج.

ویرایش: حشمت الله نادرشاهی

صفحه آرایی و موتتاژ: مرضیه نوریان

گرافیک: مهری عمومسلطانی

تایپ: فاطمه وفاجو

لیتوگرافی، چاپ و صحافی: چاپخانه سازمان
نقشه برداری کشور

نقشه برداری، نشریه‌ای است علمی و فنی که هر سه ماه یکبار منتشر می‌شود. هدف از انتشار این نشریه ایجاد ارتباط بیشتر میان نقشه برداران و کمک به پیشبرد جنبه‌های پژوهشی، آموزشی و فرهنگی در زمینه علوم و فنون نقشه برداری و تهیه نقشه، فتوگرامتری، ژئودزی، کارتوگرافی، آبنگاری، جغرافی، سنجهش از دور و سیستمهای اطلاعات جغرافیایی (GIS) در ایران است.

نشریه از همکاری دانشمندان و صاحب‌نظران و آگاهان این رشته‌ها صمیمانه استقبال می‌نماید و انتظار دارد مطالبی که برای انتشار ارسال می‌دارند، دارای ویژگی‌های زیر باشد:

جنبه آموزشی، پژوهشی یا کاربردی داشته باشد.

تازه‌ها و پیشرفتهای این علوم و فنون را در جهات مختلف ارائه نماید.
مطلوب ارسالی در جای دیگر به چاپ نرسیده باشد.

نشریه نقشه برداری، در رد یا قبول، حذف و ویرایش مقاله‌های رسیده آزاد است. ویرایش حتی المقدور با نظر نویسنده یا مترجم صورت خواهد گرفت. بهر صورت مقاله پس داده نمی‌شود: درج نظرات و دیدگاههای نویسنده‌گان الزاماً به معنای تایید آنها از سوی نشریه نمی‌باشد.

نشانی:

میدان آزادی، خیابان معراج، سازمان
نقشه برداری کشور

صندوق پستی: ۱۶۸۴ - ۱۳۱۸۵

تلفن دفتر نشریه: ۰۱۱۸۴۹

تلفن دفتر اشتراک: ۰۳۴۰۷۳

فاکس: ۰۱۹۷۱ و ۰۶۰۰۱۹۷۲

درخواست از نویسندها و مترجمان

اطفا مقاله های خود را توسط صندوق پستی ۱۳۸۴-۱۶۸۵ به دفتر نشریه ارسال فرمایید.

۱. مطالبی را که برای ترجمه بر می گزینید بیش از ترجمه برای مجله بفرستید تا به تایید هیئت تحریریه برسد.

۲. متن اصلی مقاله های ترجمه شده بپوست ترجمه باشد.

۳. نظر مقاله روان و از نظر قواعد نگارش درست باشد و در انتخاب واژه های علمی و فنی و معادله های فارسی واژه های

خارجی دقت لازم مبذول گردد.

۴. مطالب بر روی یک طرف کاغذ A4 و بصورت یک خط در میان، با خط خوانا نوشته یا ماشین شود.

۵. فهرست منابع و مأخذ مورد استفاده، در صفحه جداگانه ای نوشته و بپوست گردد.

۶. محل قرار گرفتن جدولها، نمودارها، نگاره ها و عکسها با علامتی در حاشیه مقاله تعیین شود.

۷. معادله های فارسی واژه های خارجی بکار رفته در صفحه ای جداگانه بپوست گردد.

فهرست

۵.....	■ ایجاد شبکه صفر ژئودزی ماهواره ای کشور و اتصال آن به شبکه جهانی
۱۶.....	■ تحلیلی بر رفتار و حرکات ۴ ساله سد سپیدرود پس از زلزله ۳۱ خرداد ۶۹
۲۸.....	■ بررسی روش های شبکه بندی کروی برای IGS جهانی
۳۵.....	■ کاربرد سیستم های اطلاعات جغرافیا یی در میکرو ژئودزی
۳۸.....	■ از آنالوگ تا رقومی
۴۰.....	■ گزارش خبری
۴۸.....	■ خبرها و گزارش های علمی و فنی
۵۴.....	■ معرفی کتاب
۵۴.....	■ گزیده خلاصه مقالات
	■ بخش انگلیسی

ایجاد شبکه صفر ژئودزی ماهواره‌ای کشور

۹

اتصال آن به شبکه جهانی IGS

تألیف: مهندس حمیدرضا نانکلی، کارشناس ارشد ژئودزی سازمان نقشه‌برداری کشور

انجام می‌شد که دشواریهای فراوان در برداشت؛ از جمله هزینه زیاد و اتلاف وقت. انجام محاسبات و اجرای عملیات آنها ماهها و سالها به طول می‌انجامید. امروزه با استفاده از GPS تمام این مشکلات بر طرف شده و نقاط در کمترین زمان ممکن اندازه‌گیری و محاسبه می‌شوند.

در این مقاله، ابتدا مژویی بر وضعيت ژئودزی ماهواره‌ای کشور خواهیم داشت و سپس طرح و اهداف شبکه صفر مورد بررسی قرار خواهد گرفت.

آنچه در زیر از نظر خوانندگان عزیز می‌گذرد، در واقع گزارش تحلیلی فعالیت اجرایی یکی از کارهای ژئودزی سازمان نقشه‌برداری کشور است که در تابستان سال جاری ارائه گردیده است. نظر به اهمیت موضوع، آقای مهندس نانکلی، مسئول طرح، آن را در قالب مقاله‌ای برای نشریه تنظیم نموده‌اند. همچنانکه از متن مقاله بر می‌آید، بهنگام بودن فعالیتهای ژئودزیک از یکطرف و رعایت استانداردهای مربوط به دقت و کیفیت از ویژگی‌های بارز این فعالیت است. در مراحل اجرایی، همکاری هماهنگ بین قسمتها و افراد مختلف لازم بوده که به عمل آمده است. این مورد، به تصریح مؤلف، خدمات و همکاریهای آقای مهندس فرج توکلی و آقای منصور قنبری و سایر همکاران شایان تقدیر است.

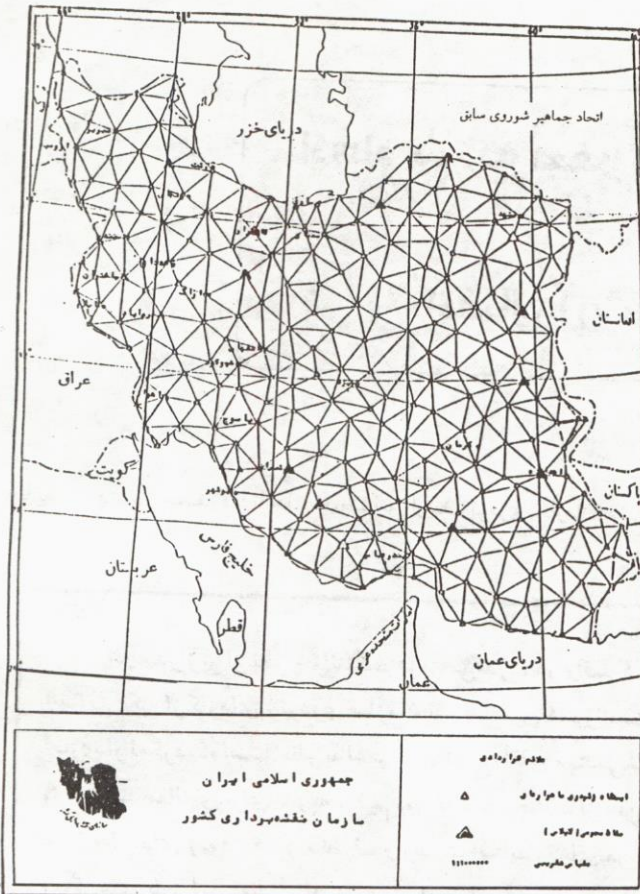
پیشگفتار

۱- شبکه ژئودزی ماهواره‌ای درجه یک کشور

در سال ۱۳۶۶ سازمان نقشه‌برداری کشور به ۳ دستگاه گیرنده ماهواره‌ای WM101 مجهز گردید. پس از تست این دستگاهها و اندازه‌گیری چند شبکه‌ی با طولهای متفاوت و پردازش داده‌های جمع‌آوری شده توسط نرم‌افزار این گیرنده، به نام POPS، نتایج به دست آمده حاکی از

به طور کلی برای به وجود آوردن استخوان‌بندی ساختاری، به منظور تهیه نقشه عمومی یک منطقه یا کشور؛ برای تعیین مرزها و حدود استانی، کشوری و بین‌المللی، برای هماهنگی در اندازه‌گیریها و حفظ دقتهای مورد نیاز و ... لازم است در هر کشور یا منطقه شبکه‌های ژئودزی را به عنوان یک نیاز اساسی به وجود آورد تا با استناد به این شبکه‌ها، تمام نقشه‌ها قابل اتصال به یکدیگر باشند و هماهنگ و یکنواخت گردند.

این شبکه‌ها ممکن است به طور پیوسته تمام سطح کشور را پوشانند یا به صورت یک رشته زنجیره‌های شرقی - غربی یا شمالی - جنوبی قرار گرفته باشند. هر شبکه ژئودزی با توجه به فواصل نقاط آن از هم و دقت آن تعیین می‌شود. قبل از به کار گرفته شدن سیستم تعیین موقعیت جهانی (GPS)، تعیین موقعیت نقاط شبکه‌های ژئودزی، به طریق کلاسیک



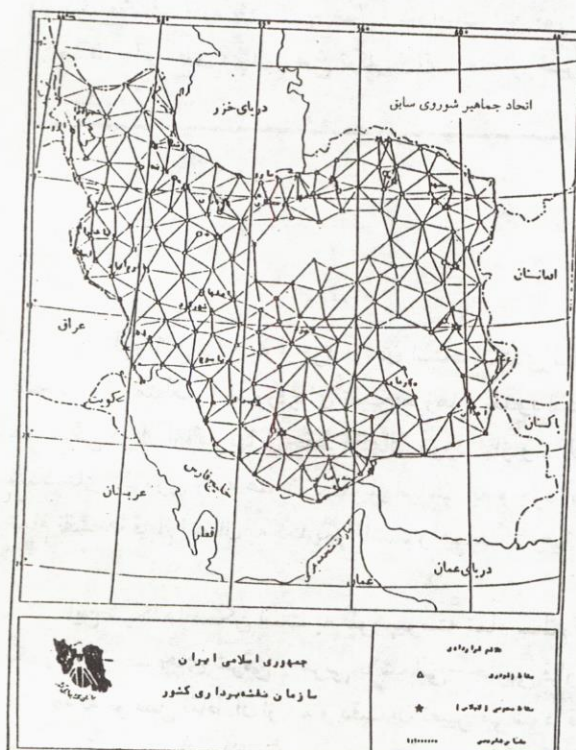
نگاره ۱- طرح
پیشنهادی شبکه
ژئودزی ماهواره‌ای
درجه ۱

سهولت کار، سرعت و دقت بالاتر نسبت به روش کلاسیک بود. لذا مسئولین وقت تشویق شدند که اولویت بالاتری به این سیستم بدهند. از این‌رو شبکه‌ای به صورت سه ضلع‌بندی با اضلاع به طور متوسط ۱۰۰ کیلومتر در سطح کل کشور طراحی گردید که به روش ماهواره‌ای اندازه‌گیری شود. در این شبکه تعدادی از ایستگاه‌های شبکه ماهواره‌ای (۱۵ ایستگاه) با شبکه ژئودزی کلاسیک مشترک بود.

در نگاره ۱، طرح پیشنهادی نشان داده شده است.

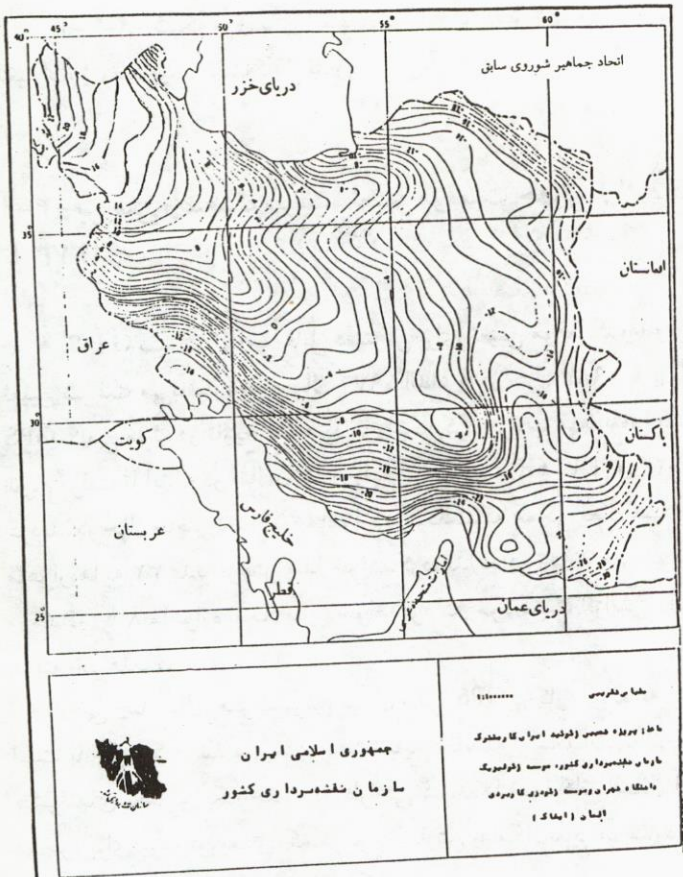
برای اجرای این طرح تصمیم گرفته شد که هر ۲۴ ساعت یک مثلث کار شود. در آن زمان ۸ ماهواره فعال بود و ارتباط با ۴ ماهواره در کمتر از ۴ ساعت میسر بود. هر دستگاه روی یک راس مثلث مستقر شد و هر سه به طور همزمان داده‌ها را جمع‌آوری می‌کردند. بیشتر اضلاع مثلثها در دو زمان مختلف اندازه‌گیری شده. کار اندازه‌گیری مثلثها از شهریور ۱۳۶۷ شروع شد و تا اوخر پاییز ۱۳۶۹ ادامه یافت. از مجموع ۴۳۷ مثلث طراحی شده، تعداد ۳۴۳ مثلث اندازه‌گیری شده و اطلاعات مربوط به آنها توسط نرم‌افزار POPS پردازش یافته و در سرشکنی شبکه بکار برده شده است. نگاره ۲، شبکه ژئودزی ماهواره‌ای درجه یک کشور را که طی سالهای ۱۳۶۹ تا ۱۳۶۷ شده نشان میدهد.

نگاره ۲- شبکه
ژئودزی ماهواره‌ای
درجه ۱- کارشده در
سالهای ۱۳۶۹-۱۳۶۷
توسط سازمان
نقشه‌برداری کشور



۱-۲- محاسبات نهایی شبکه ژئودزی ماهواره‌ای درجه یک

برای سرشکنی یکپارچه شبکه از نرم‌افزار TRV 10 استفاده شده که کل شبکه را به طریق کمترین مربعات و روی بیضوی



نگاره ۳-
تخمین جدایی ژئویید
از پیضوی WGS-1984

سرشکن می‌کند. در این برنامه باید ارتفاع ارتومنتیک نقاط و ارتفاع ژئویید را به عنوان ورودی به برنامه معرفی کرد، برای این منظور ارتفاع ژئویید از کار مشترک سازمان با موسسه ایفاگ آلمان استخراج گردید و با توجه به آن ارتفاع ارتومنتیک نقاط محاسبه گردید و هر دو به برنامه معرفی شد.

در نگاره ۳، ژئویید ایران و تخمین جدایی آن از پیضوی WGS-84 به صورت منحنی میزان تغییر داده شده است.

با معرفی تمام اصلاح مثلاًها با وزن $10\text{mm} + 2\text{P.P.M}$ و داشتن 10 نقطه نجومی در شبکه و با ثابت گرفتن مشروط 5 نقطه با دقت $\pm 5\text{m}$ محله‌ای این نقاط عبارتند از: مشهد، تبریز، اهواز، سفیدآباد و اصفهان، که به ترتیب در شمال شرقی، شمال غربی، جنوب شرقی، جنوب غربی و مرکز شبکه قرار دارند) سرشکنی نهایی شبکه انجام گرفته است.

۲-۳-۱- در استحکام هندسی و آرایش آسمانی ماهواره‌های GPS در سالهای ۱۹۸۹ تا ۱۹۹۰ دقت کافی وجود نداشته است.

۲-۳-۲- G.P.S. سیستمی سه بعدی است و نتایج حاصل از آن در قالب اختلاف مختصات همراه با ماتریس واریانس کواریانس آنها ارائه می‌شود. به رغم این موضوع، تنها طولهای بدست آمده از پردازش همراه با دقت دستگاه WM101 در سرشکنی به کار برده شده، بدون اینکه از اطلاعات آماری دیگر (واریانس کواریانس) استفاده شود، که این امر خود ناسازگار با روش‌های استاندارد G.P.S. در دنیاست.

۲-۳-۳- عدم نقاط کنترل دقیق برای سرشکنی نقاط کنترل شبکه درجه یک از پردازش تک نقطه^۱ بدست آمده که خود تحت تاثیر پدیده S.A.^۲ بوده است. لذا با توجه به مشاهدات انجام شده و پردازش آنها دقت نقاط کنترل در حد $30-50$ متر می‌باشد.

۲-۳-۴- عدم استفاده از مختصات دقیق ماهواره‌ها.

۲-۳-۵- موقعیت شبکه درجه یک نسبت به شبکه جهانی توجیه نشده است.

۲-۳-۶- علاوه بر آنکه خطای تروپسfer و قطع فاز و چند مسیری وجود داشته، چگونگی حل مسئله ابهام فاز نیز سوال برانگیز می‌باشد.

همه مدارک مربوط به محاسبات این سرشکنی تحت عنوان تعدل سال ۱۳۷۰ موجود می‌باشد.

۲-۳-۱- آنالیز شبکه درجه یک ژئوڈزی ماهواره‌ای کشور

با توجه به بررسی به عمل آمده از اجرای این طرح و نتایج آن، نکات ذیل استخراج شده است:

۲-۳-۱- گیرنده WM101، تک فرکانس است و نمی‌باشد برای طولهای ۱۰۰ کیلومتر بکار برده می‌شود (خطای یونسfer).

و تثبیت شبکه درجه یک و همچنین کاربردی جدید از این تکنولوژی نوین در سازمان و گسترش شبکه جهانی تا نزدیکی ایران، تصمیم بر آن شد تا شبکه‌ای شامل ده نقطه مشترک با شبکه درجه یک (با توجه به زمان - هزینه - تعداد گیرنده) و به فواصل متوسط ۶۰۰ کیلومتری طراحی و آن را شبکه صفر بنامیم و به منظور بالا بردن دقت و قابلیت اطمینان و تثبیت شبکه صفر به شبکه جهانی GPS (ایجادشده توسط IGS) متصل گردد.

اتصال به شبکه جهانی از دو نقطه صورت گرفته است: یکی KITAB در ازبکستان و دیگری MATERA در ایتالیا. نقاط دیگری نیز در نزدیکی ایران وجود دارند که تا این زمان گیرنده‌های GPS روی آنها مستقر نشده و فعال نیستند.

عملیات اندازه‌گیری شبکه صفر از شهریور ماه ۷۳ شروع گردیده و تا ۱۵ آذر ۷۳ ادامه داشته است. در پردازش این شبکه از مختصات دقیق ماهواره‌ها استفاده شده و دقت شبکه فوق با توجه به اتصال به شبکه جهانی به طور مطلق ۱۵۰ سانتی‌متر و بطور نسبی ۰/۱۰ تا ۱/۰ (میلی‌متر) در کیلومتر (p.p.m) می‌باشد.

سیستم مختصات شبکه صفر کشور ۹۲ ITRF^۷ می‌باشد.

۲- طراحی شبکه صفر

به طور کلی طراحی در GPS تابع

۱-۴-۸-۳-۱- شبکه فوق برای استفاده در کارهای دقیق ژئودزی از جمله حرکات گسل‌ها و تغییرات ژئودینامیک دقت کافی ندارد.

۱-۴- بررسی وضعیت سیستم تعیین موقعیت جهانی (G.P.S.) از سال ۱۳۶۷ تا ۱۳۷۳

G.P.S. سیستم نظامی قابل دسترس برای تعیین موقعیت و ناویگی، ارسال زمان و تعیین سرعت می‌باشد که در سال ۱۹۷۴ ابداع و در سال ۱۹۸۳ با پرتاب اولین ماهواره GPS گامی موثر در تاریخ نقشه‌برداری ایجاد کرد. پرتاب ماهواره‌ها طبق برنامه اعلام شده انجام گرفت تا اینکه در سال ۱۹۹۴ آرایش آسمانی GPS کامل و ۲۴ ماهواره در مدار فعال گردید. در حال حاضر تعداد ۲۵ ماهواره درگردشند که همگی فعال هستند. در آینده تعداد این ماهواره‌ها به ۳۲ عدد افزایش پیدا خواهد کرد، لذا در هر زمان، حداقل ارتباط با ۱۲ ماهواره و حداقل با ۸ ماهواره امکان پذیر خواهد بود که خود سبب افزایش دقت و کاهش زمان و هزینه خواهد بود.

طی چند سال اخیر گسترش میدان عمل GPS در کارهای نقشه‌برداری قابل توجه بوده است تا جایی که رشد سریع در دقت نتایج حاصله از عملیات تعیین موقعیت با GPS و پیشرفت‌های تکنولوژیک جدید در طراحی گیرنده‌ها (دوفرکانسی شدن آنها) و نرم‌افزارهای موجود برای پردازش بعدی، که هر نوع پردازش را امکان‌پذیر می‌سازد، مهندسین نقشه‌بردار را به استفاده از این تکنیک مشتاق تر کرده است.

گذشته از دقت بالا، به علت سرعت زیاد راحتی کار، از دیدگاه اقتصادی نیز این سیستم مقرون به صرفه گردیده است، بطوریکه امروزه در همه عملیات نقشه‌برداری از جمله فتوگرامتری، آینه‌گاری، نقشه‌برداری زمینی (شبکه‌های ژئودزی، ترازیابی، تهیه نقشه، توپوگرافی و غیره به کار برده می‌شود).

همگام با تکامل سیستم GPS و پیشرفت‌های چشمگیر در زمینه تکنولوژی گیرنده‌ها و نرم‌افزارهای GPS، سازمان نقشه‌برداری کشور نیز در سال ۱۳۷۲ به سه دستگاه گیرنده دوفرکانسی SYS200 مجهز گردید. همزمان نیز شبکه‌های جهانی GPS توسط IGS^۱ و ZIRNEZ^۲ همراه با همکاری NASA^۳ ایجادشده و در حال گسترش در کل کره زمین می‌باشد. شبکه فوق توسط سیستم‌های فضایی SLR^۴ و LLR^۵ و VI BI^۶ ثبت شده است و دقت مطلق نقاط این شبکه در حد میلی‌متر، و گاهی ۱ تا ۲ سانتی‌متر می‌باشد. (در قسمت‌های بعدی مقاله راجع به شبکه جهانی توضیح بیشتر داده خواهد شد). لذا به منظور بهینه‌سازی

- 1- International GPS Service For Geodynamics
- 3- National Aeronautics And Space Administration
- 5- Very Long Baseline Inter Frometry
- 7- International Terrestrial Reference Frame

- 2- International Association of Geodesy
- 4- Satellite Laser Ranging
- 6- Lunar Laser Ranging

متساوی‌الاصلاء را داده و در session بعدی دو گیرنده ثابت و گیرنده دیگری بر روی ایستگاه بعدی انتقال یافته است. بدین ترتیب علاوه بر هندسه منظم شبکه و همگن^۴ بودن آن با تکرار اضلاع مشترک، بر استحکام آن نیز افزوده شده است.

۳-۲- طراحی نقاط شبکه صفر

با توجه به اینکه هدف ایجاد یک شبکه مبنایی در کشور بوده و همچنین می‌بایستی از این نقاط به عنوان نقاط معلوم در شبکه درجه یک استفاده می‌کردیم، این نقاط با شبکه درجه یک مشترک انتخاب شده و علاوه بر این، شرایط زیر نیز در نظر گرفته شده است که جزء اصول طراحی نقاط در G.P.S. می‌باشد:

- ۱- به منظور مناسب بودن ایستگاه شناسایی مقدماتی از محل حاصل شود.
- ۲- در اطراف ایستگاه موانع وجود نداشته باشد؛ ضمن آن که در اطراف آن عوامل ایجاد چندمسیری موجود نباشد.
- ۳- در اطراف ایستگاه، فرستنده امواج رادیویی - مایکروویو و خطوط انتقال نیرو مستقر نباشد.
- ۴- دسترسی به ایستگاه راحت باشد.
- ۵- از لحاظ زمین شناسی، ایستگاه در جای مناسب واقع شده باشد (پایداری نقاط).
- ۶- در اطراف کشور (نزدیک مرزها) باشد و بطور همگن و یکنواخت در سطح کشور پراکنده شده باشد.
- ۷- بر شبکه درجه یک کشور محاط باشد.

-
- | | |
|---------------------------|----------------|
| 1- Trial and error Method | 3- All in view |
| 2- Datum | |
| 4- Homogenous | |

پارامترهای متعدد می‌باشد که با رعایت آنها می‌توان به حداقل دقت ممکن رسید. از این پارامترها می‌توان هزینه، زمان، تعداد گیرنده‌ها، وسایل مورد نیاز از قبیل کامپیوتر و خدمات پشتیبانی را نام برد.

از نظر ریاضی این بدان معنی است که جمع عناصر اصلی (روی قطر) ماتریس واریانس-کوواریانس مجهولات می‌نیم شود. یعنی:

$$\text{Trace } (C_X) = T_I (A^T P A)^{-1} \sigma_0^2 = T_I \sigma_0^2 (N)^{-1} \rightarrow \text{Min}$$

در نتیجه به حداقل رسانیدن Trace(Inv(N)) موردنظر است. با توجه به این که ترکیب‌های متعدد ممکن است بین ایستگاه‌های زمینی و ماهواره‌ها وجود داشته باشد، بنا به دلایل عملی تعداد محدودی از این ترکیبات همراه با شرایط دیگر در نظر گرفته می‌شود. در نتیجه طراحی به سمت مسئله بهینه سازی و روش سعی و خطا میل خواهد کرد.

۱-۲- تعیین سطح مبنای Datum Definition

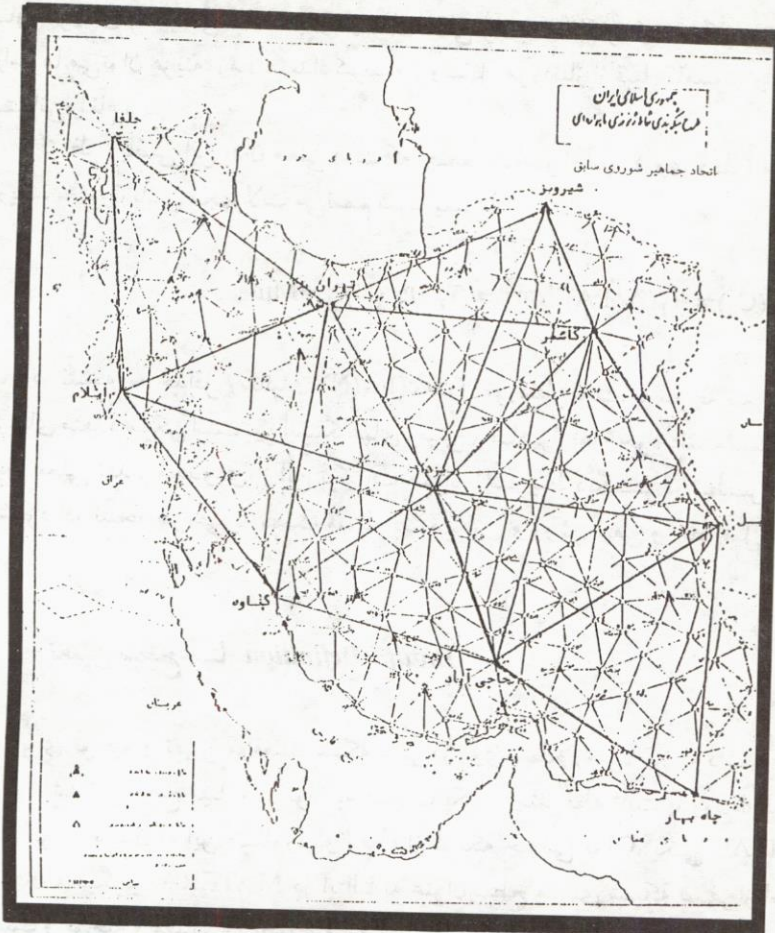
برای توجیه و تعیین موقعیت شبکه صفر در روی سطح زمین، نیاز به داشتن سطح مبنای^۵ باشد این سطح مبنای را می‌توان به صورت یک یا چند نقطه ثابت یا وزن‌دار در نظر گرفت. برای رسیدن به این منظور، دو نقطه از شبکه جهانی GPS، یکی KITAB از بیکستان و دیگری MATERA در ایتالیا به عنوان سطح مبنای شبکه صفر از لحاظ موقعیت و توجیه و مقیاس در نظر گرفته شد. در سیستم ITRF92 این دو نقطه مختصات معلوم و مشخص دارند و انحراف معيار ۴ میلی‌متر برای نقطه MATERA و ۱ سانتی‌متر برای نقطه KITAB در نظر گرفته شده است.

۲-۲- هندسه طراحی

علاوه بر پارامترهای ذکر شده در مقدمه، دو پارامتر مهم دیگر که در طراحی نقش دارند، هندسه ماهواره‌ها و همچنین هندسه شبکه نقاط زمینی می‌باشند، که هدف اصلی بهترین و مستحکم‌ترین ترکیب هندسی از هر دو پارامتر می‌باشد. استفاده از تمام ماهواره‌های قابل دید و تمام طولهای ممکن در شبکه بهترین دقت نسبی را می‌دهد.

اندازه‌گیری‌های شبکه صفر با استفاده از گیرنده‌های دوفرکانسی SYS200 انجام شده است. گیرنده فوق ۱۸ کاتاله است و تمامی ماهواره‌های قابل رویت^۶ را ردیابی می‌کند. شرط اول یعنی بهترین هندسه نیز برقرار و ≤ 6 GDOP بوده است. به عبارت دیگر از تمام ماهواره‌های قابل رویت استفاده شده علاوه براین که استحکام هندسی آنها نیز حفظ گردیده است.

در مورد برقراری شرط دوم نیز هندسه شبکه با توجه به تعداد گیرنده‌ها بصورت مثلث انتخاب گردیده به نحوی که هر ۳ گیرنده روی ۳ نقطه مستقر و تشکیل یک مثلث



۱- هر مثنت ۲ روز، روزی ۴/۲۰ ساعت
۲- ۹ مثنت

نگاره ۴- شبکه صفر ژئودزی ماهواره‌ای ایران (ZOGNI)

در نتیجه هر مثنت اصلی از شبکه صفر به مدت ۳ روز و روزی ۴/۵ ساعت مشاهده شده است و در نتیجه اضلاع مشترک عروز و روزی ۴/۵ ساعت قرائت گردیده است.

مثلثهای فرعی هر کدام به مدت یک روز و روزی ۴/۵ ساعت مشاهده شدند.
(زمان ۴/۵ ساعت حداقل پنجه مشاهداتی در روز با توجه به موقعیت محل و شرایط $\text{GDOP} \leq 6$ انتخاب شده است).

و مدل‌های ریاضی مربوط انجام خواهد گرفت.

مشاهدات در شبکه صفر (با توجه به پارامترهای ذکر شده) به صورت زیر انجام شده است: ۳ گیرنده دوفرکانسه روی ۳ ایستگاه مستقر شدند و با توجه به وضعیت GDOP در منطقه و رعایت $\text{GDOP} \leq 6$ مدت زمان ۴/۵ ساعت مشاهدات را بطور همزمان با تردد ۳۰ ثانیه ثبت کردند.
به عبارت دیگر در یک session سه نقطه قرائت گردیده است.

همین session به مدت ۲ روز دیگر با همان زمان مشاهده مجدداً قرائت شده است.

- 1- Network Independent Site Selection
2- Precise Ephemeride

۸- نکته‌ای که دقت GPS مستقل از انتخاب نقاط است رعایت شود.

۹- از مختصات دقیق ماهواره‌ها استفاده خواهد شد.

۱۰- به شبکه جهانی GPS متصل خواهد گردید.

۱۱- سیستم مختصات مورد استفاده ITRF می‌باشد.

۱۲- از گیرنده‌های دو فرکانسه استفاده خواهد شد.
در نگاره ۴ طرح شکه صفر نشان داده خواهد شد.

۴- مشاهدات شبکه صفر

شبکه صفر از ۹ مثلث اصلی و ۶ مثلث فرعی تشکیل گردیده است. انتخاب زمان مشاهدات در این شبکه و طول زمان مشاهده با توجه به پارامترهای ذیل بدست آمده است:

- دقت مورد درخواست،

- نوع گیرنده،

- هندسه ماهواره‌ها،

- شرایط یونسferیک و تروپسferیک،

- موقعیت جغرافیایی،

- طول مورد اندازه‌گیری،

- نوع نرم‌افزار مورد استفاده،

$\text{GDOP} \leq 6$

- S.A.

- تعداد ماهواره‌ها،

- مسئله ابهام فاز و چندمسیری شدن.

مرحله بعد از طراحی و انتخاب نقاط که با توجه به پارامترهای زمان، هزینه، تعداد گیرنده و نوع آن و دیگر شرایط ذکر شده در بند ۲ گفته شد، تعیین مختصات دقیق این نقاط بود که با استفاده از مشاهدات

گیرنده‌های GPS برای هر ایستگاه در قالب فرمت RINEX ذخیره می‌شود و قابل دسترسی در مراکز داده‌ها می‌باشد. مختصات دقیق ماهواره‌ها نیز در مراکز جهانی^۱ از جمله IGN^۲ فرانسه و GFZ^۳ آلمان نیز قابل دسترسی می‌باشد. دفتر مرکزی IGS در ایالت کالیفرنیای آمریکا (JPL) واقع است. سیستم اطلاعاتی دفتر مرکزی (CBIS) IGS از طریق آدرس‌های ذیل قابل دسترسی است:

Internet (anonymous. ftp. igscb. nasa.gov.directory/igscb)

World Wide Web (<http://ligscb.jpl.nasa.gov/using> e.g. MOSAIC ORLYNX)

Email using an ftp server

1- Global Center

2- Institut Geographique National Frankfurt, Germany

3- Geoforschungs Zentrum Institute

داده‌ها برای تعیین مختصات دقیق ماهواره‌ها، پارامترهای دوران زمین، تعیین مختصات و سرعت ایستگاههای GPS در سیستم ITRF، اطلاعات مربوط به ساعت ماهواره‌ها و فعالیت‌های یونسferیک و مانیتور کردن سیستم ITRF استفاده می‌شود.

IGS در حال حاضر ۵۰ ایستگاه مجهز به گیرنده‌های دوفرکانس در سطح کره زمین ایجاد کرده که بطور دائم مشغول رדיابی ماهواره‌ها و جمع‌آوری داده‌ها به میزان ۳۰ ثانیه می‌باشند. ۳ مرکز جهانی داده‌ها، ۵ مرکز ناحیه‌ای، ۷ مرکز تجزیه و تحلیل داده‌ها، یک دفتر مرکزی و یک مرکز اصلی (مادر) آنالیز داده‌ها از جمله تشکیلات این سیستم می‌باشد. در نگاره ۵ نقشه جهانی شبکه IGS آمده است.

بیش از ۵۰ موسسه و سازمان نیز با IGS همکاری و فعالیت دارند که از جمله آنها می‌توان EMR، IERS، CODE، JERS، NASA، JPL، SIO، IFAG، NGS نام برد. داده‌های جمع‌آوری شده توسط

انجام مشاهدات اضافی یا به عبارتی استقرار مجدد در محل‌هایی که مثلثهای شبکه صفر به هم اتصال می‌یابند، به دلایل زیر بوده است:

۱- قابلیت اعتماد به مختصات بدست آمده برای نقاط optimum Reliability

۲- کنترل خطاهای مربوط به استقرار، ارتفاع آتن، سانتریز کردن و کاهش اثرات آنها (blunders)

۳- کشف خطاهای سیستماتیک

۴- رسیدن به دقت موردنظر،

۵- افزایش استحکام شبکه،

۶- سهولت سرشکنی شبکه صفر،

۷- مانیتور کردن سازگاری داخل شبکه (اتصال بین مثلثها به بهترین نحو انجام شود).

توضیح اینکه در هز ایستگاه، ترازوکردن، و سانتریز و تعیین ارتفاع آتن با دقت انجام شده و در ابتدا، وسط و انتهای اندازه گیری کنترل شده است و آتنها رو به شمال توجیه بوده‌اند در ضمن، همه اطلاعات مربوط به ایستگاه و شرایط جوی در فرم مخصوص SITELOG آمده است.

۳- اتصال شبکه صفر به شبکه جهانی IGS

مقدمه‌ای بر شبکه جهانی IGS

IGS یا سرویس بین‌المللی GPS برای اهداف ژئودینامیک موسسه‌ای علمی است که توسط IAG تاسیس گردیده و بطور رسمی از اول ژانویه سال ۱۹۹۴ فعالیت خود را آغاز کرده است. وظایف این سرویس عبارت است از جمع‌آوری، آرشیو و توزیع داده‌های مشاهداتی GPS که از این



نگاره ۵- نقشه شبکه جهانی IGS

IGSCB.DIR	complete file list
NEWS.TXT	new features/changes
README.TXT	CBIS general info
TREE.TXT	directory structure info
center	center.info
README.CEN	Analysis Center descriptions
analysis	'center'.acn
data	'center'.dcn
oper	'center'.ocn
data	format
rinex2.txt	RINEX format specifications
sp3.txt	SP3 orbit format specifications
holding	'center'.syn
'center'.syn	Data center holdings
'center'.s.yyy	Data center holdings by year
glob'yyy'.syn	Data availability by month
glob'yyyy'.syn	Data availability by year
network	igs.net
general	gps
constell.gps	NANU GPS constellation status
euref.txt	EUREF Information System Info
nanu'yyy'.mes	NANU messages by year
nanu'yyyy'.sub	NANU subject index by year
sources.txt	catalog of GPS-related info sources
status.zim	ZIMM current tracking status
igs	HERE'yyy'.BLANK
here'yyy'	colleague form (blank)
resource'mm'.ps	colleague accessibility by month
terms.igs	IGS Resource Information (PostScript)
org	meetings.agu
meetings.igs	AGU symposia/meetings
mail	address
cdsis.adr (.z)	CDDIS SGP address catalog
directory.txt	IGS Colleague Directory text
dose.adr	DOSE Mail distribution list
igemail.adr	IGS Mail distribution list
igreport.adr	IGS Report distribution list
sign.adr	SCIGN Mail distribution list
igemail	IGNESS. INDEX
igmesses.'num'	IGS Mail message index
igreport	IGSREPORT. INDEX
igreport.'num'	IGS Report index
regional	pose
scion	DOSE Mail archive
product	'www'
igs'www'7.erp	IGS earth rotation parameters
igs'www'[0-6].sp3	IGS combined daily orbits
igs'www'7.sum	IGS weekly product summary
holding	'center'.pid
ierrs	analysis center product holdings
bulletinb.'un'	IERS earth orientation
eop90c04.'yy'	IERS earth rotation parameters
software	cbis
dos, unix, vms	CBIS browsing/ftp program
compress	compression/decompression programs
qc	quality check program for GPS data
station	coord
ligmap'yyy'.ps	map of IGS tracking stations (PostScript)
ltrf'yy'.asc	ITRF92 station coordinates
general	BLANKFORM.LOG
antenna.gra	station log form (blank)
rcvr_ant.tab	antenna diagrams
log	'site'.'yyy'.log
oldlog	'site'.'yyy'.log
tie	Jocaltie.chg
	localtie.tab

January 1995

در نگاره ۴ طرح شبکه صفر نشان داده شده است.

سیستم اطلاعاتی دفتر مرکزی (CBIS) شامل اطلاعات ذیل می‌باشد:

- نحوه دستیابی به داده‌های جمع آوری شده بصورت RINEX برای هر GPS، ایستگاه،

- نحوه دستیابی به مختصات دقیق ماهواره‌ها،

- مختصات ایستگاه،

- و ضعیت آرایش آسمانی ماهواره‌های GPS،

- پارامترهای دوران زمین IGS، Xp,Yp,UT1,UTC

- گزارش‌ها و نامه‌های رسیده به IGS و همچنین گزارش‌های تهیه شده توسط IGS

- نرم افزارهای مورد استفاده (Bernese-Gipsy-Gamit) (Msodp1/LLISS-Epos.p)

- فرمت فایل داده‌ها.

نقشه جهانی ایستگاه‌ها نتایج ذیل استخراج گردید:

۴ ایستگاه در اطراف ایران وجود دارد:
 یکم، KITAB در ازبکستان، دوم، MATERA در ایتالیا: نزدیکترین نقطه فعال اروپا، سوم، RIYADEH در عربستان سعودی و چهارم، ANKARA در ترکیه.

از ۴ ایستگاه فوق دو ایستگاه اول و دوم فعال‌اند و ایستگاه‌های سوم و چهارم در مرحله طراحی قرار دارند و هنوز فعال نشده‌اند.

طی تماسی با دفتر مرکزی IGS فایل مشاهدات دو ایستگاه KITAB و

جدول ۱- سیستم

اطلاعاتی فرق را نشان می‌دهد.

دقت پارامترهایی که توسط IGS تهیه می‌شوند به حدی بالاست که کلیه فعالیتهای رئوپلینامیک را نیز پوشش می‌دهد:

- مختصات ماهواره‌ها GPS - ساعت

- دوران زمین(قطب)

- دوران زمین (UTI-UTC) در یک روز

- مختصات ایستگاه‌های GPS در سیستم ITRF بادقت ۳ میلی‌متر تا ۳ سانتی متر

به منظور رسیدن به حداقل خطای محاسباتی و همچنین به منظور بالابردن ضریب اطمینان و قابلیت اعتماد به شبکه صفر تصمیم گرفته شد که شبکه فوق به شبکه جهانی GPS ایجاد شده توسط IGS اتصال داده شود. بدین منظور طی تماسهای مکرر با دفتر مرکزی IGS در آمریکا نحوه چگونگی دریافت اطلاعات موردنظر از قبیل پراکندگی ایستگاه‌ها، مختصات آنها، مختصات دقیق ماهواره‌ها و دیگر اطلاعات موردنیاز از آنها سوال شد. پس از دریافت کامل اطلاعات موردنیاز که توضیح داده شد و با توجه به

C^{++} نوشته شده است و در محیط Windows اجرا می شود، توانایی پردازش داده ها را در مُدّهای مختلف از جمله استاتیک، کینماتیک، ایسترو، استقرار مجدد و استاتیک سریع را دارد.

۴- مراحل پردازش شبکه صفر

با وجود ایستگاه های ثابت (نقاط MATERA، KITAB ITRF92 مختصات معلوم دارند، و با وجود استفاده از مختصات دقیق ماهواره ها در تمام مراحل پردازش^۱، پارامتر های مورد استفاده جهت پردازش عبارت بودند از :

- زاویه ارتفاعی : ۱۵ درجه ،
- مدل تروپسфер : Saastamoinen
- داده ها : ترکیب فاز + کد ،
- فرکانس : L1+L2
- مدل یونسфер: استاندارد + روش L3
- نرخ ثبت داده ها : ثانیه ۳۰
- انحراف معیار اولیه threshold : ۰.۱ میلی متر.

۴- الگوریتم پردازش

کمترین مربعات ترتیبی به صورت روش تفاضلی دوگانه فاز حامل و کد به فرم:

(Least Square Sequential Adjustment Plus Ionospheric Free Linear Combination in the form of Double Difference Carrier Phase and Code Measurement).

1- Precise ephemerids

MATERA مربوط به روزهایی که مشاهدات شبکه صفر انجام شده بود درخواست گردید. دفتر مرکزی نیز از طریق یکی از مراکز ناحیه ای ایفاگ آلمان مشاهدات مورد نظر را بر روی CD-ROM ذخیره و برای ما ارسال داشت.

چون دریافت این مشاهدات از طریق Email با توجه به حجم زیاد آنها مستلزم صرف وقت زیادی بود، این مشاهدات ثبت شده به صورت فرمت RINEX توسط CD-ROM برای ما ارسال شد.

برای دریافت مختصات دقیق ماهواره ها (Precise ephemerids) نیز بر اساس تماسهای مکرر قبلی، نحوه دستیابی به آنها از طریق Email امکان پذیر بود. به مدت ۳۶ روز کاری مختصات دقیق ماهواره ها تحت فرمت SP3 از کامپیوتر های مرکزی در IGN فرانسه و GFZ آلمان استخراج گردید.

لازم به توضیح است که مختصات دقیق ماهواره ها از متوسط وزن دار ۷ مرکز IGS که هر کدام بطور جداگانه مختصات دقیق را محاسبه می کند بدست آمد است.

مختصات نقاط KITAB و MATERA را نیز از IGS (Analysis Coordinator) که در برن (سویس) و به نام CODE معروف است دریافت کردیم. به عبارت دیگر مختصات نقاط مبنا شبکه صفر در سیستم ITRF و همچنین مختصات دقیق ماهواره ها را همراه با مشاهدات ایستگاه های مبنای بصورت RINEX برای اتصال شبکه صفر به شبکه جهانی دریافت کردیم.

نتایج حاصله از محصولات IGS را می توان بصورت ذیل خلاصه کرد:

- ۱- کاربردهای خیلی دقیق ژئودزی و ژئودینامیک،
- ۲- داشتن یک سیستم مختصات پایدار و ثابت.
- ۳- از بین بردن تفاوت های ناشی از محاسبه مختصات دقیق ماهواره ها توسط مراکز مختلف.

۴- پردازش شبکه صفر

در این قسمت از مقاله، نحوه پردازش داده های جمع آوری شده، مدل های ریاضی، نحوه برخورد با خطاهای، استراتژی ابهام فاز، نحوه تعیین و تصحیح قطع فاز، سرشکنی شبکه صفر و همچنین آنالیز کیفیت و کنترل آن مورد بحث واقع می شود.

پس از اتمام مشاهدات شبکه صفر، تمام مشاهدات ثبت شده بر روی دیسکت به کامپیوتر انتقال داده شد تا توسط نرم افزار مربوطه به نام SKI مورد پردازش قرار گیرند.

SKI نرم افزار مخصوص گیرنده های SYS200 می باشد که برای پردازش بعدی داده های جمع آوری شده توسط گیرنده مورد استفاده قرار می گیرد. این نرم افزار، که به زبان

Constraint به منظور به دست آوردن مختصات سرشکن شده همراه با تعیین مقیاس بین نقاط ثابت و مشاهدات GPS. در جدولهای ۲ و ۳ نتایج سرشکنی آورده است.

کنترل سازگاری داخلی شبکه و زدودن خطاهای سیستماتیک باقی مانده، تعیین ضریب مقیاس برای ساتریس واریانس کوواریانس^۷ و Weighted به کاربردن روش^۸

		ZERONET			UNITS: m, DMS			Page 002	
2-D and 1-D Relative Station Confidence Regions (95.000 percent):					VERTICAL	DISTANCE	PPM		
FROM	TO	MAJ-SEMI	MED-SEMI	MIN-SEMI					
CHABAHAR	HAJIABAD	0.034 107	0.013	0.028	576954.31	0.06			
CHABAHAR	ZABOL	0.029 105	0.010	0.026	641774.52	0.04			
GERAVEH	ILAM	0.036 102	0.016	0.029	595670.34	0.06			
GERAVEH	YAZD	0.033 94	0.013	0.027	447668.30	0.07			
HAJIABAD	KITAB	0.050 J11	0.036	0.039	1567675.7	0.03			
HAJIABAD	MATERA	0.070 119	0.036	0.047	3757570.7	0.02			
HAJIABAD	YAZD	0.027 106	0.012	0.021	418869.17	0.06			
HAJIABAD	ZAROL	0.027 95	0.012	0.021	619462.89	0.04			
ILAM	JOLFA	0.037 108	0.021	0.031	591519.49	0.06			
ILAM	MATERA	0.059 106	0.032	0.042	2717220.1	0.02			
ILAM	TEHRAN	0.020 90	0.010	0.015	503795.88	0.04			
JOLFA	YAZD	0.026 104	0.009	0.018	769592.80	0.03			
KASHMAR	TEHRAN	0.039 108	0.017	0.031	619950.22	0.03			
KASHMAR	SHER-BOZ	0.021 99	0.010	0.015	298072.48	0.07			
KASHMAR	TEHRAN	0.023 99	0.007	0.014	447668.30	0.07			
KASHMAR	YAZD	0.019 86	0.011	0.015	516124.24	0.04			
KASHMAR	ZABOL	0.026 117	0.013	0.023	545404.14	0.05			
KITAB	TEHRAN	0.050 100	0.023	0.034	1423088.6	0.03			
KITAB	YAZD	0.047 106	0.029	0.035	1389236.3	0.03			
MATERA	TEHRAN	0.061 107	0.029	0.042	3034388.7	0.02			
SHER-BOZ	TEHRAN	0.064 115	0.031	0.044	3450443.0	0.02			
SHER-BOZ	YAZD	0.025 88	0.009	0.016	580170.74	0.04			
TEHRAN	YAZD	0.024 83	0.010	0.018	708370.80	0.03			
YAZD	ZABOL	0.018 121	0.010	0.014	510602.16	0.04			
YAZD	ZABOL	0.027 106	0.009	0.021	682727.75	0.04			

جدول ۳- نمونه‌ای از نتایج سرشکنی شبکه صفر

		ZERONET			UNITS: m, DMS			Page 002	
3D Relative Confidence Regions (95.000 percent):					MIN-SEMI	MED-SEMI	MAJ-SEMI		
FROM	TO	(AZ, VANG)	(AZ, VANG)	(AZ, VANG)	(AZ, VANG)	(AZ, VANG)	(AZ, VANG)		
CHABAHAR	HAJIABAD	0.049	0.026	0.014	576954.309	0.09 A			
CHABAHAR	ZABOL	0.044	0.024	0.019	641774.520	0.07 A			
GERAVEH	ILAM	0.044	0.024	0.019	503795.88	0.04			
HAJIABAD	KITAB	0.072	0.042	0.034	1567675.714	0.05 A			
HAJIABAD	MATERA	0.088	0.055	0.040	3757570.705	0.02 A			
HAJIABAD	YAZD	0.039	0.018	0.014	418869.174	0.09 A			
HAJIABAD	ZABOL	0.038	0.022	0.011	619462.895	0.06 A			
ILAM	JOLFA	0.047	0.029	0.022	591519.491	0.09 A			
ILAM	MATERA	0.077	0.047	0.036	2717220.082	0.03 A			
ILAM	TEHRAN	0.028	0.017	0.009	503795.884	0.05 A			
ILAM	YAZD	0.030	0.020	0.011	679592.798	0.04 A			
JOLFA	TEHRAN	0.055	0.030	0.020	619950.222	0.09 A			
KASHMAR	SHER-BOZ	0.026	0.016	0.011	298072.479	0.09 A			
KASHMAR	TEHRAN	0.077	0.047	0.036	649736.596	0.04 A			
KASHMAR	YAZD	0.027	0.017	0.011	536124.240	0.05 A			
KASHMAR	ZABOL	0.039	0.019	0.015	545404.140	0.07 A			
KITAB	TEHRAN	0.040	0.038	0.023	1423088.449	0.05 A			
KITAB	YAZD	0.066	0.036	0.026	1389236.334	0.05 A			
MATERA	TEHRAN	0.078	0.049	0.033	3034388.733	0.03 A			
MATERA	YAZD	0.081	0.051	0.027	3450442.996	0.02 A			
SHER-BOZ	TEHRAN	0.031	0.019	0.010	580170.740	0.05 A			
SHER-BOZ	YAZD	0.040	0.023	0.016	708370.803	0.05 A			
TEHRAN	YAZD	0.025	0.014	0.012	510602.162	0.05 A			
YAZD	ZABOL	0.038	0.021	0.009	682727.749	0.06 A			

Highest FGCC Order = A
Highest Canadian Order = 1

Lowest FGCC Order = B
Lowest Canadian Order = 1

11:48:37, Thu Jan 11, 1996

2- Iterative Procedure

3- Phase Screen (Detection of Outlier and Correction of Cycleslip)

4- Triple differences

6- Cross error and blunder detection

5- Mathematical Correlation

7- Scale Covariance Matrix

سرشکنی شبکه صفر با استفاده از نرم‌افزار Geolab انجام شده که مراحل آن به

شرح ذیل می‌باشد:

- روش minimally constraint به منظور کنترل کیفیت مشاهدات و همچنین

3- استراتژی ابعاد فاز

مراحل حل ابعاد فاز در شبکه صفر (Ion free linear combination) L3

- استفاده از مختصات دقیق ماهواره‌ها

4- تعیین و تصحیح قطع فاز

برای تعیین و تصحیح قطع فاز از روش

تفاضلی سه گانه استفاده شده است.

5- وابستگی ریاضی و فیزیکی

کلیه وابستگی‌های ریاضی به صورت صحیح مدله شدند و وابسته‌های فیزیکی نیز در نظر گرفته نشد.

5- خروجی شبکه صفر

در قالب خروجی، همه اختلاف مختصات‌های محاسبه شده شبکه همراه با ماتریس واریانس کوواریانس مربوط که به صورت ASCII ذخیره گردیده.

6- سرشکنی شبکه صفر

سرشکنی شبکه صفر با استفاده از

نرم‌افزار Geolab انجام شده که مراحل آن به

این نقاط جهت اهداف ژئودینامیک منطقه ایران استفاده به عمل آید.

پ - امروزه تعیین موقعیت آنی با GPS با دقت بالا به صورت عادی درآمده است که از این نقاط می‌توان به عنوان نقاط مبنا استفاده نمود، حتی نقاط شبکه صفر را می‌توان برای طراحی شبکه DGPS یا^۳ WADGPS^۴ بکار برد شوند.

ت - از دیگر موارد کاربرد این نقاط استفاده از آنها به صورت ایستگاههای دائم GPS را می‌توان ذکر کرد که طی آن داده‌ها را به صورت

گرفته است. در تمام مراحل پردازش از مختصات دقیق ماهواره‌ها استفاده شده و نقاط ثابت برای پردازش، دو نقطه از شبکه جهانی IGS با نامهای KITAB در ازبکستان و MATERA در ایتالیا بوده است. کلیه همبستگی‌های ریاضی به صورت صحیح مدل شدند. سرشکنی با استفاده از نرم‌افزار Geolab در دو مرحله انجام گرفته است.

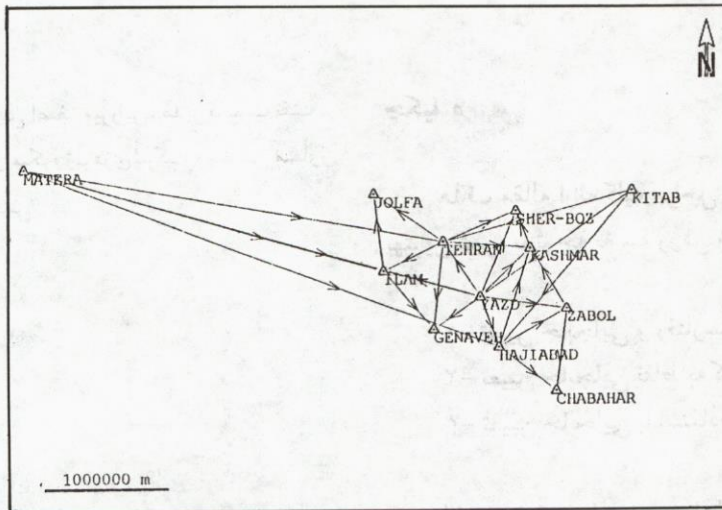
در نگاره ۶ شبکه صفر و اتصال آن به شبکه جهانی آمده است.

۷- معیارهای استحکام ضعف و قوت شبکه صفر

الف - قابلیت اطمینان داخلی به منظور تعیین حداقل خطای قابل تشخیص در شبکه و

ب - قابلیت اطمینان خارجی^۵ به منظور اثر خطاهای کشف نشده بر روی مختصات سرشکن شده.

۸- خروجی نهایی شبکه صفر



نگاره ۶- شبکه صفر و اتصال آن به شبکه جهانی

۲۴ ساعته جمع‌آوری کنند یا به صورت آنی تصحیحات را ارسال دارند.

ث - استفاده از نقاط شبکه صفر در ناویری در دریابی و هوایی.

1- Internal Reliability

2- External Reliability

3- Differential GPS

4- Wide Area Differential GPS

۹- توصیه‌ها

الف - با توجه به اینکه تا این زمان دو ایستگاه فعال و نزدیک به ایران وجود داشتند که اتصال شبکه صفر به آنها انجام شده است و ایستگاههای دیگری از جمله RIYDEH در عربستان و ANKARA در ترکیه طراحی شده‌اند اما هنوز فعال نگردیده‌اند توصیه می‌گردد که پس از فعال شدن این دو شبکه صفر به دو ایستگاه فوق نیز اتصال داده شود.

ب - با عنایت به دقت بالای شبکه صفر به صورت‌های مطلق و نسبی توصیه می‌شود که از

مختصات نقاط سرشکن شده همراه با انحراف معیار آنها و بیضی خطاهای مطلق و نسبی برای کل شبکه که از روی ماتریس (Full Covariance Matrix) بدست آمده برای

با توجه به اینکه دقت‌های بدست آمده برای مختصات نقاط شبکه صفر ۱ تا ۳ (سانتی متر) می‌باشد اما با نباشد دلایل ذیل دقت شبکه صفر را به صورت مطلق ۱۰ تا ۱۵ (سانتی متر) و به صورت نسبی ۰/۰۱ تا ۰/۰۱ (ppm) درنظر گرفته شد:

یک - دقت‌های بدست آمده از نرم‌افزارهای مورد استفاده همراه با خوش بینی می‌باشد و دو - وزن مختصات نقاط ثابت و مختصات دقیق ماهواره‌ها نیز خوش بینانه برخورد می‌شود.

۹- نتایج شبکه صفر

عملیات مربوط به شبکه صفر با استفاده از گیرنده‌های دو فرکانسه SYS200 به مدت ۴/۵ ساعت، با نرخ ۳۰ ثانیه و زاویه ارتفاعی ۱۵ درجه در هر جلسه مشاهداتی و با پریود ۳ روز انجام شده است. پردازش داده‌های جمع‌آوری شده با استفاده از نرم‌افزار SKI به صورت L3 صورت

تحلیلی بر رفتار و حرکات سد سپیدرود

پس از زلزله ۳۱ خرداد ۶۹

چکیده

از: مهندس اصغر میرزاپی، مدیر قسمت نقشه-
برداری و میکروژئودزی شرکت مهندسی مشاور
مهاب قدس

هدف مقاله ارائه کلیه مراحل میکروژئودزی انجام شده روی سد سپیدرود و انتخاب

بهترین شیوه با توجه به سه روش زیر می‌باشد:

- ۱- تعیین جابجایی و رفتارستنجی به کمک اشعه لیزر در خلا؟
- ۲- تعیین جابجایی نقاط به کمک سیستم ماهواره‌ای GPS؛
- ۳- تعیین جابجایی با استفاده از میکروژئودزی؛

الف - توضیح اجزا سیستم لیزر در خلا که شامل چهار جزیر است:

- فرستنده لیزر؛

- لوله خلا؛

- ایستگاههای نقشه برداری و

- گیرنده لیزر.

ب - تعیین موقعیت نقاط به کمک GPS و توجه به چهار عامل:

- کاهش زمان؛

- هزینه مناسب؛

- دقت موردنیوں؛

- نقطه ضعف این سیستم (برای نقاطی که در معرض دید و ارتباط ماهواره نیستند).

ج - سیستم تعیین جابجایی به روش میکروژئودزی، شامل مراحل زیر:

- شناسایی و مطالعه وایجاد شبکه‌های خارج سد و روی آن؛

- نصب ایستگاههای پیلارهای مشاهداتی،

- انتخاب مناسب‌ترین ابزارها و دستگاههای اندازه‌گیری؛

- انجام مشاهدات و اندازه‌گیری‌های لازم با توجه به قوانین و استانداردهای موجود؛

۱- روش لیزر در خلاء

- تجزیه و تحلیل مشاهدات و اندازه‌گیری‌ها؛

- تهیه گزارش نهایی و تعیین اعلام میزان جابجایی و

- تهیه نقشه‌های جابجایی.

حدود ۱۶ سال پیش یعنی حدود سال ۱۳۵۸ کارشناسان چینی این سیستم را ابداع نمودند و روی سه سد تایپین شیائو به طول ۵۵۷ متر (در سال ۱۳۶۰) و سد فنگ شو به طول ۴۰۰ متر (در سال ۱۳۶۱) و سد فنگ من به طول ۱۰۰۰ متر (در سال ۱۳۶۲) آزمایش نمودند و اخیراً هم آن را برای همه سدهای مستقیم پایه‌دار توضیح و اجرا نموده‌اند.

پیشگفتار

در اثر وقوع زلزله ۱۳۶۹ خردادماه بیش از ۴۰ ترک و شکاف روی بدنه سد سپیدرود ایجاد گردید. سد سپیدرود با ارتفاع ۸۵ متر و طول تاج ۴۲۵ متر، از نوع بتون مستقیم پایه دار با ۲۷ پایه می‌باشد.

به منظور شناخت وضعیت موجود و تعیین میزان حرکات و جابجایی احتمالی و حصول اطمینان از پایداری سدمذکور، عملیات میکروژئودزی سد سپیدرود آغاز گردید.

هدف این مقاله ارائه کلیه مراحل میکروژئودزی روی سد سپیدرود است. اعم از:

اجزاء تشکیل دهنده سیستم

این سیستم از چهار قسمت مهم و اساسی تشکیل شده است:

الف - فرستنده لیزر،

ب - لوله خلا،

ج - ایستگاههای نقشه‌برداری و

د - گیرنده لیزر.

هزینه ایجاد سیستم مبلغ ۲۶۰ ۰۰۰ دلار پیش‌بینی گردید. (نقشه شماره یک).

خواص سیستم

- این سیستم قادر به اندازه‌گیری جابجایی افقی و عمودی با دقت ۱/۰٪ تا ۲/۰٪ (میلیمتر) است.

- با این سیستم می‌توان اندازه‌گیری را تحت هر شرایط آب و هوایی انجام داد.

- زمان اندازه‌گیری هر نقطه در این سیستم ۳۰ ثانیه است که برای سد سپیدرود ۴ دقیقه طول می‌کشد.

- این سیستم قادر به اندازه‌گیری در

انتخاب روش تعیین جابجایی

در بدو امر سه روش می‌توانست مورد مطالعه قرار گیرد:

۱- ایجاد سیستم لیزر در خلاء،

۲- ایجاد و راهاندازی سیستم ماهواره‌ای GPS.

۳- ایجاد شبکه‌های مسطحه‌ای و ارتفاعی و خطوط کلیماسیون.

دست آن به سرعت تهیه گردید. با تلفیق نتایج حاصل از شناسایی و نقشه‌های تهیه شده و با پری آنالیز شبکه طراحی شده (جدول‌های ۲ و ۳ نقشه شماره ۲۱) نقطه طراحی گردید. عنقه تشكیل دهنده شبکه اصلی خارج سد و ع نقطه دیگر مربوط به نقاط دوطرف خط کلیماسیون در قسمتهای فوقانی، میانی و تحتانی سد بود، که جانمایی گردید.

شبکه خارج سد

نقاط S3, S2, S1 دارای موقعیت‌های نسبتاً مطمئن از نظر زمین‌شناسی بودند، به یکدیگر دید داشتند و از همه مهمتر از

۱- در سال ۱۹۰۹ سازمان نقشه‌برداری مجهز به گیرنده‌های WM 101 بود که ظاهراً نویسنده مقاله بی‌اطلاع بوده‌اند.

(طبق جدول شماره ۱) از یک طرف و نبودن آین سیستم در ایران با این دقت در آن زمان از طرف دیگر و عدم توان تلفیق مشاهدات GPS و زمینی در آن زمان (که در حال حاضر به راحتی امکان‌پذیر است) و حتی نبودن استگاهها و پیلارهای مناسب امکان استفاده از این روش هم میسر نبود. در حال حاضر با در اختیار داشتن گیرنده و در کمترین زمان و هزینه ممکن و بدون نیاز به ساختن پیلارها و جاده دستیابی، می‌توان جابجایی را تعیین نمود.

۳- ایجاد شبکه‌های مسطح‌های ارتباطی و خطوط کلیماسیون

اولین اقدامی که در این مورد صورت گرفت، جمع‌آوری کلیه مدارک و نقشه‌های قبلی بوده و به علت نبود نقشه مناسب از منطقه سد، بخصوص پایین دست، نقشه‌های ۱:۲۰۰۰ محل سد و منطقه پایین

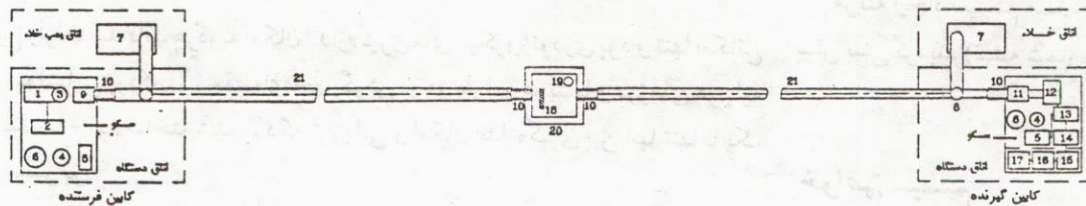
درازمدت با هزینه کم و نیروی انسانی کمتر (یک نفر) خواهد بود.
- چاپ، تجزیه و تحلیل، ذخیره سازی اطلاعات و انتقال آن به سیستم GIS از دیگر توانایی‌های این سیستم است.

در این سیستم کلیه سدها اطلاعات لازم را از طریق یک شبکه ارتباطی کامپیوتری سراسری به مرکز منتقل می‌کنند. این سیستم، قابل کنترل و اداره از راه دور و برای دریافت اطلاعات سهل‌الوصول است. با عنایت به نبودن فرست زمانی از یک طرف و عدم امکان تلفیق این اندازه‌گیری‌ها با سایر اطلاعات و نیازهای لازم از طرف دیگر موفق به استفاده از این روش نشدیم.

۲- ایجاد و راه‌اندازی سیستم ماهواره‌ای GPS

با توجه به امکانات و تعداد ماهواره‌های قابل استفاده در سال ۱۹۹۰

نقشه شماره ۱- سیستم تعیین جابجایی به کمک اشعه لیزر



۱۶- کامپیوتر IBM

۱۷- پرینتر

۱۸- صفحه مدور (تارگت)

۱۹- تکیه گاه کنترل شده از راه دور

۲۰- جعبه نقاط نقشه‌برداری و پیلار

۲۱- لوله خلا (لوله فولادی بدون درز بزرگتر از ۱۵۹.۶)

۸- شیر الکترومغناطیسی خلا

۹- بخش کریستالی فرستنده

۱۰- لوله پیچ دارنرم (لوله خرطومی)

۱۱- بخش کریستالی فرستنده

۱۲- مختصات سنج لیزری

۱۳- موج یاب متحرک

۱۴- جمع کننده اطلاعات

۱۵- دستگاه پردازش مقدماتی

۱- فرستنده لیزر

۲- منبع انرژی اشعه لیزر

۳- پخش کننده نور (موقعیت یاب)

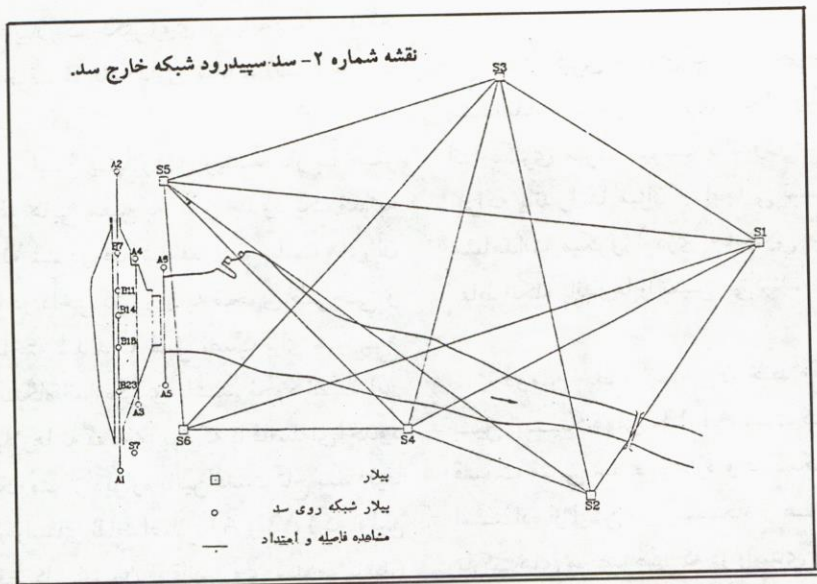
۴- پاندول معکوس و تارگت دوبل

۵- دستگاه اندازه‌گیری از راه دور برای

پاندول معکوس و بنچ مارک دوبل

۶- شاقول نوری

۷- پمپ خلا



LAUNCH Sequence	SVN	PRN Code	Launch Date	Orbit Plane Position	Status
BLOCK I SATELLITES					
I-1	01	04	02/78		unusable 7/85
I-2	02	07	05/78		unusable 7/81
I-3	03	06	10/78		unusable 5/92
I-4	04	08	12/78		unusable 10/89
I-5	05	05	02/80		unusable 11/83
I-6	06	09	04/80		unusable 3/91
I-7	07				launch failure
I-8	08	11	07/83	C3	operable
I-9	09	13	06/84	C1	operable
I-10	10	12	09/84	A1	operable
I-11	11	03	10/85	C4	operable
BLOCK II SATELLITES					
II-1	14	14	02/89	E1	operable
II-2	13	02	06/89	B3	operable
II-3	16	16	08/89	E3	operable
II-4	19	19	10/89	A4	operable
II-5	17	17	12/89	D3	operable
II-6	18	18	01/90	F3	operable
II-7	20	20	03/90	B2	operable
II-8	21	21	08/90	E2	operable
II-9	15	15	10/90	D2	operable
BLOCK II A SATELLITES					
II-10	23	23	11/90	E4	operable
II-11	24	24	07/91	D1	operable
II-12	25	25	02/92	A2	operable
II-13	28	28	04/92	C2	operable
II-14	26	26	07/92	F2	operable
II-15	27	27	09/92	A3	operable
II-16	32	32	11/92	F1	operable
II-17	29	29	12/92	F4	operable
II-18					
II-19					
II-20					
II-21					
II-22					

جدول ۱ - وضعیت ماهواره‌های GPS (ژانویه ۱۹۹۳)

اعتماد پذیری بالایی برخوردار بودند و نقاط S6, S5 به رغم اینکه جایگاه مطمئن‌تری داشتند ولی به لحاظ نزدیکی به ساختگاه سد، به عنوان نقاط ثابت، قابل استفاده در محاسبات لحاظ نبودند و نیستند. نکته‌ای مهم درباره نقطه و ایستگاه S4 قابل ذکر است: که بالاجبار و به علت نبود دید به سایر نقاط شبکه و موقعیت خاص، مجبور به انتخاب آن در محلی نزدیک رودخانه و روی خاک شدیم. این نقطه از نظر تقویت شبکه نقطه‌ای بود بسیار خوب گرچه از نظر زمین‌شناسی نقاطی مناسب نبود. برای جبران این نقصه، در حفره‌ای به عمق تقریبی ۴ متر پلاتفرمی به ابعاد تقریبی 3×3 (متر) ایجاد کردیم و ایستگاه اصلی و در نهایت پیلار S4 روی آن بنادرگردید. در همینجا لازم به ذکر است که با توجه به امکانات سال ۶۹ و به لحاظ گستردگی ناگهانی منطقه از نظر توپوگرافی در قسمت بالادست، موفق به طراحی و ایجاد حداقل دونقطه در بالادست سد نشدیم.

شبکه روی سد

همانطورکه در پیشگفتار نیز ذکر شد چون قسمت تاج سد، فاقد هرگونه ایستگاه یا پیلار یا حتی خطوط کلیماسیون (که لازمه هر سد بتقاضه مستقیم پایه‌دار است) بود. لذا بر آن شدیم که شبکه‌ای روی سد نیز، شامل دو نوع پیلار (روی هر پایه یک پیلار) شناسایی، طراحی و ایجاد نماییم: یک نوع پیلار روی پایه‌های ۲۳، ۱۸، ۱۴، ۱۱، ۷ میلیمتری و معکوس نیز دارند و نه تنها به عنوان پیلارهای اصلی شبکه روی سد که در شبکه اصلی خارج نیز لحاظ می‌شوند و هم ارزش پیلارهای شبکه اصلی هستند. یک

بازسازی گردید، در شبکه میکروژئودزی جانمایی و محلوظ گردید. سومین خط کلیماسیون خط A5A6 می‌باشد که در قسمت تحتانی سد و جلوی نیروگاه قرار دارد و شامل ۶ نقطه به نام FT است.

(نقشه شماره ۴)

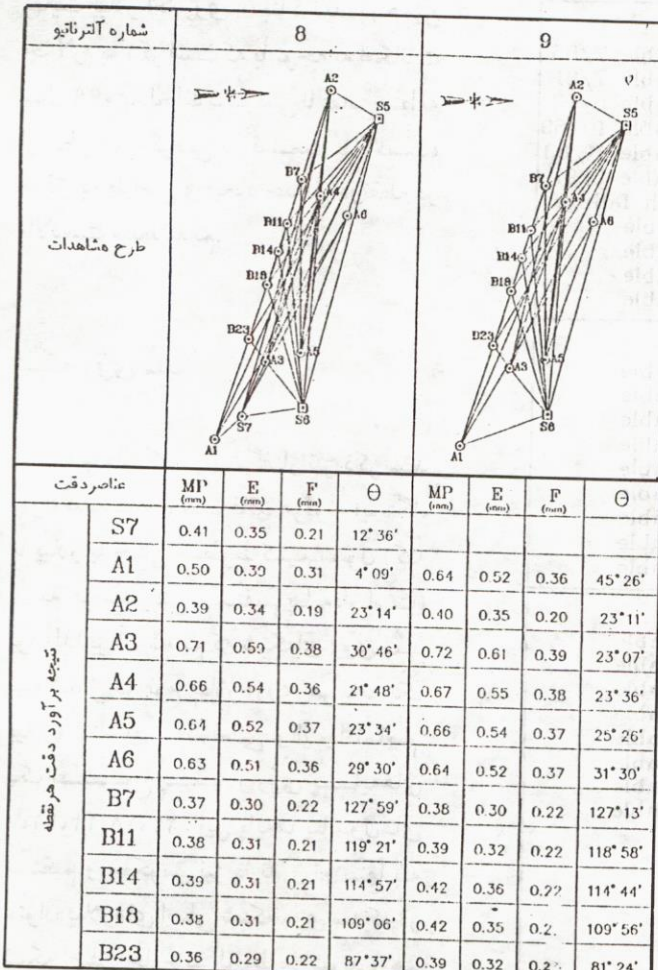
در یک جمله می‌توان گفت که در سدهای بتنی مستقیم پایه‌دار خطوط کلیماسیون بهترین امکان برای شناخت و درک سریع حرکات یا جابجایی هر کدام از پایه‌ها هستند که با توجه به افزایش یا کاهش ارتفاع آب مخزن می‌توان میزان این حرکات یا جابجایی را اندازه‌گیری و محاسبه نمود.

اندازه‌گیری موردی که باید همزمان با مشاهدات میکروژئودزی انجام پذیرد، اندازه‌گیری میزان حرکت پاندول هاست چراکه پاندول‌ها میزان جابجایی نسبی و مشاهدات میکروژئودزی جابجایی مطلق نقاط اتکاء پاندوها را تعیین می‌کنند.

دومین خط کلیماسیون خط واصل بین ایستگاههای A4, A3 است که در قسمت میانی سد قرار دارد و به کمک و با استفاده از این دو ایستگاه و همچنین تارگت‌های مخصوصی که در راستای این دو ایستگاه نصب و FB نامگذاری شده، و تارگت‌هایی که از قبل ایجاد شده بود و

نوع پیلار کوچکتر روی ۲۲ پایه دیگر سد که با حرف B نامگذاری شدند. (نقشه شماره ۳)

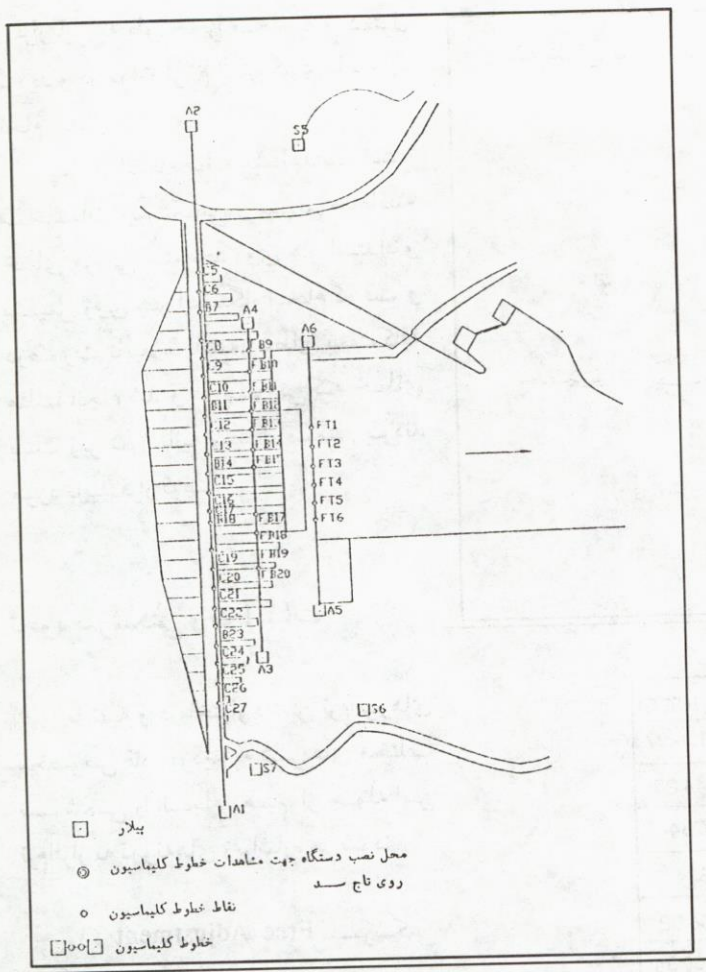
این پیلارهای ریشه دار با حفر حفره‌هایی معین به عمق حدود یک متر به بدنه سد دوخته شدند. بیس پلیت‌های آن ها در داخل کشور و به نحوی طراحی و ساخته شدن که قابل نصب برای هر نوع دستگاه اندازه‌گیری باشند. نحوه نصب این پیلارها به گونه‌ای بود که با فاصله‌ای حدود یک متر از دیواره پایین دست تاج سد دقیقاً در راستای نقاط اصلی A1 و A2 (که اولین خط کلیماسیون فوقانی روی سد می‌باشد) نشانه گذاری گردید و پیلارهایی با استانداردهای بین‌المللی طراحی و ساخته



شماره آنرتابلر	1				2				3				4				5				6				7				
	کلاسیک				نیمه استاندارک				کلاسیک				نیمه استاندارک				کلاسیک				نیمه استاندارک				کلاسیک				
	روش سردیکن	نقاط مبدأ با	نقاط مبدأ با	نقاط مبدأ با	x _{s1}	y _{s1}	نقاط مبدأ با	نقاط مبدأ با	نقاط مبدأ با	نقاط مبدأ با	نقاط مبدأ با	نقاط مبدأ با	نقاط مبدأ با	نقاط مبدأ با	نقاط مبدأ با	نقاط مبدأ با	نقاط مبدأ با	نقاط مبدأ با	نقاط مبدأ با	نقاط مبدأ با	نقاط مبدأ با	نقاط مبدأ با							
نقاط مبدأ با	III _a	0.7°	0.5°	0.7°	0.5°																								
	III _b	0.5mm	0.5mm	0.5mm	0.5mm																								
	III _c	1.5x10 ⁻⁶	1.5x10 ⁻⁶	0.5x10 ⁻⁶	0.5x10 ⁻⁶																								
نقاط مبدأ با	M _p																												
	E																												
	F																												
	θ																												
نقاط مبدأ با	M _p	0.53	0.48	0.53	0.53																								
	E	0.39	0.35	0.39	0.39																								
	F	0.36	0.32	0.36	0.36																								
	θ	177° 35'	2° 47'	145° 43'	177° 35'																								
نقاط مبدأ با	M _p	0.71	0.65	0.65	0.71																								
	E	0.71	0.65	0.47	0.71																								
	F	0	0	0	0																								
	θ	148° 03'	148° 03'	148° 03'	148° 03'																								
نقاط مبدأ با	M _p	1.17	1.04	0.74	0.70																								
	E	0.99	0.87	0.62	0.59																								
	F	0.63	0.56	0.41	0.39																								
	θ	171° 18'	160° 38'	168° 02'	82° 35'																								
نقاط مبدأ با	M _p	1.01	0.91	0.67	0.63																								
	E	0.85	0.75	0.56	0.53																								
	F	0.55	0.52	0.36	0.35																								
	θ	120° 53'	118° 43'	114° 15'	112° 01'																								
نقاط مبدأ با	M _p	1.65	1.46	1.06	0.99																								
	E	1.53	1.33	0.99	0.93																								
	F	0.63	0.59	0.36	0.35																								
	θ	142° 12'	141° 57'	141° 04'	140° 44'																								
نقاط مبدأ با	M _p	1.59	1.40	1.06	0.99																								
	E	1.42	1.24	0.97	0.90																								
	F	0.70	0.65	0.43	0.41																								
	θ	110° 41'	110° 21'	105° 20'	105° 42'																								

جدول ۳

جدول ۲ - نتیجه برآورد دقت شبکه خارج سد



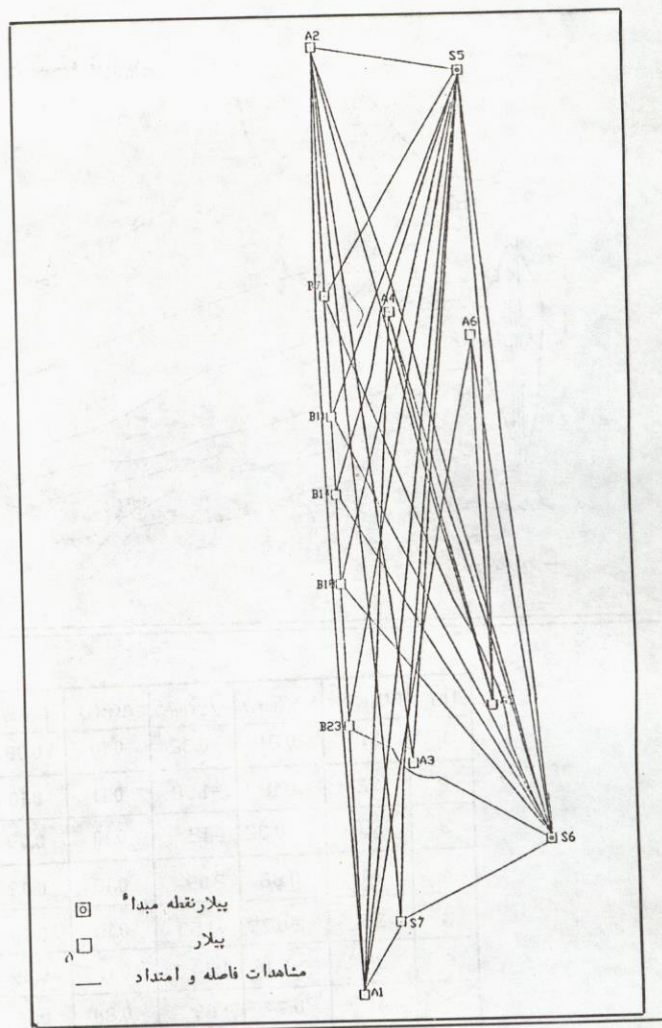
نقشه شماره ۴ - سد سپیدرود خطوط کلیماسیون

موجود یعنی ME5000 و برای ترازیابی از دستگاه N3 با میرهای انوار (مخصوص ترازیابی دقیق) استفاده گردید.

- زوایای افقی در ۱۲ کوپل و ۸ کوپل قرائت گردید.
 - طولها به صورت رفت و برگشت (دو طرفه) اندازه گیری شد.
 - ترازیابی به صورت رفت و برگشت بر اساس استانداردهای از قبل تعیین شده نجام شد.

محاسبات کارگاهی

مشاهدات و پالایش آنها، زوایا، طولها



نقشه شماره ۳ - سد سپیدرود شبکه روی سد

سد می باشد و برای محاسبه انحراف افقی
هر پایه از دو دسته ایستگاه ارتفاعی استفاده
شده: یک دسته همان نقاط قدیمی بود و
دیگری نقاطی بود که در کنار پیلارهای
اصلی در نظر گرفته شده و ساخته شده است
و به ترتیب L_5 و L_6 نام گرفته اند.

دستگاههای مورد استفاده

در این اندازه‌گیری برای مشاهدات زاویه از تئودولیت‌های T3 و T2002 و در اندازه‌گیری فواید از طول پاب دقتی،

ایجاد شبکه ارتفاعی خارج سد با توجه به استانداردهای موجود، در فاصله بیش از ۵ برابر ارتفاع سد (حدود ۷۰۰ متری پایین دست) سه نقطه مبنایی نزدیک به هم در لوب جداگانه که یکی از جلوی نیروگاه و دیگری از روی تاج سد عبور می‌کرد و شامل ۱۴ ایستگاه ارتفاعی دقیق و ۶ نقطه جلوی نیروگاه و ۲۴ نقطه در کنار پیلارهای مسطحاتی، شناسایی، طراحی و نصب گردیدند. (نقشه شماره ۵) نشان دهنده مسیرهای پایین دست روی تاج

و ترازیابی به طور مجزا محاسبه و کنترل گردید و در موارد لزوم اندازه گیری ها دوباره انجام شد.

پس از انجام کلیه مشاهدات، ابتدا محاسبات آیستگاهی و سپس محاسبه خطای مربوطی متوسط روی هر امتداد و سپس روی هر آیستگاه انجام گرفت و در صورت تایید محاسبه، خطای بست کلیه مثلثها انجام شد و در صورتی که خطای بست ۲/۵ ثانیه شصت قسمتی بودند مورد تایید قرار گرفت.

نحوه سرشکنی و محاسبات

با تهیه و در اختیار داشتن نرم افزارهای مخصوص قادر بودیم به شیوه های مختلف سرشکنی را انجام دهیم. از جمله این نرم افزار به نمونه های زیر اشاره می شود:

۱ Free Adjustment : آزاد

۲ Minimum Constrain : محدود

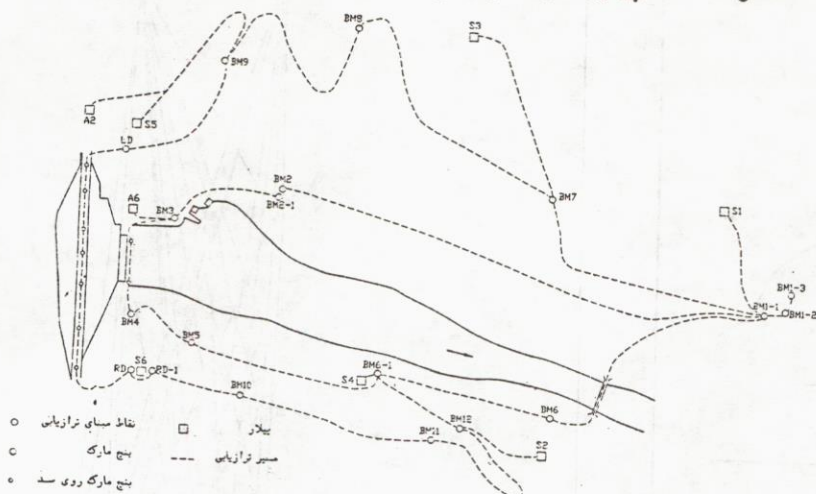
۳ Over Constrain : محدود

کلاسیک

نتایج در جدول ۴ آمده است.

لازم به یادآوری است که مرحله مبنا برای خطوط کلیماسیون، مرحله دوم بود. زیرا در تمام سدها (داخلی و خارجی) معمول است که دقیق ترین مرحله را، چه به لحاظ دستگاههای جدید دقیق تری که بکار می برند و چه به مناسبت دقیقی که به دست می آید، به عنوان مرحله مبنا انتخاب می کنند. محض نمونه در سد دز تاکنون سه بار مبنا تغییر یافته است. معمولا همزمان با پیشرفت و تکامل تکنولوژی و به بازار

نقشه شماره ۵ - سد سپیدرود شبکه ترازیابی



NO	POINT	VX(mm)	YY(mm)	A(mm)	B(mm)	FI(DEG)
1	S1	0.21	-0.32	0.10	0.08	156.97
2	S2	0.18	-1.58	0.11	0.10	44.23
3	S3	-0.32	0.12	0.10	0.09	6.34
4	S4	0.88	2.09	0.13	0.08	8.14
5	S5	-0.79	-1.55	0.10	0.08	56.92
6	S6	-0.16	1.24	0.11	0.09	150.34
7	A1	0.77	1.69	0.24	0.16	86.90
8	A2	-0.66	-0.71	0.18	0.12	88.12
9	A3	1.69	2.16	0.50	0.18	89.79
10	A4	5.09	0.60	0.39	0.14	85.81
11	A5	0.44	0.80	0.37	0.15	83.48
12	A6	2.36	-0.69	0.41	0.15	92.64
13	B7	11.69	1.31	0.15	0.13	97.90
14	B11	15.68	0.91	0.15	0.13	89.63
15	B14	19.01	0.39	0.15	0.13	78.74
16	B18	18.29	0.10	0.15	0.13	68.20
17	B23	8.75	-0.36	0.15	0.13	66.34
18	S7	0.46	0.91	0.20	0.15	78.12

جدول شماره ۴

مرحله: هشت
تاریخ: اردیبهشت ۱۳۷۳
ارتفاع مخزن آب: ۲۷۲,۵۵ متر
دما: ۱۵ درجه

جدول ۴ - جابجایی افقی و عناصر بیضی خطای مطلق نقاط

آمدن ابزارهای دقیق‌تر این مبنای تغییر می‌کند. نمونه روش آن در سد لار است که بین چهار مرحله اول و مرحله پنجم و مرحله ششم تفاوت‌های چشمگیر وجود دارد و توصیه شده است که مرحله ششم بعنوان مبنای در نظر گرفته شود.

شرح نقشه‌های پیوست

- از خانم سیمین عباسی به خاطر ترسیم و تهیه نقشه‌ها

- از آقایان علیزاده و ذوالعلی و تیمورزادگان که در انجام مشاهدات و از آقای مهندس آدوسیان که در محاسبات مرا برای نموده‌اند صمیمانه تشکر و قدردانی می‌نمایم.

نقشه شماره ۶، بیشترین حرکات افقی به سمت داخل مخزن یا بالادست را نشان میدهد. نقشه شماره ۷، بیشترین حرکات افقی خارج مخزن به طرف پایین دست را نشان میدهد. نقشه شماره ۸، که بیشترین حرکات افقی به سمت پایین دست و بالادست را نشان میدهد. نقشه شماره ۹، بیشترین حرکات قائم به سمت داخل مخزن یا بالادست را نشان میدهد. نقشه شماره ۱۰، بیشترین حرکات قائم به سمت خارج مخزن یا پایین دست را نشان میدهد.

منابع :

- ۱- رفتارسنگی و ایمنی سدها با D.S.M
- ۲- مهرماه ۷۰ - مهاب قدس
- ۳- میکروژئودزی سدها جهت تعیین جابجایی و رفتارسنگی به کمک اشعه لیزر، اردیبهشت ۷۰ - مهاب قدس
- ۴- استانداردهای میکروژئودزی، بهمن ماه ۷۲ - مهاب قدس
- ۵- فصلنامه شماره یک مهاب قدس
- ۶- بیش از ۴۰ جلد گزارش داخلی مختلف، میکروژئودزی سدسپیدرود

نقشه شماره ۱۱، بیشترین حرکات قائم به سمت پایین دست و بالادست را نشان میدهد. نقشه شماره ۱۲، حرکات یکساله افقی پایین دست و بالادست (تمام پایه‌ها) نقشه شماره ۱۳، حرکات یکساله عمودی (بطرف پایین و بالا) را نشان میدهد. نقشه شماره ۱۴، قانونمندی حرکت سدسپیدرود نقشه شماره ۱۵، حرکات افقی، عمودی، ارتفاع و دمای ۴ ساله را نشان میدهد. نقشه شماره ۱۶، ایزوگرام و جابجایی نقطه پایین دست سد به میزان ۶ میلیمتر که انگیزه تهیه و ارائه این مقاله نیز می‌باشد.

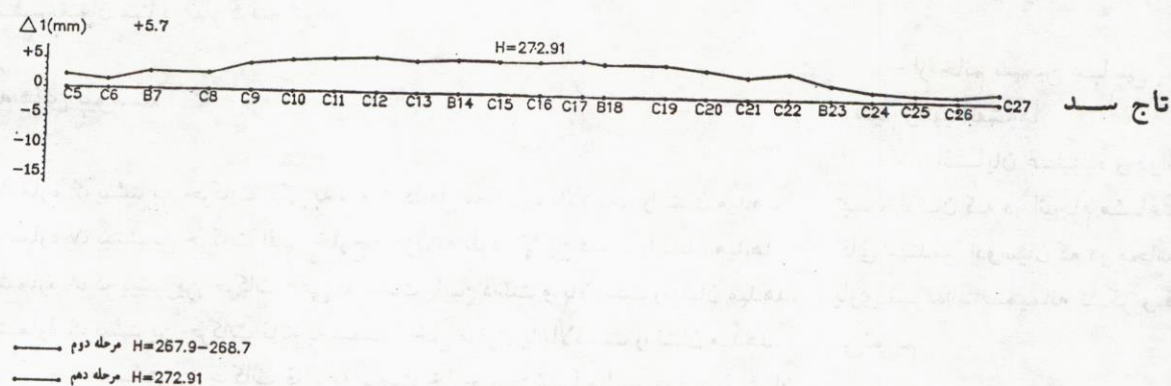
مهم‌ترین نکته قابل ذکر در اینجا این مطلب است که تنها سدی که در ایران قانونمندی حرکت آن تعیین گردیده سد سپیدرود است که بطور همزمان یک حرکت منظم رو به جلو و به عقب و در عین حال به طرف بالا و پایین دارد.

نحوه جابجایی و حرکت در سدهای قوسی، بتني، مستقیم پایه‌دار و خاکی با یکدیگر کاملاً متفاوت است. مراجعت به گزارش‌هایی که در مورد سدهای کارون، سپیدرود و لار انجام گرفته درخور توجه و بررسی است.

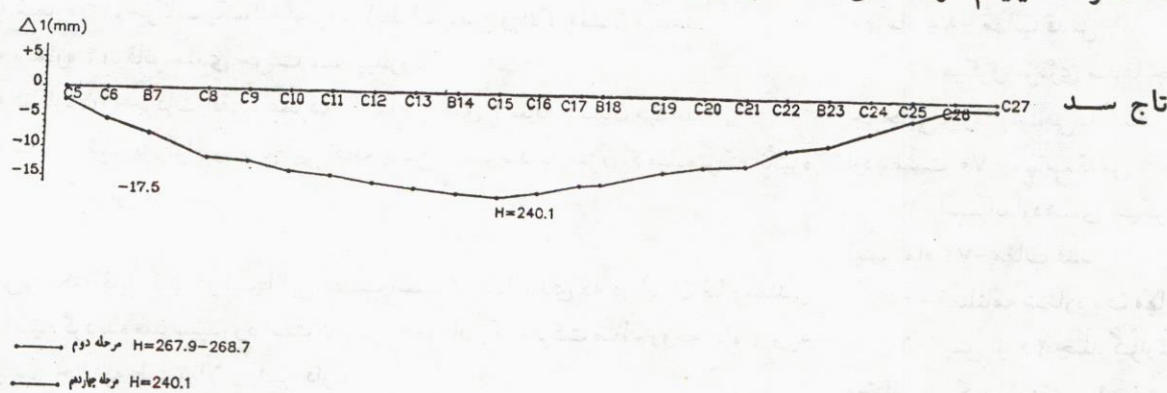
ادوار مشاهداتی

مشاهدات باید قبل از ساخت (مثل سد شهید رجایی)، قبل از آبگیری (مثل سد علیان)، در حین آبگیری (مثل سدماکو) و به ازای هر پنج سال افزایش آب و در مینیمم و ماکزیمم ارتفاع آب مخزن (سالی دوبار حداقل) تا پنج سال پس از ساخت و بهره‌برداری انجام شود. در موقع خاص، هر زمان که کارشناس مربوطه اعلام نمود مثلاً در هنگام وقوع زلزله، سیل، طوفان و هر پدیده دیگر در سدهایی مثل سپیدرود باید پنج سال پس از ترمیم و هر ماه یکبار اندازه‌گیری انجام گیرد. یا سریز سد کارون حداقل هر دو ماه یکبار نیاز به اندازه‌گیری دارد که متاسفانه انجام نشده است.

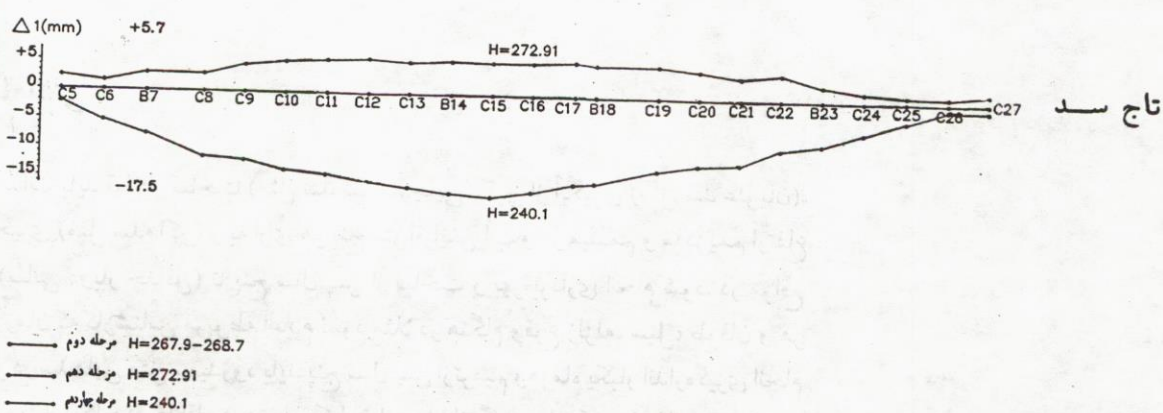
نقشه شماره ۶- مکانیزم حرکات افقی به سمت بالا دست سد

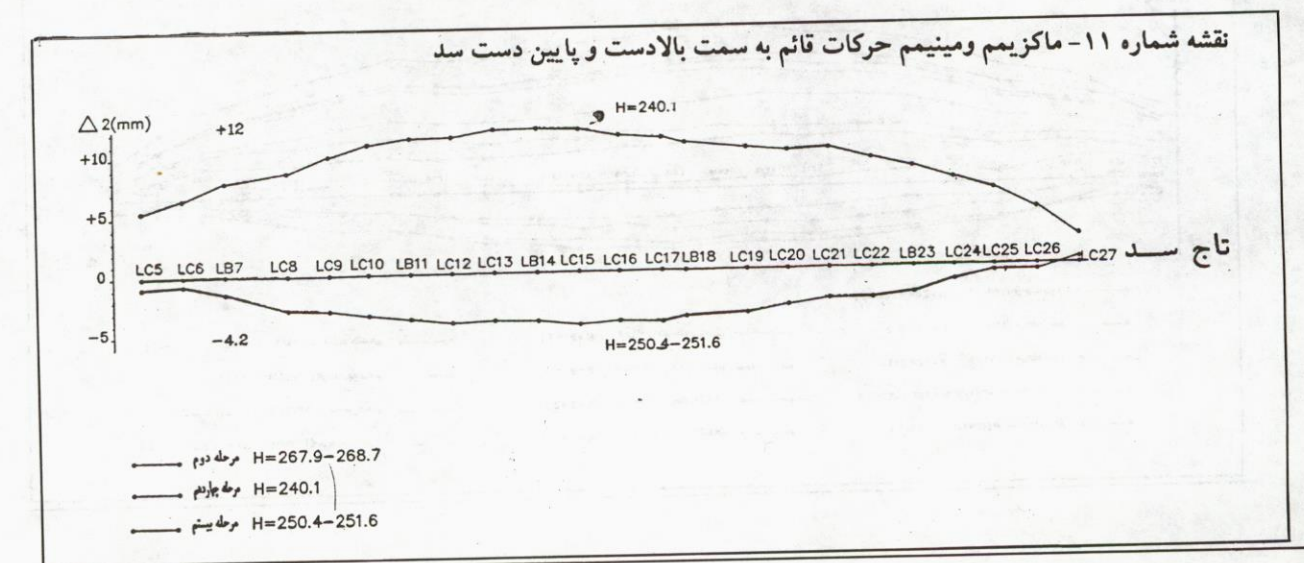
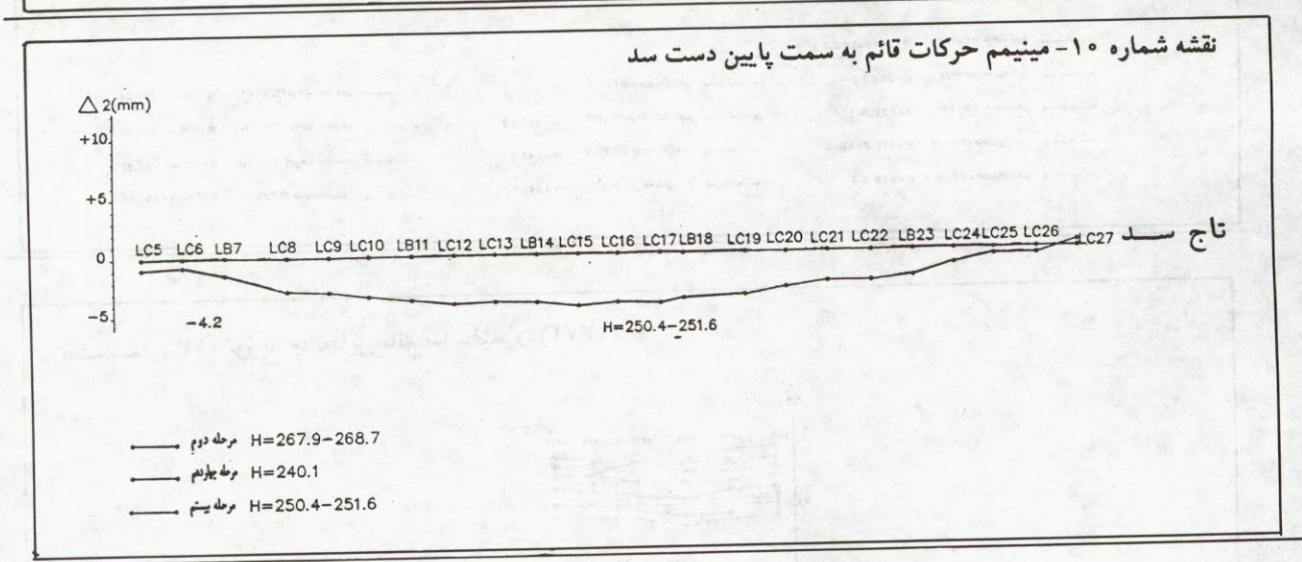
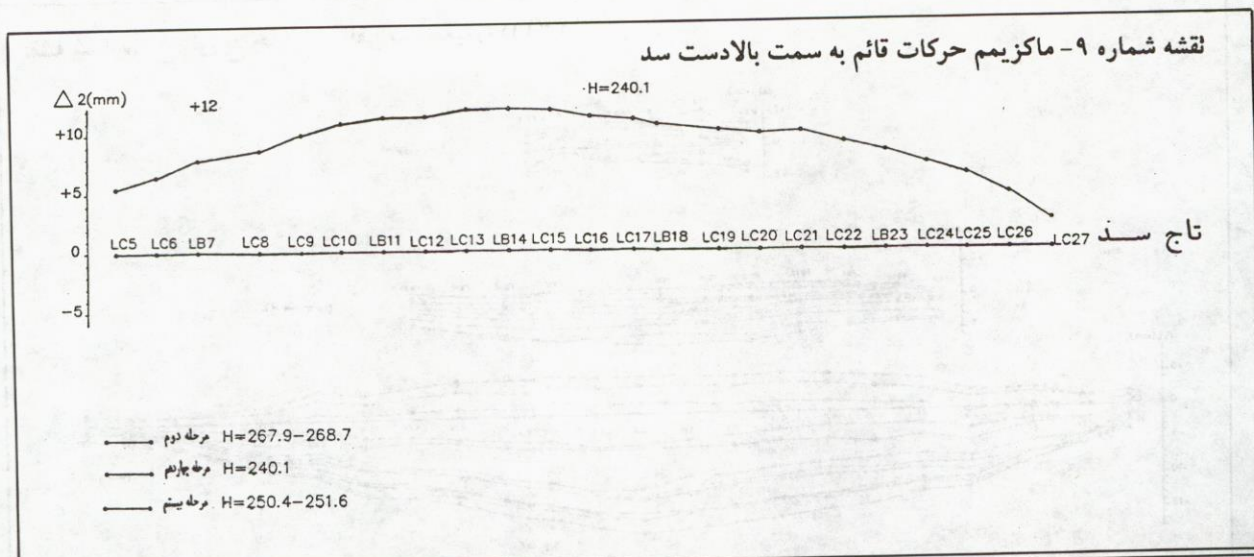


نقشه شماره ۷- مینیمم حرکات افقی به سمت پایین دست سد

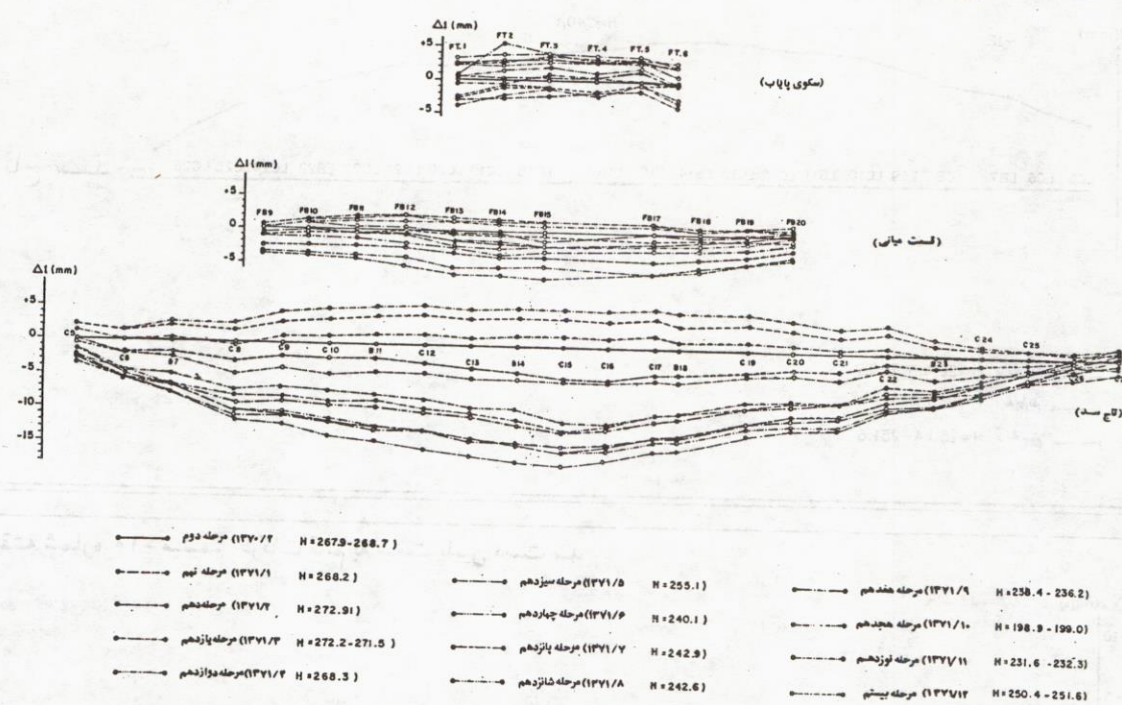


نقشه شماره ۸- مکانیزم و مینیمم حرکات افقی به سمت بالا دست و پایین دست سد

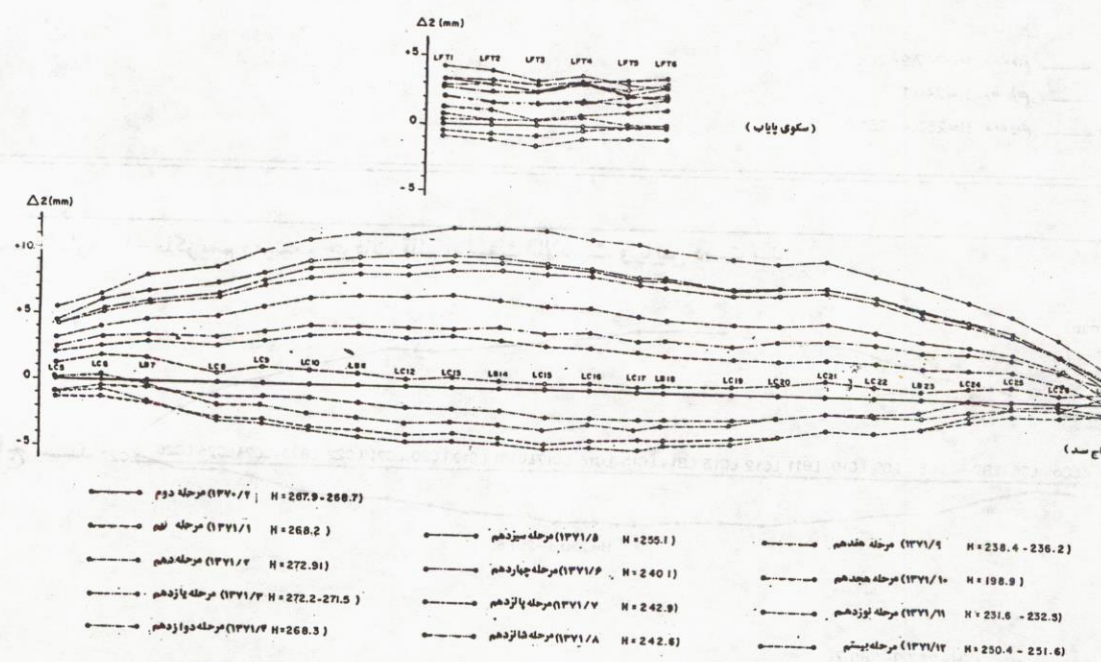




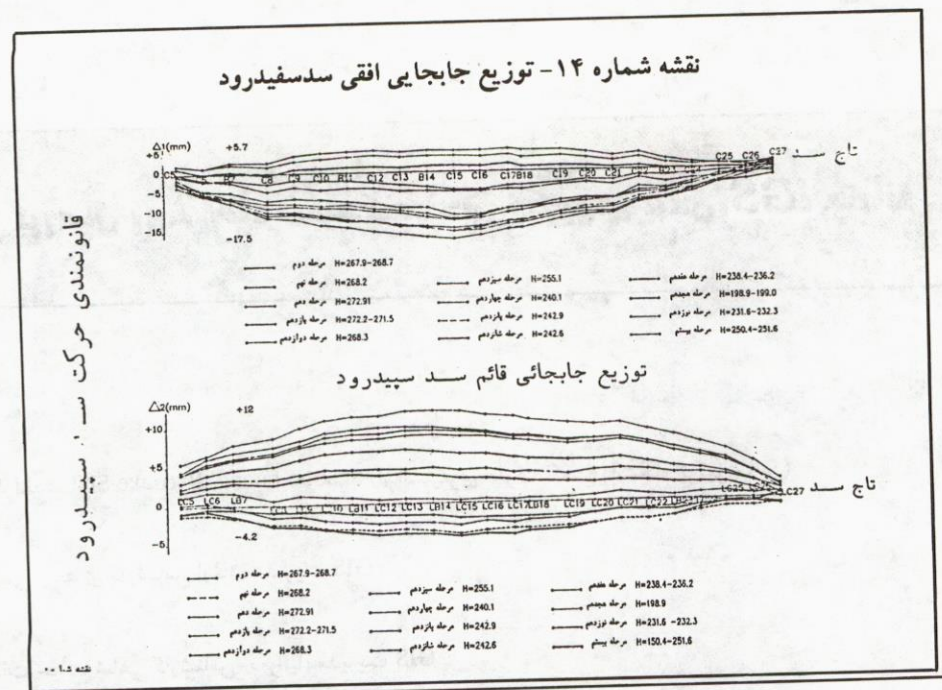
نقشه شماره ۱۲ - توزیع جابجایی افقی سد سفیدرود (۱۳۷۱)



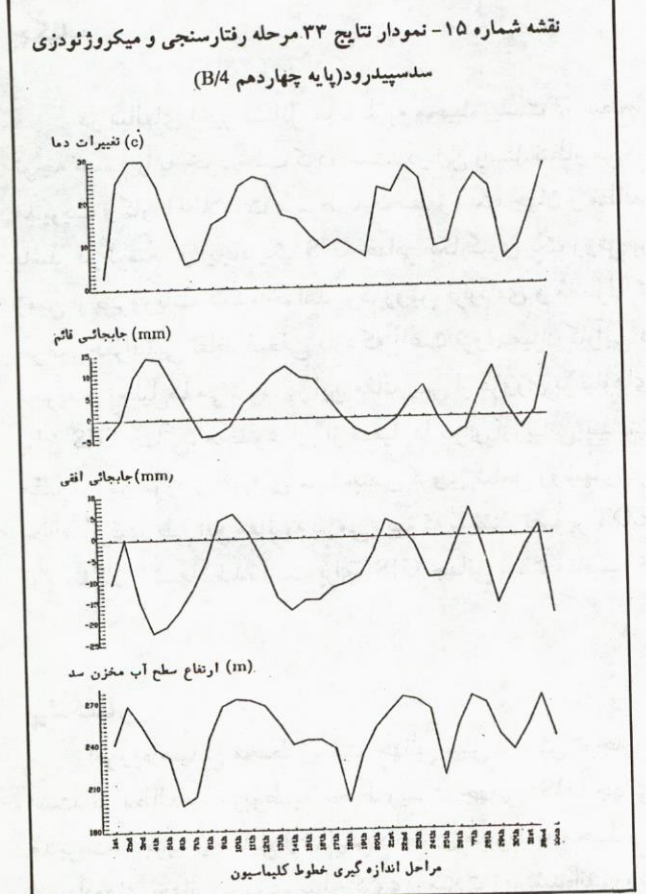
نقشه شماره ۱۳ - توزیع جابجایی قائم سد سفیدرود (۱۳۷۱)



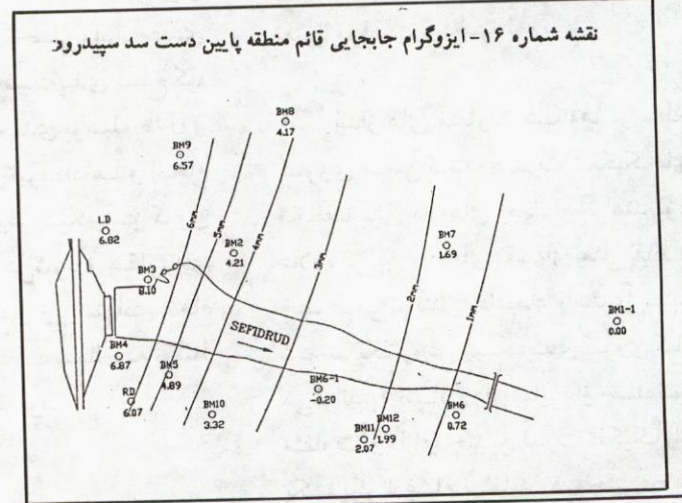
نقشه شماره ۱۴ - توزیع جابجایی افقی سد سفیدرود



نقشه شماره ۱۵ - نمودار نتایج ۳۳ مرحله رفتارستجو و میکروژئودزی سد سپیدرود (پایه چهاردهم B/4)



نقشه شماره ۱۶ - ایزوگرام جابجایی قائم منطقه پایین دست سد سپیدرود



بررسی روش‌های شبکه‌بندی کروی برای GIS جهانی

نویسندهان : Shaobo huang, Ryosuke Shibasaki & Others (از انتیتوی علوم صنعتی دانشگاه توکیو- ژاپن)

رامین رحیمی جعفری کارشناس ارشد، مدیریت GIS

مترجمین:

ناهدسادات حیات شاهی کارشناس جغرافیا، مدیریت GIS

زمین را به شبکه‌های منظم تقسیم‌بندی و آنها را بر اساس یک روش معین آدرس بندی، مشخص می‌نماید. بنابراین داده‌های روی سطح کره زمین را می‌توان به آسانی تعیین موقعیت و ذخیره نمود.

اندازه‌های متفاوت شبکه‌ها در سطح کروی معین کننده قدرت تفکیک‌های مختلف برای داده‌های جهانی خواهد بود. علاوه بر این داده‌های نقشه‌ای مثل نقاط و خطوط می‌توانند به داده‌های راستری^۳ تبدیل شوند. یک روش شبکه‌بندی کروی کارآمیز می‌تواند به آسانی داده‌هایی از چند نوع متفاوت^۴ و دارای چندین قدرت تفکیک^۵ را با یکدیگر ادغام نماید. همچنین روش

چکیده

در سالهای اخیر مسائل مربوط به محیط زیست در سطح جهانی به طور روزافزون توجه عموم را به خود جلب کرده است. در این راستا انتظار می‌رود یک GIS جهانی برای مدیریت و کار با اطلاعات مربوط به محیط زیست جهان و مطالعات محیطی، ابزار مفیدی باشد. در توسعه و ایجاد یک GIS جهانی بکارگیری یک روش برای شبکه‌بندی سطح کره زمین از ضروریات عمدۀ خواهد بود. روش قراردادی و معمول شبکه‌بندی بوسیله طول و عرض جغرافیایی نقاط ضعفی دارد که باعث نزول میزان کارآیی در ذخیره داده‌ها و انجام تجزیه و تحلیل‌ها می‌شود. در این مقاله پس از مروری بر نیازهای روش شبکه‌بندی کروی برای GIS جهانی، مجموعه‌ای از معیارها برای ارزیابی پیشنهاد می‌شود و مقایسه‌ای مفهومی در مورد روش‌های شبکه‌بندی کروی شامل روش‌های قراردادی و پیشنهادی انجام خواهد گرفت. طی این مقایسه در می‌یابیم که سیستم تصویر ZOT^۶ از قطب شمال، که توسط نویسندهان پیشنهاد شده است برای GIS جهانی نسبتاً مناسب خواهد بود.

پیشگفتار

امروزه مسائل محیط زیست جهانی بیش از پیش توجه عموم را به خود جلب کرده است. در مطالعات مربوط به محیط زیست جهانی، GIS جهانی ابزاری مفید برای ذخیره، مدیریت، تجزیه و تحلیل و نمایش داده‌های مربوط به محیط زیست خواهد بود. از آنجا که این داده‌های جهانی بر روی سطح کروی زمین توزیع شده‌اند، روش مناسب برای شبکه‌بندی یکی از اجزای مهم GIS جهانی را تشکیل می‌دهد. روش شبکه‌بندی کروی، سطح کروی کره

- ۱- از مجموعه مقالات پانزدهمین کنفرانس آسیایی سنجش از دور
- ۲- North-Up "ZoT" Projection
- ۳- Raster data ۴- Multitype data
- ۵- Multiresolution

یک تکنیک خاص فهرست‌بندی آماده و بکار برده شود. برای اجرای این روشها باید ساختار اساسی داده‌ها در نرم‌افزار موجود برای GIS به طور قابل توجه تغییر یابد. بنابراین، در مطالعات مقاله حاضر، این روش‌های شبکه‌بندی مورد بررسی قرار نگرفته است. مجموعه دیگر روشها بنام "شبکه‌بندی بر اساس سیستم تصویر" نامیده می‌شوند. در این روشها ابتدا سطح کروی بر روی یک صفحه دو بعدی تصویر می‌شود، آنگاه شبکه‌ها با استفاده از شبکه‌بندی روی این صفحه دو بعدی ایجاد می‌شوند. در این روشها سعی شده است که اصول متعددی رعایت شوند مانند ساختاربندی داده‌ها به طور سلسله مراتبی منظم، سهولت تبدیل با سایر سیستم‌ها، رابطه مستقیم با طول و عرض جغرافیایی، و تقسیم‌بندی هم مساحت (W. Tobler Z.Chen 1986).

که بسیار مهم بوده و در ایجاد و توسعه GIS جهانی بسیار مورد نیاز می‌باشدند. هر سیستم تصویر معمولاً مقداری جابجایی ایجاد می‌کند. می‌توان این جابجایی‌ها را با انتخاب سیستم تصویری که آشکال اساسی هندسی روی آن به طور نسبتاً خوبی نمایش دهنده همان شکل مربوطه بر روی مدل کره زمین باشند، به حداقل رسانید.علاوه این روشها سطح کروی یکپارچه را بر روی یک صفحه دو بعدی مرزدار منتقل می‌کنند که باعث ایجاد شکافهایی در مرزهای صفحه می‌شود. اگرچه آن یکپارچگی سطح کروی از بین می‌رود اما داده‌های برداری و راستری را می‌توان در یک سیستم تصویر مشترک

- 1- Neighbouring Analysis
- 2- Spatial Query
- 3- Regular hierarchical data structuring

این روش‌ها عمدتاً به دو گروه طبقه‌بندی می‌شوند:

- شبکه‌بندی مستقیم بر روی سطح کروی.
- شبکه‌بندی بر اساس یک سیستم تصویر.

روش‌های شبکه‌بندی مستقیم بر روی سطح کروی، با استفاده از دانش هندسه سه بعدی، شبکه‌هایی را ایجاد می‌کنند. در این روش‌ها یک چندوجهی منتظم، مانند جسمی چهاروجهی، شش وجهی (مکعب)، هشت وجهی یا ده وجهی در یک کره محاط می‌شود. Coxeter (1978) و Prance (1948) لبه‌های این چند وجهی‌ها مانند سیم‌های دایره‌ای تصور می‌شوند که می‌توانند بر روی کره بعنوان قطعه‌هایی از دایره عظیمه تصویر شوند. این قطعه‌ها لبه‌های مثلث‌ها، چهارضلعی‌ها و پنج ضلعی‌های کروی را تشکیل می‌دهند که بطور کامل کره را می‌پوشانند. سپس این چندضلعی‌های کروی منتظم بعنوان نقطه شروع برای شبکه‌بندی به منظور ایجاد مثلث‌های کروی یا شبکه‌های مثلثی با قدرت تفکیک موردنظر، به کار می‌روند. یک مثال از این روشها، روش چندوجهی مختصر شده است که بوسیله Denis White و DiGran در سال ۱۹۹۲ پیشنهاد گردیده و در آن نقطه شروع برای شبکه‌بندی چیزی شبیه توب فوتbal است. اگرچه روش‌های شبکه‌بندی مستقیم بر روی سطح کروی، شبکه‌هایی با آشکال منظم ایجاد می‌کنند، اما این روشها نمی‌توانند ارتباطی ساده و واضح با مختصات آشنای طول و عرض جغرافیایی داشته باشند و باید به این منظور روش‌های محاسباتی پیچیده، به کار گرفته شوند. به علاوه، باید برای تعیین آدرس هر شبکه،

شبکه‌بندی کروی بر روی قابلیت‌های اجرایی توابع GIS جهانی، از جمله موارد زیر، موثر است: کارآیی در تجزیه و تحلیل‌های همسایگی^۱، سرعت پرسش‌های مکانی^۲، کیفیت عینی اطلاعات و نظایر آنها. روش قراردادی شبکه‌بندی کروی در مطالعات مربوط به محیط زیست، داده‌های محیطی جهانی را بر روی یک سیستم مختصات طول و عرض جغرافیایی تصویر می‌نماید و بدین طریق داده‌های راستری را فراهم می‌کند. مزیت این روش سهولت تعیین و تعریف موقعیت پیکسل‌ها بر روی صفحه طول و عرض جغرافیایی است. اما این روش قراردادی شبکه‌بندی اشکالاتی دارد مانند تغییر شکل مساحت‌های بزرگ، کارآیی کمتر در ذخیره داده‌ها، هدایت نامنظم در قطبین و جابجایی‌هایی در اشکال و فواصل که باعث کاهش کارآیی در ذخیره داده‌ها و انجام تجزیه و تحلیل‌ها می‌شود. به منظور یافتن روش شبکه‌بندی مناسب برای توسعه GIS جهانی، نویسندهان نیازهای مربوط به روش‌های شبکه‌بندی کروی را مرور کرده و مقایسه‌ای مفهومی برای انواع این روشها انجام میدهند که شامل روش‌های پیشنهادی نیز هست و با استفاده از مجموعه‌ای از معیارهای ارزیابی انجام می‌شود.

۱) روش‌های شبکه‌بندی کروی

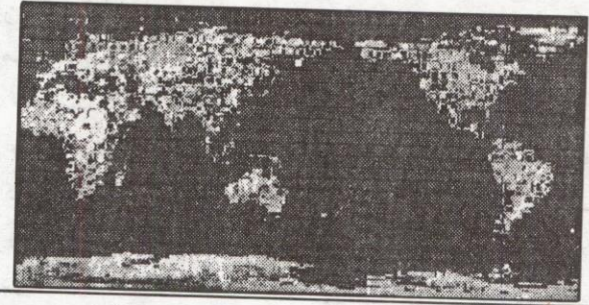
۱-۱) مروری بر روش‌های گوناگون شبکه‌بندی برای GIS جهانی

روش‌های متعدد برای شبکه‌بندی که سطح کره زمین را برای تجزیه و تحلیل داده‌های جهانی، به طریقی منظم تقسیم‌بندی می‌کنند، پیشنهاد شده است.

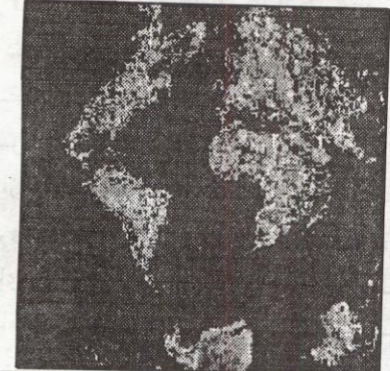
پیوسته نگاشته می‌شود. در زیر توضیحات مربوط به انواع این روش‌های شبکه‌بندی کروی آمده است:

۱- سیستم مختصات با تقسیمات مساوی طول و عرض جغرافیایی

این سیستم، روشی قراردادی و مورد استفاده در GIS جهانی است که در آن شبکه‌ها بوسیله شبکه طول و عرض جغرافیایی ایجاد می‌شوند. نگاره ۱-الف مثالی از DEM (مدل ازتفاقی رقومی) زمین را نشان می‌دهد.



الف) تصویر DEM در سیستم مختصات با تقسیمات مساوی طول و عرض جغرافیایی



ج) تصویر DEM با تصویر ZOT از قطب شمال



ب) تصویر DEM با سیستم تصویر ZOT

نگاره ۱- تصویر DEM زمین

۲- سیستم تصویر کاسینی

سیستم تصویر کاسینی یک سیستم تصویر استوانه‌ای هم فاصله معکوس می‌باشد. در صفحه تصویر، محور X در امتداد استوا و محور Y در امتداد نصف‌النهار مرکزی است. نصف‌النهار مرکزی و استوا خطوط مستقیم هستند، همینطور نصف‌النهاراتی که با نصف‌النهار مرکزی زاویه ۹۰ درجه می‌سازند سایر مدارات و نصف‌النهارات دیگر منحنی هستند.

1- Cassini Projection

مورد استفاده قرار داد و نرم‌افزار GIS مستقیماً قابل استفاده است. بنابراین روش شبکه‌بندی بر اساس سیستم تصویر را به عنوان روش اساسی برای ذخیره و مدیریت داده‌ها انتخاب نمودیم.

۲-۱ روش‌های مختلف شبکه‌بندی کروی بر اساس سیستم تصویر:

در ابتدا پنج روش کلی موجود برای انجام شبکه‌بندی بر اساس سیستم تصویر را به منظور یافتن مناسب ترین آنها جهت GIS جهانی انتخاب می‌کنیم. این روش‌ها کم و بیش نیازهای بیان شده را برای توسعه یک GIS جهانی برآورده می‌سازند. علاوه بر آن سه روش بهبود یافته جهت شبکه‌بندی کروی پیشنهاد می‌شود زیرا سعی بر آن است که روش‌های با کیفیت بالاتر بدمست آید. در اینجا باید به این نکته توجه داشت که بعضی سیستم تصویرهای کلاسیک، سطح کروی را به تکه‌های متعدد تصویر می‌کنند. این روشها ممکن است احتمالاً جایگایی‌های بیش از حد زاکاهش دهند اما باعث ایجاد فضاهایی خالی در طول پیوستگی سطح نگاشته شده نیز می‌شوند.

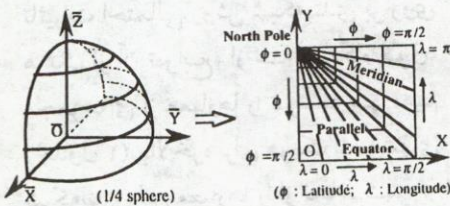
این فضاهای خالی باعث پیچیدگی شکل مرزها می‌شوند که این امر بررسی چگونگی ارتباط و پیوستگی پیکسل‌ها در روی مرزها را مشکل می‌سازد. علاوه بر این، مناطق موجود در این فضاهای خالی در بردارنده هیچ نوع داده واقعی نیستند اما به هر حال اجباراً ذخیره می‌شوند و کارآیی ذخیره داده‌ها پایین خواهد آمد.

به علت این اشکالات در اینجا فقط به آن روش‌هایی از شبکه‌بندی توجه می‌شود که در آنها یک سطح کروی بر روی یک صفحه

فاصله مدارات تصویرشده از استوا تا قطب،
متناوب با تابعی از عرض جغرافیایی،
تصویر هم مساحت ایجاد می‌شود.

۷- سیستم تصویر zot از قطب شمال

سیستم تصویر zot از قطب شمال که در نگاره ۳ نشان داده شده حالت بهبود یافته‌ای از سیستم zot هم مساحت است که در آن قطب‌ها از مرکز و چهار گوشه مرربع به نقاط میانی لبه دیگر مرربع منتقل می‌شوند. نگاره (۱-ج)، تصویری را نشان میدهد که بوسیله این سیستم ایجاد شده است.



نگاره -۳- سیستم تصویر zot هم مساحت از قطب شمال

۸- تصویر هشت وجهی

نقاط روی کره، بر وجوده یک هشت وجهی محاطی، در امتداد متصل کننده به مرکز کره، تصویر می‌شوند. آنگاه وجوده هشت وجهی باز می‌شوند و در یک مرربع جای می‌گیرند.

۲- چگونگی ارزیابی روش‌های شبکه‌بندی کروی

روش شبکه‌بندی کروی به عنوان یک

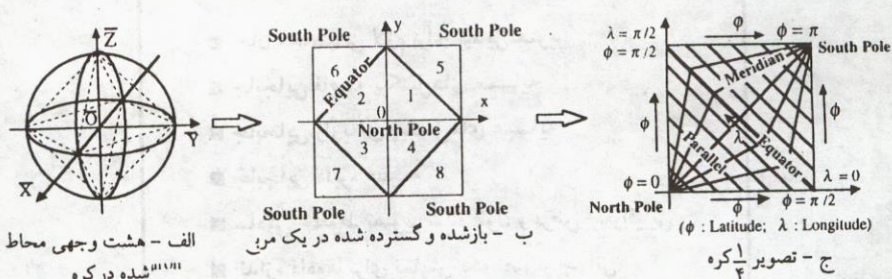
1- Zenital Orthotriangular Projection (ZOT)

۳- سیستم تصویر هم مساحت استوانه‌ای لامبرت (Lambert)

این تصویر شبیه روش سیستم مختصات طول و عرض جغرافیایی است. اما برای حفظ مساحت‌ها، فاصله مدارات از استوا متناسب با سینوس زاویه عرض جغرافیایی است.

۴- سیستم تصویر مثلثی متعامد قائم (G.Dutton 1991), (ZOT)

با سیستم تصویر مثلثی قائم (ZOT) که در نگاره ۲ نشان داده شده است، یک سطح کروی ابتدا به هشت مثلث متساوی‌الاضلاع که وجود یک هشت وجهی محاطی را تشکیل می‌دهند، تصویر می‌شود. این هشت وجهی در طول لبه‌های آن از قطب تا استوا بریده می‌شود، وجود آن بازشده و گسترده می‌شوند و به صورت هشت مثلث قائم‌الزاویه مساوی که در یک مرربع قرار گرفته‌اند تصویر می‌شوند. بعد از تصویر، شدن قطب شمال در مرکز مرربع قرار خواهد گرفت، در حالی که قطب جنوب چهار گوشه را اشغال خواهد کرد. همه مدارات و نصف‌النهارات به صورت خطوط مستقیم تصویر می‌شوند. اما فقط مدارات دارای فواصل مساوی هستند. در نگاره (۱-ب) داده‌های ارتفاعی جهانی که بوسیله سیستم zot تصویر شده‌اند.



نگاره -۲- سیستم تصویر zot

۵- تقسیمات مساوی زاویه ثابت (Kajiwara, 1993)

در این سیستم تصویر، مساحت‌ها بوسیله تقسیمات مساوی زاویه ثابت بدست می‌آید و در آن ابتدا کره به نوارهایی کروی در طول مدارات هم ارتفاع تقسیم می‌شود، آنگاه هر نوار به پیکسل‌های مساوی تقسیم می‌گردد.

۶- سیستم تصویر zot هم مساحت

این روش نوعی حالت بهبود یافته سیستم zot می‌باشد که در آن با کاهش تدریجی

جزء مهم، به شدت بر روی کارآیی GIS جهانی تاثیر دارد. با مقایسه تاثیرات هریک از روش‌های شبکه‌بندی کروی می‌توان روش مناسب برای توسعه GIS جهانی را انتخاب نمود. ارزیابی این تاثیرات از سه دیدگاه آغاز می‌شود.

- کارآیی ذخیره اطلاعات ، - سرعت پردازش ، - قابلیت تفسیر

معیارهای ارزیابی روش‌های شبکه‌های مکانی		توابع ضروری GIS
قابلیت تفسیر	سرعت پردازش	تبديل هندسی
برای نمایش تصویر اندازه داده هامور دنیاز است.	سرعت تبدیل	ذخیره داده ها
قابلیت تفسیر اطلاعات تصویر شده	- قابلیت تفسیر اطلاعات تبدیل شده - سرعت تبدیل	نمایش بعد از تصویر شدن
جایگایی فاصله با پیکسل های همسایه	- سرعت تبدیل - بازیابی پیکسل روی یک نقطه - سرعت تبدیل - بازیابی پیکسل روی یک دایره عظیمه	بازیابی پیکسل در یک مساحت بازیابی پیکسل در یک شاعع معین
جایگایی زاویه با پیکسل های همسایه	محاسبه امتدادهای پیکسل های همسایه	جایگایی زاویه پیکسل های همسایه
سهولت دنبال کردن خطوط طول و عرض جغرافیایی	سهولت دنبال کردن خطوط طول و عرض جغرافیایی	سهولت دنبال کردن
سلسله مراتب از پیکسل ها با سطوح متفاوت از قدرت تفکیک	سرعت تبدیل سهولت محاسبه مساحت پیکسل سلسله مراتب از پیکسل ها با سطوح متفاوت از قدرت تفکیک	محاسبه فواصل محاسبه مساحت پیکسل روی هم قراردادن پیکسل های دارای قدرت تفکیک متفاوت

جدول ۱- توابع GIS جهانی و معیارهای ارزیابی روش‌های شبکه بندی مکانی

■ زمان محاسباتی لازم برای تبدیل تصویر
■ جایگایی فاصله پیکسل های همسایه
■ جایگایی زاویه ای پیکسل های همسایه
■ جایگایی دایره عظیمه
■ سادگی خطوط تصویر شده طول و عرض جغرافیایی
■ اندازه داده ها برای نمایش یک تصویر جهانی
■ سلسله مراتب پیکسل ها با قدرت تفکیک های متفاوت
■ سهولت محاسبه مساحت پیکسل ها
■ قابلیت تفسیر اطلاعات تصویر شده
<input checked="" type="checkbox"/> معیارهای کیفی

جدول ۲- فهرست معیارهای ارزیابی

(۲) جایگایی فاصله پیکسل های همسایه

جایگایی های فاصله در ارزیابی تغییرات فواصل در سطوح ملی و جهانی

تصویر با استفاده از یک سری داده های نمونه (ETOPO 10) برای هریک از روش های تصویر، اندازه گیری می شود نگاره (۴-الف). در روش بکار رفته از قطب شمال، زمان تبدیل نسبتا کم است.

(۳) نتایج ارزیابی روش های شبکه بندی کروی

- ۱-۱) زمان محاسبه تبدیل سیستم تصویر زمان محاسبه تبدیل سیستم

۵-۳) سادگی خطوط تصویر شده طول و عرض جغرافیایی

سادگی خطوط طول و عرض تصویر شده، معیاری کیفی است که نشان دهنده میزان سهولت دنبال کردن خطوط طول و عرض جغرافیایی می‌باشد. اگر مدارات و نصف‌النهارات به صورت خطوط مستقیم تصویر شوند، میزان سادگی بالا می‌باشد. قطعاً تقسیمات مساوی طول و عرض جغرافیایی آسان‌ترین می‌باشد زیرا در آن مدارات و نصف‌النهارات به صورت مستقیم و متعامد حفظ می‌شوند. اما در سیستم‌های هشت وجهی و تقسیمات مساوی زاویه ثابت مدارات و نصف‌النهارات به صورت منحنی‌هایی تصویر می‌شوند که فرآیند تعقیب آنها تا حدودی مشکل می‌باشد.

۶-۳) اندازه داده‌ها برای نمایش یک تصویر جهانی (کارآیی ذخیره)

کارآیی ذخیره بوسیله اندازه داده‌های لازم برای ذخیره یک تصویر جهانی با روش شبکه‌بندی کروی، تعیین می‌شود. در نگاره (۴-۳) تصویرهای هم مساحت نظری تقسیمات مساوی زاویه ثابت، zot هم مساحت و zot از قطب شمال بهترین کارآیی را نشان می‌دهند.

مورد استفاده واقع می‌شوند. جابجایی فاصله محلی بر حسب نسبت حداکثر به حداقل فاصله از یک پیکسل تا همسایگان آن محاسبه می‌شود. در حالی که جابجایی فاصله جهانی بوسیله نسبت حداکثر به حداقل متوسط فواصل در مقیاس جهانی محاسبه می‌گردد. اگر جابجایی وجود نداشته باشد، هر دو معیار مساوی هستند. از آنجاییکه تصویرهای zot هشت وجهی دارای جابجایی کمی هستند، برای جستجوی پیکسل‌های همسایه در یک فاصله معین مفید می‌باشند. اما سیستم تصویر هم مساحت zot دارای جابجایی زیادی است در امتداد استوا می‌باشد.

۳-۳) جابجایی زاویه

جابجایی زاویه در یک پیکسل بر حسب میزان تغییرپذیری زاویه بین دو پیکسل همسایه روی یک سطح کروی اندازه‌گیری می‌شود. در نتیجه سیستم‌های هشت وجهی zot و zot از قطب شمال، دارای جابجایی زاویه‌ای نسبتاً کمی هستند. در حالیکه سیستم هم مساحت zot دارای جابجایی زیادی است.

۴-۳) جابجایی دایره عظیمه

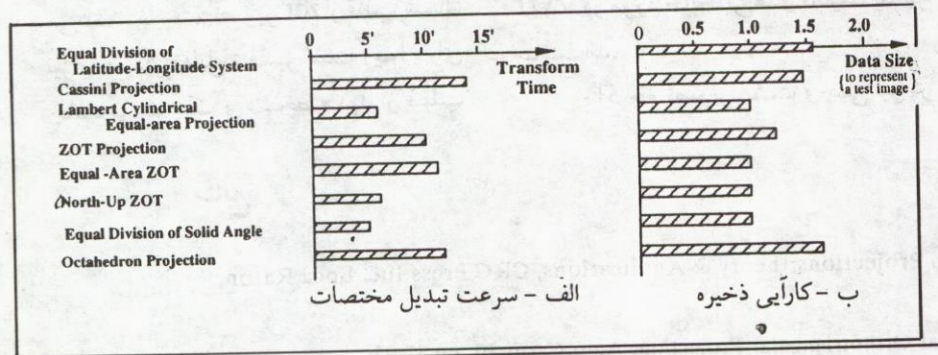
۷-۳) سلسله مراتب پیکسل‌ها با قدرت تفکیک‌های متفاوت

ساختار داده‌های سلسله مراتبی برای ذخیره داده‌ها در سطوح مختلف قدرت تفکیک مفید می‌باشد. یک سلسله مراتب منظم بسیار کارآتر است از یک سلسله مراتب نامنظم. همه سیستم تصویرها غیر از تقسیمات مساوی زاویه ثابت، می‌توانند روابط سلسله مراتبی را اجرا کنند. سیستم تصویرهای zot، zot هم مساحت، zot از قطب شمال و هشت وجهی کارآیی بسیار مفیدتری را در این زمینه نشان داده‌اند.

۸-۳) سهولت محاسبه مساحت پیکسل

سهولت محاسبه مساحت پیکسل بوسیله حفظ مساحت‌های تصویر و پیچیدگی

جابجایی دایره عظیمه بر حسب اینکه دایره عظیمه واقع بین دو پیکسل چه مقدار با یک خط مستقیم در صفحه تصویر فاصله دارد، محاسبه می‌شود. تصویر هشت وجهی، دایره عظیمه را به یک خط مستقیم تصویر می‌کند که فقط در لبه‌های هشت مثلث خمیده می‌باشد. برای تصویر هشت وجهی جستجوی پیکسل‌ها در امتداد دایره عظیمه، با دنبال کردن قطعه خطوط، آسان می‌باشد.



نگاره ۴ - مقایسه سرعت تبدیل و کارآیی ذخیره

مورد تصحیحات هندسی تصاویر ماهواره‌ای با زاویه دید قائم مفید می‌باشد اما به دلیل تصویر نمودن خطوط اسکن تصویر (نژدیک به دایره عظیمه) تقریباً به صورت خطوط مستقیم و به دلیل هم مساحت بودن، نرم‌افزار GIS نمی‌تواند مسستقیماً به کار گرفته شود.

- سیستم تصویر از قطب شمال جابجایی‌های نسبتاً کمی دارد و برای تبدیل داده‌های جهانی نیاز به محاسبات کمتری دارد و در بکارگیری نرم‌افزار موجود GIS مفید می‌باشد. زیرا دارای تصویر هم مساحت است. این اطلاعات در انتخاب روش مناسب شبکه‌بندی کروی بسیار مفید است. در نتیجه‌گیری از این مطالعات، روش ZOT از قطب شمال به عنوان روش اساسی شبکه‌بندی کروی در ایجاد و توسعه GIS جهانی پیشنهاد می‌شود.

شمال می‌باشد.

فرمول محاسبه مساحت، قضاوت می‌شود. سیستم‌های ZOT هم مساحت و ZOT از قطب شمال و تقسیمات مساوی زاویه ثابت: به دلیل تصویر هم مساحت، این محاسبه را به سهولت انجام میدهد.

۵) نتایج

در این مقاله روشهای تصویر/شبکه‌بندی براساس مجموعه‌ای از معیارها، به منظور ارزیابی تناسب آنها در توسعه GIS جهانی مقایسه شدند. در نتیجه این ارزیابی در می‌یابیم که:

- سیستم مختصات با تقسیمات مساوی طول و عرض جغرافیایی بسیار ساده و آشنا است اما جابجایی‌های نسبتاً بالا دارد.
- تصویر هشت وجهی و تصویر ZOT در مورد جابجایی‌ها و قابلیت تفسیر مناسب‌اند.
- اگرچه تصویر هشت وجهی نیز در

۳-۹) قابلیت تفسیر اطلاعات تصویر شده

یک تصویر در صورتی به آسانی تفسیر می‌شود که جابجایی‌های کمی داشته و برای ما آشنا باشد. تقسیمات مساوی سیستم تصویر طول و عرض جغرافیایی برای ما بسیار آشناتر است. تقسیمات مساوی زاویه ثابت بعد از آن قرار دارد. تصویر هشت وجهی به علت جابجایی‌های نسبتاً کم در اشکال به راحتی قابل تفسیر می‌باشد. سیستم تصویر ZOT از قطب شمال نیز به سادگی قابل تفسیر است زیرا دارای جابجایی کوچک و مشخصه دید از قطب

منابع

- 1- F. Pearson (1990): Map Projections:theory & Applications, CRC Press Inc. Boca Raton, Florida.
- 2- G.Dutton(1991): Zenithial Orthotriangular Projection, Auto-Carto 10, pp.77-95.
- 3- John P. Snyder (1987): Map Projections---A Working Manual, Geological Survey Professional Paper 1395, U.S. Government Printing Office, Washington,DC.
- 4- K.Kajiwara(1992): A Proposal of Global Data Format based on Equal Division of Solid Angle, Prof. of ISPRS(Japanese Society of Photogrammetry & Remote Sensing)Fall Conference, pp.1-4.
- 5-M.F.Goodchild & S.Yand(1992): A Hierarchical Spatial Data Structure for Global Geographic Information Systems, CVGIP: Graphical Models and Image Processing. Vol.54, No.1,pp.31-44.
- 6-R. Shibusaki, M.Kasuya & M.Takagi(1994): Spherical Tessellation Schemes For Global GIS, Proc.of ISPRS, Mapping and Geographic Information Systems, pp.572-578.
- 7-R. Tateishi(1993): Global Databases/GIS for Global Environmental Research, Proc. of International Workshop on Global GIS , pp.1-7.
- 8- White, Kimerling, Overtion(1992): Cartographic and Geometric Components of a Global Sampling Design for Environmental Monitoring, Cartography and Geographic Information Systems, Vol.19.No.1,pp5-22.
- 9-W.Tobler & Z.Chen(1986): A Quadtree for Global Information Storage, Geographical Analysis, Vol.18.No4,pp.360-371..

ارتفاع آب، دبه‌های ورودی و خروجی، میزان سریز و ...) و نیز اطلاعات جانبی لازم (نظری: دمای آب و محیط، زلزله و پس زلزله‌های رخ داده و...). را می‌توان در سیستم وارد نمود و بصورت بهنگام در اختیار داشت.

با استفاده از این سیستم‌ها تبادل اطلاعات بین ارگانها و نهادهای مرتبط، سهولت می‌یابد. این سیستم‌ها به اجزای زیر نیازمندند:

- ۱- نرم‌افزاری شامل سیستم‌های پایگاه داده DBMS حتی الامکان با ساختار ارتباطی و نرم‌افزارهایی با قابلیت ذخیره‌سازی و بازیابی اطلاعات هندسی و نیز نرم‌افزارهایی با قابلیت ایجاد ارتباط بین دو مورد فوق.
- ۲- سخت افزار مناسب.
- ۳- نیروی انسانی متخصص در علوم نقشه‌برداری، فتوگرامتری و GIS (ژئوماتیک) و متخصص پایگاه داده و متخصص جمع‌آوری و تجزیه و تحلیل و تبدیل اطلاعات.

از مزایا و کاربردهای GIS این است که به تصمیم‌گیری مستولان طرحهای عمرانی سرعت می‌بخشد. واضح است که سرعت عمل در تصمیم‌گیری و سرمایه‌گذاری به موقع در پژوهش‌های عمرانی در سطح ملی از اهمیت بالایی برخوردار است و سیستم‌های اطلاعات جغرافیایی به عنوان ابزار هدایتگر و ارایه دهنده حالت‌های مختلف پژوهه، عمل تصمیم‌گیری را برای مسئولین و مدیران و مهندسین راحت می‌کند و از آنجا که در GIS از پایگاه داده‌های خام استفاده می‌شود سیستم دارای مزایای خاصی می‌باشد. از جمله: هنگام وارد نمودن داده‌های خام از اشتباه و خطاهای منطقی جلوگیری می‌شود (Integrity Constraint). داده‌های اضافی (Data Redundancy) کاهش می‌یابد و اینکه داده‌ها می‌توانند بهنگام باشند و نیز بطور مشترک و همزمان مورد استفاده قرار گیرند و نیز امکان استفاده از روش‌هایی برای ایجاد امنیت در نگهداری و دسترسی به داده‌ها

کاربرد سیستم‌های اطلاعات جغرافیایی

د) میکروژئودزی

از: مهندس مهدی مجذوب‌آبادی، کارشناس سازمان نقشه‌برداری کشور

پیشگفتار

و فنون مرتبط، درون سیستم بگونه‌ای که هریک در عین حفظ خصوصیات منحصر به فرد خویش از مزایای دیگری بهره گیرد، موضوعی است که از اصل فلسفی یکی دانستن ریشه علوم متوجه می‌شود و نتایج آن به حوزه علوم برمی‌گردد.

به منظور رفتارسنجی در راستای اینمن‌سازی سدها در حوزه مطالعات و تحقیقات تغییر شکل و تغییرات زمانی پوسته زمین یا سازه‌های مهندسی به موضوع میکروژئودزی خواهیم رسید.

در مورد تغییرشکل و جابجایی زمانی پوسته زمین و سازه‌های مهندسی نظری سدها از دیدگاه‌های مختلف می‌توان بحث را آغاز نمود. از جمله موارد رایج در دایره بررسیهای تحقیقی، بحث در مورد ابزارهای اندازه‌گیری دقیق، شیوه‌های اندازه‌گیری، روش‌های محاسبه برای دستیابی به دقت‌های مورد نیاز و چگونگی تعیین سطح مبنا می‌باشد.

ولی نوشه حاضر به تلفیق و یکپارچگی علوم و فنون مختلف و استفاده از آنها از یکدیگر در یافتن نتیجه بهینه می‌پردازد.

افزایش نیاز به اطلاعات جامع چندمنظوره از زمین (Multipurpose Geoinformation) در زمانهای مختلف و در راستای جوابگویی به درخواستهای متفاوت، مجرّب به اجبار در نادجام اطلاعات مختلف زمینی شده است.

یکپارچه‌سازی سیستم اطلاعات جغرافیایی با تکنیک‌های دیگر و گنجاندن علوم

سیستم اطلاعات جغرافیایی و زمینی (GIS/LIS)

با پیشرفت تکنولوژی، بخصوص در رشته کامپیوتر، نحوه تولید و استفاده از محصولات مختلف، فرهنگ جدایگانه‌ای یافته است. امروزه روش تهیه نقشه و نگهداری و استفاده از آن در دنیا تغییر کرده است و پایگاه‌های اطلاعاتی مختلف ویژگی‌های گسترده‌تری از آن را به نمایش می‌گذارند. بهره‌بری منسجم از تجهیزات کامپیوتری اعم از سخت افزار و نرم‌افزار به همراه اطلاعات جغرافیایی که جمع‌آوری، نگهداری، بازیابی، تجزیه و تحلیل و ارایه داده‌های هندسی و توصیفی یکپارچه را با افزایش دقت، ارتقاء کیفیت و بالا بردن سرعت انجام دهد تحت چتری به نام سیستم اطلاعات جغرافیایی سازمان یافته است. به عنوان مثال اطلاعات توصیفی مرتبط با ساخت سد (نظیر: سال ساخت، نوع، شیوه ساخت و...) و عملکرد سد (نظیر: حجم مخزن،

تواناییهای سیستم‌های هوشمند ما را قادر می‌سازد آنالیز اولیه را بصورت محاوره‌ای یا (Intervative) کامپیوتر انجام دهیم.

گام سوم

سیستم مبتنی بر اندازه‌گیری (Measurment based system) مختصات محاسبه شده، اندازه‌ها را ذخیره می‌کند و به هنگام کردن آن ساده است. این سیستم دو وظیفه مهم را دربر می‌گیرد:

۱- نگهداری اندازه‌ها

این اندازه‌ها، هم شامل تمام اندازه‌های برداشت شده نظیر زویای افقی، فواصل افقی، امتدادها و آزمیوتها و ... می‌باشد، هم اندازه‌های مشتق شده (مقادیری که مستقیماً قابل اندازه‌گیری نیستند) نظیر مختصات نقاط کنترل که از سیستم‌های دیگر مانند نجوم، سیستم‌های تعیین موقعیت ماهواره‌ای و ... به دست می‌آیند را در بر می‌گیرد. این وظیفه توسط پایگاه بازیابی اطلاعات می‌شود که اجازه ذخیره‌سازی و بازیابی اطلاعات را می‌دهد.

روشن است که نگهداری این داده‌ها به صورت دستی و روی کاغذ چه حجم عظیم کاری را لازم دارد و در نهایت حتی وارد کردن آنها در فرمهای موجود در کامپیوتر علیرغم کاهش حجم بایگانی، استفاده از آنها را منوط به استخراج اطلاعات از فرمها توسط انسان و آنالیز آنها به شیوه‌های موجود می‌نماید که در عمل غیرکارا می‌باشد.

۲- محاسبه مختصات

برنامه تعدیل (Adjustment) وظیفه تعدیل همزمان اندازه‌ها یا پارامترهای وزن دار را بر عهده دارد. فن استفاده از پارامترهای وزن دار،

شناسایی و تعیین خطر وقوع لغزش با توجه به جنس لایه‌ها و نزدیکی به گسل‌ها لایه‌ای را می‌سازد.

همچنین از انسجام مدل رقومی زمین و سیستم اطلاعات جغرافیایی مدل رقومی ارتفاعی نتیجه می‌شود و در روش‌های مورداستفاده قرار می‌گیرد که نقاط با اختلاف ارتفاع کم است.

همپوشی (Overlay) لایه‌های فوق و استخراج لایه‌ای که از تالیف تمام لایه‌های مورداستفاده بوجود می‌آید نمایانگر سه ویژگی مهم سرعت، دقت، قابلیت سیستم اطلاعات جغرافیایی در استنتاج بهینه از داده‌های جدید است:

گام دوم

سیستم هوشمند (Expert System) که از علوم نوپا در رشته کامپیوتر محسوب می‌شود، دربرگیرنده روشها و تکنیکهایی است که قدرت درک، تجزیه و تحلیل و یادگیری را در کامپیوتر امکان‌پذیر می‌سازد و از طریق فرآیندی بنام مهندسی علوم ساخته و پرداخته می‌شود. این سیستم باید دارای دو ویژگی باشد: منطقی بودن (Logic Based) و شی‌گرایی (Object Oriented). پایه منطقی و استقلال اطلاعات نسبت به هم شرط عدم وجود تناقض در استنتاج سیستم می‌باشد.

آنالیز اولیه دقیق که برای انتخاب خطوط نهایی مورد اندازه‌گیری، روش اندازه‌گیری و دقت مورد نیاز اندازه‌گیری و نهایی کردن طرح هندسی شبکه لازم است، بسیار مهم می‌باشد زیرا روشها و وسائل پیشنهادی علاوه بر اینکه باید از نظر اقتصادی بهینه باشند باید دقت‌های مورد درخواست شبکه را با حداقل مشاهدات و به کار بردن ساده‌ترین وسائل و تکنیکهای ممکن نقشه‌برداری نیز تأمین نمایند.

و جود دارد. لذا در بازیابی و استفاده از داده‌ها و اطلاعات تا حد زیادی خطأ و اشتباه انسانی حذف می‌گردد و اطلاعات در فرمت مشخص به پایگاه داده‌ها وارد می‌شود. پس دسترسی به تمام یا قسمتی از اطلاعات امکان‌پذیر است. در حالیکه با افزایش حجم داده‌ها در سیستم سنتی هزینه دسترسی و بازیابی اطلاعات بالا می‌رود و نیز سرعت دسترسی کاهش می‌باشد تا جاییکه از برخی اطلاعات بخاطر وقت‌گیر بودن دسترسی بدان استفاده نمی‌شود.

با توجه به تواناییهای فوق پیش‌بینی می‌شود که این سیستم پاسخگوی سوالات بسیاری باشد نظیر برنامه‌ریزی و تجزیه و تحلیل اولیه جهت پروژه‌های مختلف نقشه‌برداری در امور انتخاب وسایل اندازه‌گیری مورد نیاز از بین چندین نوع دستگاه طولیاب و زاویه یاب و ترازیاب و گزینش روشها و تکنیکهای محاسباتی مختلف. در مرحله محاسبه نیز از پایگاه داده‌ها برای حفظ اندازه‌ها در قالب سیستم بر اساس اندازه‌ها استفاده می‌شود و نتایج به صورت فایلهای هندسی، توصیفی رقومی ارایه می‌گردد.

چهارگام

برای ایجاد و استفاده از یک شبکه میکروژئودزی باید مراحلی را سپری کرد که در قالب چهار گام تشریح شده است.

گام اول

در این مرحله نقاط کنترل پروژه انتخاب می‌شوند. در روش‌های سنتی عملیات شناسایی با توجه به عوامل دید و فواصل بر حسب درجه شبکه و اجتناب از زوایای کوچک بصورت تقریبی و وقتگیر انجام می‌شود. در حالیکه می‌توان هریک از عوامل فوق را در قالب یک لایه اطلاعاتی نمایش داد. مثلاً ایجاد بافر (Buffering) روی نقشه زمین شناسی برای

ممکن است در پروژه‌های مختلف از جمله بحث حاضر به کار رود.

هریک از مراحل فوق بطور جداگانه یا بصورت ترکیبی برای پروژه‌های مختلف از جمله کاداستر و... آزموده است ولی آزمودن آن برای موضوع خاص این بحث احتیاج به کار بیشتر دارد و می‌تواند بعنوان پیشنهادی برای تحقیقات بعدی مطرح باشد.

منابع

- ۱- مجموعه مقالات کنفرانس سیستم اطلاعات جغرافیایی ۱۵ اردیبهشت ۱۳۷۳ علی مشتاقزاده: هوش مصنوعی در سیستم‌های اطلاعات جغرافیایی.
- ۲- مجموعه مقالات دومین کنفرانس سیستم‌های اطلاعات جغرافیایی ۱۴ اردیبهشت ۱۳۷۴، عباس رجبی فرد: ادغام سیستم‌های اطلاعات جغرافیایی و مدل‌های رقومی زمین.
- ۳- جزوی درسی نقشه‌برداری ژئودتیک: علی اکبر عسگریان.
- ۴- نشریه نقشه‌برداری سال ششم شماره (پیاپی ۲۱)، علی‌اصغر روشن‌نژاد: دینامیسم در سیستم‌های اطلاعات جغرافیایی.

5-Expert System Principles and case studies RICHARD FORSYTH

6-Alex Goodall:An introduction to expert systems.

-7 Taher B.Buvong, Andrew U. Frank : Measurement-based Multi-purpose Cadastre National Center of GIS and Dept of Surveying Engineering University of Maine orono, ME 04469.

حتی اگر شبکه فاقد نقاط کنترل باشد، تعديل را ممکن می‌سازد.

مزایای سیستم

۱- بهنگام سازی آسان: اندازه‌های جدید را می‌توان اضافه نمود یا جایگزین اندازه‌های خطاطار قدیمی ساخت.

۲- امکان کار با شبکه ناتمام نقاط کنترل: این سیستم می‌تواند آغاز به کار کند، حتی اگر هیچ نقطه کنترلی در دسترس نباشد نقاط کنترل را می‌توان بعداً به سیستم وارد نمود، یا تبدیل نقاط دقیق نقشه‌برداری و کاداستر به نقاط کنترل یا با بناهادن نقاط کنترل جدید کار ادامه یابد.

۳- بهبود دقت در طول زمان

ورود اطلاعات به صورت زمانمند در سیستم از بحث‌های تو در مورد اطلاعات زمین مرجع می‌باشد و در این راستا باید گفت اطلاعات جغرافیایی از جمله شکل پوسته زمین و نقاط کنترل زمانمند هستند به این معنی که در گذر زمان تغییر می‌کنند. صحبت در مورد اطلاعات زمینی بدون بحث درباره زمان این اطلاعات امری غیرممکن است.

داده‌های جغرافیایی با سه مولفه موضوع، موضع و موقع از یکدیگر قابل تفکیک و تمایزآمد و لیکن مولفه زمان داده‌ها تاکنون کمتر مورد توجه واقع گردیده است.

مداخله زمان بعنوان بعد چهارم در GIS بسیار با اهمیت است و در عین حال با پیچیدگی و مشکلات تکنیکی فراوان همراه است و از مباحث آتی این رشته می‌باشد.

در حوزه میکروژئوژی باید به اندازه‌گیری‌های انجام شده در دو دوره (Epoch) مختلف به صورت یک دسته داده در دو زمان متفاوت نگریسته شود. باید با عارضه موردنیت بصورت یک مفهوم مواجه شد و اینگونه با رها شدن از قیود مکان، حالت و زمان بتوان اجسام در حال حرکت را نیز در آنالیزهای متداول شرکت داد.

گام چهارم

تصاویری که نقشه‌ها و نمودارها از نمونه‌های بالقوه عوارض و مناظر بدست می‌دهند عاملی مهم در کمک به متخصصین و طراحان می‌باشند. در سیستم‌های اطلاعات جغرافیایی نقشه هم بعنوان منبع ابزار ورودی و هم بعنوان ابزاری برای نمایش خروجی سیستم نقش کلیدی بازی می‌کند.

قابلیتهاي تحلیل سه بعدی GIS آنرا از سیستم‌های گرافیکی دیگر نظیر کارت‌توگرافی به کمک کامپیوتر متعایز می‌سازد.

در حوزه خاص این بحث نیز می‌توان از قابلیتهاي ترسیمی سیستم استفاده نمود.

نتیجه

هدف از نگارش این مقاله آشنایی علاقمندان گرامی با ابزارها و فنونی است که



از آنالوگ تا رقومی

- استخراج اطلاعات فضایی از تصاویر با فنون فهم تصویر شامل تشخیص خودکار ساختمانها، جاده‌ها و ...
- تحلیل پویای تصاویر اشیاء متحرک با استفاده از فنون دید ماشینی (machin vision)

س : سازماندهی کنگره ISPRS یک فعالیت بزرگ است
تعداد مردانه انتظار شرکت کنندگان و غرفه‌های نمایشگاه چقدر است؟

دکتر مورای : تعداد مردانه انتظار شرکت کنندگان حدود ۲ تا ۳ هزار نفر می‌باشد. من امیدوارم که وین مهمترین محل برای دانشمندان اروپای ISPRS شرقی، شامل کشورهای بلوک شوروی سابق، باشد تا در کنگره شرکت کنند. تعداد شرکتهای تجاری دارای غرفه حدود ۱۰۰ شرکت خواهد بود که مشتمل است بر دورکاوی، GPS، GIS، زیبودزی، دید ماشینی، فتوگرامتری، فروشنده‌گان سخت‌افزار و نرم‌افزار و شرکتهای مشاوره.

س - وقتی با شما برای شماره دسامبر ۱۹۹۴ مجله GIM مصاحبه کردیم، بسیار روشی بیان کردید که دامنه کنگره تنها محدود به فتوگرامتری و دورکاوی نیست پس ISPRS نمایانگر چیست؟

دکتر مورای : شورای کنگره پیشنهاد اصلاح تشکیلات و آئین نامه‌ها را در مورد تعریف و ماموریت ISPRS ارائه می‌دهد تا پوشش آن نه فقط فتوگرامتری و دورکاوی بلکه سیستمهای اطلاعات فضایی، عنوان سیستمی که ISPRS باید نماینده‌اش باشد، را نیز در برگیرد.

س - به عقیده شما تغییر عمدۀ جهت‌گیری‌های ISPRS از واشنگتن ۱۹۹۲ تاکنون چه بوده است؟
چگونه این تغییر جهت در وین ۱۹۹۶ منعکس می‌گردد؟

دکتر مورای : ISPRS با یک تغییر جهت فنی مواجه است که به موجب آن ارائه موضوعات GIS افزایش می‌یابد و نیز موجب تغییرات سازمانی می‌گردد. در صورت تایید مجمع عمومی عضویت پیوسته (association) مورد پذیرش قرار خواهد گرفت.

هم اکنون عضویت محدود است به یک سازمان به عنوان نماینده هر کشور یا منطقه که این امر از شرکت گسترده‌تر خصوصاً در شاخه‌هایی غیر از فتوگرامتری، جلوگیری می‌کند.

س : یک وجه بزرگ کنگره ISPRS نمایشگاه می‌باشد. این بار نمایشگاه در طول تمام مدت بروایی کنگره دایر نخواهد بود چرا؟

MSC : مصاحبه GIM با آقای دکتر شونجی مورای رئیس کنگره ISPRS

نقل از : GIM-July 1996

ترجمه : مهندس مهدی مجیدآبادی، کارشناس سازمان نقشه‌برداری

زنگینی‌امه

دکتر شونجی مورای دارایی دکترای مهندسی است و در حال حاضر رئیس کنگره بین‌المللی فتوگرامتری و دورکاوی (ISPRS)، و دیرکل انجمان آسیایی سنجش از دور، رئیس انجمان دورکاوی ژاپن، استاد موسسه صنعتی هنوم وابسته به دانشگاه توکیو می‌باشد. وی در رشته مهندسی عمران از دانشگاه توکیو در ۱۹۶۳ فارغ التحصیل شده و دکترای خود را در سال ۱۹۷۰ با تزیی در موضوع مدل رقومی زمین (DTM) دریافت کرده است. دکتر مورای متخصص در رشته‌های دورکاوی، GIS، فتوگرامتری و DTM است.

این مصاحبه در چهارچوب هجدهمین کنگره فتوگرامتری و دورکاوی ISPRS که از نهم تا نوزدهم ژوئیه برگزار گردید هدایت شده است که در آن پیشرفت در دورکاوی و فن اطلاعات جغرافیایی در مواردی مانند موردهای زیر عرضه وارانه می‌گردد:

- طرحی برای تصویربرداری با قدرت تفکیک بالا (۱ تا ۳ متر روی زمین)؛
- سنجش تداخل امواج با سیستم رادار با روزنه ترکیبی (Syntetic Aperture Radar-SAR) برای تولید مدل ارتفاعی رقومی (DEM)؛
- نقشه‌برداری ژئودئیک حرکات زمین مربوط به زمین لرزه‌ها؛
- جاروبگر (Scanner) لیزری در هوایما با سیستم تعیین موقعیت جهانی (GPS) و سیستم هدایت داخلی (INS)؛
- سیستم تهیی نقشه متحرک با دوربین‌های CCD و GPS/INS؛

می‌توانم لغات ژئواینفورماتیک را پذیرم. اما تغییر رسمی نام انجمن، باید بر اساس موافقت عمومی بیش از ۷۵٪ اعضاء باشد.

س - تحصیلات و آموزش نسل بعدی فتوگرامتریست‌ها، ریاضیات کمتر و توجه به فنون مدیریت اطلاعات و مهارت‌های ارتباطی را می‌طلبد. نظر شما درباره جهت آینده آموزش فتوگرامتری چیست؟

دکتر مورای: این مسئله خیلی جدی نیست اما تعادل بین ریاضیات یا تئوریها و نرم‌افزارهای جعبه سیاه (جادویی) مسئله‌ای مهم است. باید پذیرفت که باید با برخی از قسمتها به عنوان جعبه سیاه مواجه شویم. زیرا چیزهای بسیاری داریم که آموزش دهیم. وقت مناسبی است که نه تنها برنامه آموزشی را تغییردهیم بلکه متن کتابهای درسی را برای تطبیق با تغییرات مورد اشاره دگرگون سازیم. من هم اکنون با همکاری دیگر اعضاً دانشکده برای تغییرساختار آموزش نقشه‌برداری در ژاپن شامل فتوگرامتری، دورکاوی و GIS فعالیت می‌کنم.

من در حال نگارش و تصحیح کتاب **GISWorkbook** به دوزبان انگلیسی و ژاپنی و کتاب **Spatial Information Processing** به زبان ژاپنی هستم که جایگزین کتابهای درسی سنتی نقشه‌برداری شود.

س: امروزه مانع اصلی در راه افزایش داده‌های زمینی به صورت رقومی چیست؟

دکتر مورای: چندین مانع وجود دارد که از سیاست داده‌های رقومی باز جلوگیری می‌کند: حق طبع و نشر، تولید و تکثیر غیرقانونی، کنترل نظامی در کشورهای در حال توسعه و آسیا، موانع و ناهمانگی‌های بین سازمانهای دولتی و همچنین بین سازمانهای دولتی و بخش خصوصی، هزینه و سرعت رقومی کردن (بسیار هزینه‌تر و بسیار کند است) و نیز نمایش تبلیغی بسیار کم از GIS‌های موفق.

س: آیا شما درباره اینکه موضوع 2000 ISPRS چه باشد نظری دارید؟

میزبان کنگره 2000 ISPRS موضوع را در مشاوره با مجمع تعیین خواهد کرد. بنابراین من واقعاً در جایگاه پیش‌بینی آن نیستم، اما موضوع به سوی زیرسازی اطلاعات فضایی (Toward Spatial Information Infrastructure) را پیشنهاد می‌کنم.

دکتر مورای: نمایشگاه فقط برای نیمه دوم کنگره، یعنی پنج روز، از ۱۵ تا ۱۹ ژوئیه ۱۹۹۶، برپا خواهد بود که این به دو علت است. غرفه‌داران زمان کوتاه‌تر را به خاطر هزینه کمتر ترجیح می‌دهند.

- همچنین زمان کمتر، اجازه می‌دهد که روی مطالب فنی ارائه شده در نیمه اول کنگره تمرکز بیشتر حاصل شود.

س: برخی از اصول فتوگرامتری به قبیل، به دوران پیش از عکاسی بر می‌گردد، اما همواره اجرای اصول، در عمل نیازمند ابزار فنی است شما مؤثرترین مانع فنی فتوگرامتری در قرن حاضر را چه می‌بینید؟

دکتر مورای: ما نمی‌توانیم به عقب برگردیم و به فتوگرامتری آنالوگ برسیم. اما مطمئناً با فتوگرامتری رقومی برای رسیدن به سیستم‌های تهیه نقشه کاملاً خودکار مشکلاتی خواهیم داشت. من فکر می‌کنم تولید خودکار DEM تقریباً از لحظه عملی کامل است اما هنوز به تهیه نقشه مسطحاتی خودکار دست نیافرداشیم. مخصوصاً وارد کردن داده‌ها برای نقشه‌های توپولوژی و مسطحاتی بصورت خودکار. جهت پیشروی ما باید به سوی فهم تصاویر برای استخراج خودکار عواض هندسی از داده‌های عکسی رقومی باشد.

س: از آنجاکه گسترش فنون رقومی در تمام جنبه‌های اطلاعات زمینی آغاز شده است، مربوطندی بین سیستم‌ها اگر حذف نشود تغییر خواهد کرد. آیا منطقی است که باز به فتوگرامتری، دورکاوی و GIS رجوع کنیم یا هنگام آن است که آین کلمات تجاری آشنا را با واژه‌ای بهنگام‌تر نظیر "ژئوماتیک" و "ژئواینفورماتیک" جایگزین نماییم؟

دکتر مورای: این سوال خوب ولی حساس است. من احساس می‌کنم که نقشه‌برداری سنتی و فتوگرامتری آنالوگ ماندنی نیستند. نسل جوان بیشتر علاقمند فنون رقومی‌اند. ما باید تغییرات را پذیریم: تغییر از آنالوگ به رقومی، از نقشه‌برداری هوایی به دورکاوی فضایی، از محیط کاغذی، به محیط الکترونیک از اندازه‌گیریهای ساکن به اندازه‌گیری پویا، از یک سیستمی به چند سیستمی، از عملیات دستی به عملیات خودکار و از سیاست داده‌ای بسته به سیاست باز.

حداقل ترکیبی از دورکاوی و GIS جالب‌تر از فتوگرامتری و دورکاوی است. ژئوماتیک یا ژئواینفورماتیک احساس تازه‌ای را به نسل نو القا می‌کند که می‌توان منتظر نیازهای جدید و بازار جدید بود. من شخصاً

■ گزارش خبری ■

■ گزارش خبری ■

■ گزارش خبری ■

■ گزارش خبری ■

گزارش ماموریت هیئت اعزامی سازمان نقشه‌برداری کشور به اتریش

گردید که اعضای هیئت ایرانی نیز در این کلاسها شرکت نمودند. مقالات پذیرفته شده در این کنفرانس به دو صورت شفاهی و پوستر ارائه شد. ارائه مقالات در شش سالن به صورت همزمان و فشرده به تفکیک گروههای کاری هفت کمیسیون ISPRS انجام گرفت. هفت کمیسیون کاری این انجمن که در زمینه‌های مختلف فعالیت می‌نمایند عبارتند از:

- کمیسیون یک - سکوهای سنجنده و تصویربرداری؛
- کمیسیون دو - سیستم‌های پردازش، تجزیه و تحلیل و نمایش داده‌ها؛
- کمیسیون سه - تئوری‌ها و الگوریتم‌ها؛
- کمیسیون چهار - تهیه نقشه و GIS؛
- کمیسیون پنج - فتوگرامتری زمینی و بینایی ماشین؛
- کمیسیون شش - مسائل آموزشی، اقتصادی و حرفه‌ای و
- کمیسیون هفت - کنترل منابع و محیط زیست.

۲- کلاس‌های آموزشی

ده کلاس آموزشی در روزهای ۱۸ و ۱۹ تیرماه در زمینه‌های زیر به صورت تمام روز و نیم روز برگزار گردید. این کلاس‌های آموزشی عبارت بودند از:

1- International Society of Photogrammetry & Remote Sensing

در تاریخ شانزدهم تیر ماه سال جاری (۶ ژوئیه ۱۹۹۶) هیئتی از سازمان نقشه‌برداری کشور به سرپرستی آقای مهندس شفاعت معاون سازمان برنامه و بودجه و رئیس سازمان نقشه‌برداری کشور به همراه خانم‌ها نوشین خورستنیان کارشناس قسمت پردازش تصاویر، نادیا شهریاری کارشناس قسمت کارتوگرافی رقومی، آقایان محمد سرپولکی مدیر امور نقشه‌برداری هوایی، سعید نوری معاون مدیریت سیستم‌های اطلاعات جغرافیایی، مهرداد جعفری سلیم سرپرست قسمت پردازش تصاویر مدیریت نقشه‌برداری هوایی و فرشاد حکیم پور دانشجوی کارشناسی ارشد سازمان در ITC هلند به شهر وین در کشور اتریش عزیمت نمود. هدف از این ماموریت، شرکت در هجدهمین کنفرانس بین‌المللی فتوگرامتری و سنجش از دور (ISPRS) و کلاس‌های آموزشی، شرکت در جلسات مجمع عمومی کنفرانس، ارائه مقالات، برپایی نمایشگاهی از آخرین دستاوردهای سازمان نقشه‌برداری، دریافت جایزه ادوارد دولزال و انجام بازدیدهای فنی بود. این ماموریت به شرح زیر انجام گرفت:

۱- شرکت در کنفرانس

هجدهمین کنفرانس (ISRPS)^۱ از هشتاد سال برای بار دوم در شهر وین با عنوان اطلاعات فضایی از تصاویر به مدت ۱۳ روز برگزار گردید. علاوه بر برگزاری کنفرانس، کلاس‌های آموزشی در زمینه‌های مختلف فتوگرامتری رقومی، ارتوفو، DTM، پردازش تصاویر و سنجش از دور و GIS در روزهای ۱۸ و ۱۹ تیرماه برگزار

- ۱- کمیسیون یک: کشور هند
- ۱-۱- علوم و تکنولوژی ،
 - ۱-۲- ارزیابی کیفیت تصاویر،
 - ۱-۳- استانداردها،
 - ۱-۴- ناوبری و توجیه سنجنده،
 - ۱-۵- سنسورهای تصاویر رقومی،
 - ۱-۶- سنسورهای میکروویو،
 - ۱-۷- اسکن کردن و
 - ۱-۸- پردازش، ذخیره و توزیع تصاویر.
- ۲- کمیسیون دو: کشور انگلستان
- ۳- کمیسیون سه: کشور آمریکا
- ۴- کمیسیون چهار: کشور آلمان
- ۱-۱- کالیبراسیون و توجیه سنجندهای مجتمع،
- ۱-۲- تئوری و مفهوم تشخیص اشیا و درک تصویر،
- ۱-۳- الگوریتمها و ابزار،
- ۱-۴- جنبه‌های مفهومی تکنولوژی GIS و SAR.
- ۱-۵- تئوری و الگوریتم.
- ۱-۶- داده‌های GIS و کاربردها،
- ۱-۷- تهیه نقشه‌های بین‌المللی از فضا،
- ۱-۸- بازنگری نقشه و بانک اطلاعات،
- ۱-۹- مدل‌های رقومی زمین و تصاویر ارتوپتوی رقومی .
- ۱-۱۰- تهیه نقشه به روش فتوگرامتری زمینی و
- ۱-۱۱- GIS و سیستم‌های هوشمند برای بانکهای اطلاعات محیط زیست جهانی.
- ۱- تلقیق و توجیه سیستم‌های سنجنده
- ۲* - دید کامپیوترا در فتوگرامتری و سنجش از دور جهت تهیه نقشه اتوماتیک
- ۳* - تکنولوژی کار با حجم زیاد داده‌های فضایی
- ۴ - سیستم‌های تصویربرداری هواشناسی و کاربردهای آن
- ۵* - تکنولوژی پیشرفته GIS
- ۶ - فتوگرامتری رقومی در تصاویر مقیاس کوچک
- ۷* - ارتوپتو رقومی و کاربرد آن در تهیه نقشه‌های توپوگرافی
- ۸ - کیفیت تصاویر
- ۹ - هندسه عکسی برای تجزیه و تحلیل هندسه تصاویر
- ۱۰* - جنبه‌های مفهومی تکنولوژی GIS
- اعضای هیئت در پنج کلاس آموزشی ردیف‌های ۲، ۳، ۴، ۵ و ۷، ۸، ۹، ۱۰ که با علامت * متمایز گردیده شرکت کردند.
- ۳- مجمع عمومی اعضای انجمن جهانی فتوگرامتری و سنجش از دور ISPRS
- انجمن جهانی فتوگرامتری که از سال ۱۹۱۰ توسط ادوارد دولزال به عنوان انجمن جهانی فتوگرامتری تشکیل گردید در سال ۱۹۸۲ به انجمن جهانی فتوگرامتری و سنجش از دور تغییر نام یافت.
- در این انجمن در حال حاضر ۹۸ کشور عضویت دارند که در جلسات مجمع عمومی به عنوان عضو عادی شرکت می‌نمایند. سازمان نقشه‌برداری کشور نیز به عنوان نماینده جمهوری اسلامی ایران در این انجمن عضویت دارد. علاوه بر اعضای عادی، تعدادی از موسسات و سازمانهای دولتی و غیردولتی دیگر نیز به عنوان عضو افتخاری وابسته و حمایت کننده در این انجمن عضویت دارند. در جلسات مجمع عمومی تصمیم‌گیریهای مربوط به انتخاب اعضای هیئت ریسی، محل برگزاری کنفرانس، ریاست کمیسیونهای مختلف و محل برگزاری این کمیسیون‌ها، موضوعات تحقیقاتی گروههای کاری، تغییرات اساسنامه و مقررات و غیره بر اساس آراء اعضا انجام می‌گیرد. اهداف و مسئولیت‌های ریاست کمیسیون‌های مختلف و برنامه‌های گروههای کاری در چهار سال آینده بر اساس تصمیمات مجمع عمومی به شرح زیر می‌باشد:

مقاله دهنگان به دلایل مختلف موفق به شرکت در کنفرانس و ارایه مقاله نگردیدند. از بین مقالات تصویب شده، سه مقاله زیر متعلق به کارشناسان سازمان نقشه‌برداری کشور بود:

- ۱- بهینه سازی مدل ارتفاعی زمین با استفاده از تصاویر ماهواره‌ای.
- ۲- بهبود طبقه‌بندی انواع پوشش زمین در تصاویر چندطیفی Spot به کمک مدل رقومی زمین و عکس‌های هوایی.
- ۳- روش کنترل کیفی در تهیه نقشه رقومی به روش فتوگرامتری.
- ۴- مقالات ردیف‌های یک و دو توسط خود کارشناسان مربوطه در کنفرانس ارائه گردید.

۵- کمیسیون پنج: کشور ژاپن

- ۱- کالیبراسیون و کارآیی سیستم‌های تصاویر سه بعدی نزدیک،
- ۲- تجزیه و تحلیل تصاویر،
- ۳- توسعه کاربرد روشهای فتوگرامتری در پزشکی،
- ۴- مدلسازی برای نمایش و Virtual Reality
- ۵- میراث فرهنگی جهانی،
- ۶- تلفیق سیستم‌های فتوگرامتری در CAD/CAM و
- ۷- تشویق کاربران و کاربران توانمند.

۶- کمیسیون شش: کشور اندونزی

- ۱- گزارش اعضا،
- ۲- آموزش به کمک کامپیوتر،
- ۳- استفاده مشترک از داده‌های فضایی و
- ۴- امکانات اینترنت.

۷- کمیسیون هفت: کشور مجارستان

- ۱- اندازه‌گیری‌های فیزیکی و مشخصات،
- ۲- کنترل منابع و محیط زیست با استفاده از SAR،
- ۳- منابع تجدید شونده،
- ۴- کنترل زمینی اکوسیستم و
- ۵- تغییرات جهانی.

بر اساس رای‌گیری و تصویب مجمع عمومی، کشور هلند (شهر آمستردام)، که به همراه کشور اندونزی داوطلب برگزاری نوزدهمین کنفرانس در سال ۲۰۰۰ بود، به عنوان محل برگزاری کنفرانس آئی انتخاب گردید.

۸- بازدیدهای فنی

طی این کنگره، فعالیتهای کشور اتریش در زمینه‌های فتوگرامتری و سنجش از دور در ده بازدید فنی معرفی شد: اعضای هیئت در بازدیدهای ردیف‌های ۱۰۲ و ۱۰۴ شرکت نمودند:

- ۱*- اداره هواشناسی و نقشه‌برداری (بخش تهیه نقشه)،
- ۲*- دانشگاه تکنولوژی وین،
- ۳- دانشگاه کشاورزی، جنگلداری و منابع طبیعی وین،
- ۴*- بخش نقشه‌برداری دانشگاه وین،

۹- ارائه مقالات

روی هم رفته تعداد یازده مقاله، از مقالاتی که از طرف محققین ایرانی داخل و خارج از کشور به کنفرانس ارائه گردیده بود، توسط هیئت برگزار کننده مورد تصویب قرار گرفت. تعدادی از

در کتابخانه سازمان موجود است. نسخی از آن تکثیر گردیده و در اختیار کتابخانه‌های دانشگاهها قرار داده شده است.

۱۰- دستاوردهای شرکت در کنگره

دستاوردهای شرکت هیئت اعزامی سازمان نقشه‌برداری کشور در کنگره را می‌توان به شرح زیر بیان نمود:

- اگاهی از جدیدترین دستاوردهای علمی جهان در زمینه فتوگرامتری و سنجش از دور و GIS
- آشنایی با جدیدترین محصولات تکنیکی و فنی که در نمایشگاه کنگره ارائه شد.

معرفی جمهوری اسلامی ایران

هیئت اعزامی سازمان نقشه‌برداری کشور و دیگر متخصصین ایرانی که در کنگره شرکت داشتند با ارائه مقالات خود، فعالیتهای ایران را در زمینه فتوگرامتری، سنجش از دور و GIS ارائه نمودند. همچنین سازمان نقشه‌برداری کشور، با برپایی نمایشگاهی، آخرین دستاوردهای خود را در زمینه تهیه نقشه به نمایش گذاشت.

در کنار شرکت در جلسات فنی، بازدید از نمایشگاه، شرکت در کلاسهای آموزشی و بازدیدهای فنی، همچنین مذاکرات جانبی با متخصصین و کارشناسان سازمانهای نقشه‌برداری چند کشور انجام گرفت که طی آن بحث و تبادل نظر در زمینه روشهای و دستگاههای تهیه نقشه و سیاستهای کلی سازمان به عمل آمد.

- همچنین سازمان نقشه‌برداری کشور به عنوان عضو این انجمن در جلسات مجمع عمومی شرکت نمود و در تصمیم‌گیریهای انجمن مداخله مستقیم داشت.

- در مجمع حضور گسترده و فعال متخصصین و کارشناسان ایرانی در این کنگره بسیار چشمگیر بود بطوریکه ریاست کنگره ضمن ابراز تعجب، شرکت فعالانه کارشناسان ایرانی در سخنرانیها و نمایشگاه و مجمع عمومی کنگره را مورد تشویق قرار داد.

۵- موسسه تاریخی (آرشیو هوایی)

۶- آژانس محیط زیست اتریش ،

۷- خطوط راه‌آهن اتریش ،

۸- سرویس نقشه‌برداری Peter Schmid

۹- کارخانه نیروی آب Freudenau ،

۱۰- سفر علمی به شهر گراتز و بازدید از موسسه تحقیقاتی و آموزشی .

۷- جایزه ادوارد دولزال

برای ارج گزاری به مقام بر جسته علمی و اجتماعی بنیانگذار انجمن ISPRS ادوارد دولزال وزارت علوم، حمل و نقل و هنر اتریش تصمیم به اهداء جوایزی برای اولین بار در کنگره گرفت. این جوایز به افرادی از کشورهای در حال توسعه تعلق گرفت که فعالیتهای موفقیت‌آمیزی در زمینه کاربردهای فتوگرامتری، سنجش از دور و GIS داشته‌اند و در محل دانشگاه تکنولوژی وین به برندهای این جوایز اهدا شد. یکی از ۶۲ جایزه‌ای که به ۲۵ کشور مختلف اهدا گردید، به سرکار خانم مهندس نادیا شهریاری عضو هیئت اعزامی از سازمان نقشه‌برداری کشور تعلق گرفت.

۸- تعداد شرکت کنندگان و مقالات

در این کنگره تعداد ۲۵۲۹ کارشناس و متخصص از ۱۰۴ کشور جهان و ۹۷ نمایشگاه حضور داشتند. آخرین دستاوردهای علمی و جدیدترین محصولات فنی طی ۱۳۶ جلسه فنی، که به طور موازی و همزمان برگزار می‌شد، ارائه گردید. در هر جلسه فنی بطور متوسط هشت مقاله و روی هم نزدیک به ۱۱۰۰ مقاله ارائه شد. در کنار این جلسات فنی، تعداد ۳۵ جلسه ارائه مقالات با پوستر انجام شد که در هر جلسه بطور متوسط دوازده مقاله و جمیعاً ۴۲۰ مقاله ارائه گردید.

۹- مجموعه مقالات کنگره

مجموعه مقالات کنگره در هفت جلد، هر جلد شامل مقالات یک کمیسیون فنی مربوط به انجمن انتشار یافت. این مجموعه مقالات، روی هم حدود ۵۰۰۰ صفحه می‌شود که یک نسخه از آن

گردد می‌توان این اطمینان را داشت که ممکن است تکنولوژی جدید به درستی هدایت شود یا از تکنولوژی جدید می‌توان بدرستی استفاده نمود. همچنین استفاده از استانداردهای موجود بدون هیچ تغییری در یک تکنولوژی جدید معمولاً پاسخگوی مشکلات احتمالی در آن تکنولوژی و یا استفاده از آن نخواهد بود چراکه گذشت زمان در انتظارات و نیازهای استفاده کنندگان و همچنین روشهای عمل و پردازش بر روی داده‌ها تاثیر می‌گذارد و مطالب تازه جایگزین دانسته‌های قدیمی می‌شود. لذا اهمیت استانداردسازی و اثر آن قبل از ظهور و بروز دشواریها روشن و نمایان می‌گردد.

در زمینه استانداردسازی GIS و حتی در زمینه‌های دیگر مرتبط با استانداردها تحقیقات فراوان می‌تواند صورت پذیرد چراکه پیدایش هر استاندارد تازه نیازمند پایه‌ای مفهومی قوی است. در این موارد مراکز دانشگاهی و تحقیقاتی می‌توانند به عنوان مراکزی که در گسترش استاندارد شرکت دارند نقش مهم ایفا نمایند.

به بیان دیگر استانداردها را می‌توان فرم دیگری از انتقال تکنولوژی دانست. وقتی برای حل یک مشکل، به کمک یک استاندارد بتوان پاسخ مورد قبول ارایه نمود و در این خصوص، پشتیبانی وسیعی از استانداردها را مشاهده کرد می‌توان این امر را به عنوان راهی که مقاومت در برابر تکنولوژی جدید را به حداقل برساند پذیرفت.

از سوی دیگر در زمینه‌های تکنولوژی وابسته، جدا از تکنولوژی GIS می‌توان به کمک یک رابط و واسطه (Interface)، ارتباط بین دو تکنولوژی را بخوبی برقرار نمود و دیگر استفاده کنندگان نیاز به داشتن تخصص کافی در زمینه GIS ندارند. چراکه رابط مورد استفاده، این مطلب را برای آنان حل می‌نماید. همچنین برای استانداردهای دیگر می‌توان مکانیزمی تدوین نمود که تغییرات مورد لزوم را اعمال نماید. در کل، استانداردها در GIS اطمینان و امنیت استفاده از تکنولوژی GIS را به همراه می‌آورند و به عبارت دیگر آنها را تضمین می‌کنند.

بالغ بر ده سال است که در زمینه استانداردسازی GIS و بیشتر بر روی گسترش استانداردهای تبادل اطلاعات کار می‌شود. چرا که اولین مطلب مهم در برقراری ارتباط بین موسسات مختلف به منظور مشارکت در ایجاد سیستم‌های اطلاعات جغرافیایی و همچنین استفاده از آنها، موضوع استانداردهای تبادل اطلاعات می‌باشد. این مورد حتی در سطح بین‌المللی به منظور برقراری

استانداردها و استانداردسازی در GIS

نوشته: مهندس عباس رجبی فرد

استانداردها و استانداردسازی GIS، اصطلاحی عمومی و کلی است. برای بسیاری از افراد استانداردهای GIS یعنی آن استانداردهایی که به آنها اجازه بددهد هر آنچه می‌خواهند بواسیله GIS انجام دهند و یا هر آنچه با آن امکان پذیر باشد را بتوانند بطور قانونی با کمترین تلاش انجام دهند.

اما به صورت بسیار ساده و کلی، استانداردها در GIS به دو بخش اساسی تقسیم می‌گردند. این دو بخش و استانداردهای مربوط به آنها عبارتند از تکنولوژی اطلاعات و داده‌های فضایی یا جغرافیایی (Spatial Data)، در این راستا به منظور ایجاد سهولت و توانایی استفاده از توابع یا قابلیت‌های (GIS Functionality) GIS ممکن است استانداردهایی در زمینه قبول کنیم یا به گسترش و یا به ایجاد استانداردهایی در زمینه تکنولوژی اطلاعات نیاز داشته باشیم. از طرفی دیگر تعریف، تشریح و یا پردازش‌های مورد لزوم بر روی داده‌های جغرافیایی نیاز به استانداردهای اطلاعات جغرافیایی و فضایی دارد. به عبارتی به منظور تعریف و تشریح عوارض و همچنین انجام عملیات و پردازش‌های مورد لزوم برای داده‌های جغرافیایی نیاز به استانداردهای اطلاعات جغرافیایی (Spatial data standards) می‌باشد.

استانداردها کلاً مطالب جدیدی نیستند. این مطالب ایده هنری تام (Henry Tom) یکی از اعضای کمیته استانداردهای اطلاعات جغرافیایی بین‌المللی (ISO/TC211) می‌باشد. به عقیده ایشان، آنچه در یک استانداردسازی و یا تعریف یک استاندارد جدید است مربوط می‌شود به دوباره کلاسه‌بندی، طبقه‌بندی و ایجاد تشکیلات از نظر میزان اهمیت مطالب. به بیان دیگر در یک استاندارد شاید عوارض در اولویت اول قرار گیرد و در استاندارد دیگر نسبت به کاربردهایی که از آنها انتظار می‌رود به آن عوارض درجه و وزن کمتری داده شود. نکته‌ای که از این مطلب می‌توان استنباط نمود این است که زمان در استانداردسازی بسیار مهم و حساس می‌باشد.

اگر در یک تغییر تکنولوژی استانداردها زود تعریف یا تدوین

ارتباط و استفاده از داده‌های مشترک که نفع عمومی دارد مطرح می‌باشد. حال بعد از ده سال تعداد زیادی استاندارد تبادل اطلاعات جغرافیایی (Spatial data exchanges standards) گسترش پیدا کرده است. اما برای اجرای بهینه کار، باید فقط یک استاندارد و یا یک استاندارد و زیر مجموعه‌هایی از آن، برای تبادل اطلاعات وجود داشته باشد. برای این منظور باید استانداردهای موجود با یکدیگر ادغام شوند، که برای انجام این مطلب نیاز به تدوین (GIS Standards Infrastructure) ساختار و تشکیلات مناسب می‌باشد.

تکامل یک فن آوری

سنجهش از دور برای تولید نقشه‌های توپوگرافی

ترجمه: مهندس محمد سرپولکی، مدیر امور فتوگرامتری سازمان نقشه‌برداری

در طول تاریخ تولید نقشه، تلاشی مداوم برای بهبود فن جمع آوری داده‌های توپوگرافی صورت گرفته است. گرچه روش‌های سنتی جمع آوری داده‌ها قادر به تامین درجه بالایی از دقت بوده اما به ندرت جوابگوی طبیعت در حال تغییر بوده است. بنابراین روش‌های جدید جمع آوری داده‌ها مورد توجه قرار گرفته است. با دورکاوی می‌توان حجم زیادی داده تولید نمود. هرچند عبارت دورکاوی عموماً به جمع آوری داده‌های ماهواره‌ای اطلاق می‌گردد؛ تولیدکنندگان نقشه استفاده‌های زیادی از داده‌های جمع آوری شده از ارتفاعاتی پایین‌تر (عکسبرداری هوایی) کرده‌اند.

از زمان پرتاب ERIS-1 در سال ۱۹۷۴، دورکاوی به عنوان فرصتی واقعی برای کارتوجرافی مطرح شده اما در واقع توفیق کامل نیافته است.

مدت زمان کوتاهی پس از اختراع عکاسی، ژئودزینی فرانسوی از آن به عنوان وسیله‌ای برای تولید نقشه استفاده نمود و در سال ۱۸۵۸ یک فرانسوی دیگر از کایت برای اولین عکسبرداری هوایی استفاده نمود.

مرحله بعدی دورکاوی با تکمیل هوایی سرعت پیدا کرد. اولین مثال ثبت شده از عکسبرداری، توسط هواییا مربوط به ویلبرایت در سال ۱۹۰۹ می‌باشد و اولین عکس هوایی مورد استفاده برای تولید نقشه، مربوط به منطقه بن‌قازی می‌باشد که در سال ۱۹۱۳ توسط کاپیتان تراadio قرار گرفته شده است.

جنگ جهانی دوم دورکاوی را به جلو راند.

جنگ جهانی اول ۱۹۱۴ تا ۱۹۱۸ پیشرفت‌های زیادی در پروازهای نظامی، تکامل دوربین هوایی مخصوص، تفسیر عکس و اصول اولیه هندسه عکس ایجاد نمود.

ساختار استانداردهای GIS

ایجاد ساختار و تشکیلات مناسب برای استانداردهای GIS باعث هدایت و ادغام استانداردهای موجود در این زمینه می‌شود. این امکان است شامل چندین سطح مختلف باشد برای نمونه می‌توان سطوح مختلف استاندارد از قبیل استانداردهای محلی، ملی، منطقه‌ای و بین‌المللی را بر شمرد که هر کدام خود دارای نوع مختلف برای گسترش استاندارد است. یکی بدنه اصلی استانداردها که همان استانداردهای رسمی می‌باشد و دیگری جزئیات استانداردها به منظور آماده سازی برای استفاده کنندگان. در نقاط مختلف جهان استانداردها و سطوح آنها از تنوع زیادی برخوردارند و گاه ممکن است فقط شامل استانداردهای منطقه‌ای و بین‌المللی باشند. مطلب قابل ذکر دیگر در این زمینه این است که معمولاً در تدوین سطوح مختلف استانداردها، افراد مختلف از بخش‌های گوناگون اعم از دولتی، خصوصی، دانشگاهی، تخصصی و تحقیقاتی مشارکت دارند.

در مجمع استاندارد جهانی، گروه مشاوران فنی در حال تدوین و سازماندهی استانداردهای گوناگون در زمینه اطلاعات جغرافیایی و ژئوماتیکی و بخصوص استانداردهای GIS هستند.

این گروه به ISO/TC211 موسوم است که دارای چند بخش کاری شامل بیست عنوان مختلف است که در نهایت، طی سه سال آینده استانداردهای ISO را در این زمینه شکل می‌دهد. این گروه از نمایندگان دوازده کشور عضو تشکیل شده و شش کشور نیز به عنوان کشورهای ناظر و پشتیبان و ارگانی شامل کنسرسیوم موضوع Open GIS می‌باشد.

کشور ما نیز اخیراً به عضویت گروه ISO/TC211 درآمده است و امید می‌رود در این گروه ایفاگر نقش مهمی باشد.

حد انتظار بود. یکی از توانایی‌های تصاویر ماهواره‌ای، در بهنگام کردن نقشه‌های توپوگرافی می‌باشد. متأسفانه بیشتر عوارض لازم، در نقشه‌هایی از این نوع به سختی قابل تشخیص‌اند، بویژه وقتی که این عوارض از مصالح محلی ساخته شده باشند.

مزیت قابل توجه داده‌های MSS امکان تشکیل موزاییک رقومی از مناطق وسیع بدون پوشش ابر بود. داده‌های MSS با وضوح نسبتاً پایین از نظر هندسی تصحیح می‌شوند و به قالب مجموعه‌ای از داده‌هایی که به راحتی قابل پردازش‌اند، در می‌آیند. چنین موزاییک رقومی تشکیل مبنا برای اطلس‌ها و نقشه‌هایی را می‌دهد که در آنها مناطق وسیعی از زمین را به تصویر درآورد.

سالهای پیشرفت

با پرتاب لنستهای ۱۹۸۴ تا ۱۹۸۲ و ۱۹۸۵^۱ تولیدکنندگان نقشه حداقل مبنایی از اطلاعات دورکاوی با وضوح قابل قبول ۳۰ متر به دست آوردند. با چنین وضوحی می‌توان از این داده‌ها برای تولید نقشه‌های ۱:۱۰۰ ۰۰۰ استفاده نمود. به عنوان مثال می‌توان از نقشه عکسی ۱:۱۰۰ ۰۰۰ برلین و نقشه پاریس نام برد که در مصر توسط دانشگاه فنی برلین تهیه شده‌اند. در حال حاضر نقشه‌هایی در مقیاس‌های مشابه در دست تولید می‌باشند. برای مقاصد تولید نقشه‌های توپوگرافی سنتی، زابطه بین ابعاد پیکسل^۲ داده‌های لنستهای TM و شناسایی عوارض توپوگرافی نسبتاً ناشناخته‌اند. در صورتی که کنترast خوبی وجود داشته باشد، عوارضی مانند روذخانه یا جاده در زمینه‌ای از رستنی‌ها بخوبی قابل تشخیص است.

چنین وضعی در داده‌های MSS نیز وجود دارد. بویژه در شبکه راههای مناطق شهری. به رغم وجود این مسئله، داده‌های TM بصورت گسترده برای مقاصد اولیه تولید و بازنگری نقشه و آشکارسازی تغییرات مورد استفاده قرار گرفت. عامل اصلی که کاربرد موثر استفاده از داده‌های TM را برای تولید نقشه‌های توپوگرافی محدود می‌سازد، نبودن تصاویر برجسته واقعی می‌باشد.

1- Multi Spectral Scaner System

2- Pinel

در فاصله بین جنگ‌های جهانی اول و دوم، پیشرفت‌های علمی و فنی زیادی انجام گرفت که در آن میان پیشرفت تهیه نقشه بوسیله فتوگرامتری نسبتاً کند بود. از علت‌های این امر، می‌توان مقاومت تولیدکنندگان سنتی نقشه و فنون مربوطه را نام برد.

طی دوره جنگ جهانی دوم ۱۹۳۹ تا ۱۹۴۵ ساختار کلی توسعه دورکاوی به شکل کنونی تغییر یافت. در خلال این دوره پیشرفت‌های زیادی در زمینه‌های پروازهای با ارتفاع بالا، توسعه وسایل فتوگرامتری، تصویربرداری راداری، تصویربرداری حرارتی و محاسبات الکترونیکی حاصل گردید.

بسیاری از این پیشرفت‌ها در دوران جنگ به صورت تکمیل شده و پالایش یافته در اختیار تولیدکنندگان غیرنظامی نقشه قرار گرفتند.

سالهای اولیه

دورکاوی ماهواره‌ای ابتدا به ساکن (با پرتاب ERTS-1 در سال ۱۹۷۴) مقادیر داده‌های لازم برای تولید نقشه‌های توپوگرافی کرده.

این اطلاعات هرگز برای یک سیستم کارتوگرافی طراحی نشده بودند، اما در دسترس بودن اطلاعات جهانی به دست آمده از سیستم جاروب کننده چندطیفی^۱ MSS توجه تعداد زیادی از تهیه کنندگان نقشه را به خود جلب کرد.

تجارب زیادی خصوصاً در زمینه تولید نقشه‌های عکسی انجام گرفت و اولین نقشه عکسی به مقیاس ۱:۱ ۰۰۰ ۰۰۰ در سپتامبر ۱۹۷۴ از دریاچه Tahoe از ایالات متحده آمریکا تهیه شد. این پروژه با استفاده از اطلاعاتی انجام گرفت که در اولین روز پس از پرتاب ERTS-1 به دست آمده بود. اولین پروژه نقشه عکسی دیگر، به تهیه نقشه کارتوگرافی با خطوط شبکه به مقیاس ۱:۵۰۰ ۰۰۰ از منطقه خلیج Chesapeake در نیوجرسی منتهی شد که در معرض فروش عمومی نیز قرار گرفت. تحقیقات اولیه در مورد دقت‌های مهندسی و کارتوگرافی داده‌های MSS حاکی از آن بود که این داده‌ها دقت‌های لازم برای استاندارد نقشه‌های ۱:۵۰۰ ۰۰۰ را برآورده می‌کنند. تفسیر عوارض خطی و تهیه نقشه از این داده‌ها پایین تر از

داده‌هایی با وضوح بالا

متر می‌باشند. این تصاویر را می‌توان بدون از دست دادن تعدادی قابل توجه کیفیت تا مقیاس $1:10000$ بزرگ نمود که برای بازنگری نقشه بسیار مناسب می‌باشند. اگرچه دقت‌های مسطحاتی این تصاویر فوق العاده است دقت اندازه‌گیری ارتفاعی آن‌ها برای ترسیم داده‌های ارتفاعی نقشه‌هایی با مقیاس بزرگتر از $1:10000$ مناسب نمی‌باشد.

اگرچه با از دست دادن لندست ۶ برنامه‌های لندست با مشکلات زیادی مواجه گشت، ممکن است اقدامات اولیه، در بدست آوردن تصاویر ماهواره‌ای با وضوح بالا، بار دیگر از ایالات متحده با سه شرکت که دارای مجوز ایجاد تصاویر با وضوح یک متر آغاز گردد. در طراحی لندست ۷ و اسپات، سنجنده‌هایی با وضوح بالا پیش‌بینی شده است.

سنجنده‌های اسپات، با وضوح 10 m قادر به برآورده کردن نیازهای نقشه‌های توپوگرافی (حداقل برای مقیاس $1:100000$) می‌باشد. بنابراین به نظر می‌رسد سنجنده‌های پیشرفته‌تر آینده قادر خواهند بود دورکاوی را به عنوان وسیله‌ای در تولید داده‌های بیشتر برای تولید نقشه‌های توپوگرافی معرفی نماید.

وقتی این داده‌ها با آخرین نسخه‌های فن‌آوری رقومی و نرم‌افزارها ترکیب شود محصولات بدست آمده، سرمایه‌گذاری موسسات تولید نقشه در این زمینه را تضمین می‌نماید.

اگرچه بیشترین تلاش برای آماده‌سازی تصاویر ماهواره‌ای از طرف ایالات متحده آغاز گردید، فرانسوی‌ها طی یک همکاری مشترک، داده‌هایی با وضوح بالا برای مقاصد تهیه نقشه فراهم نمودند.

ماهواره اسپات (Spot) دارای دو سنجنده HRV با وضوح هندسی 10 m (بسته به حالت استفاده) می‌باشد. این سنجنده توансنت اولین تصاویر برجسته را ارائه نماید. اسپات (Spot) پس از یک رشته مطالعات اولیه طولانی در سال ۱۹۸۶ پرتاب گردید.

با استفاده از وضوح 10 m تراصیر اسپات، تولیدکنندگان نقشه سرانجام یک وسیله دورکاوی ماهواره‌ای به دست آورده‌اند که توانایی تولید تصاویر را داشت که دارای وضوح کافی برای نقشه‌های توپوگرافی متوسط مقیاس می‌باشد.

با ظهور ایستگاههای کاری فتوگرامتری رقومی، توانایی‌های کامل داده‌های اسپات می‌تواند مورد استفاده قرار گیرد. خروجی‌های تولیدشده به شکل‌های DEM، اورتوفوتو یا نقشه‌های عکسی، خطوط تراز، نمایه‌های سه بعدی و فایل‌های داده‌های برداری می‌باشند.

منبع تصاویر ماهواره‌ای دیگر عکسبرداری فضایی روسیه می‌باشد. وضوح تصاویر آن بین 10 m تا 15 m (MKF-6M) و بین 5 m تا 1 m (KFA-1000) می‌باشد.

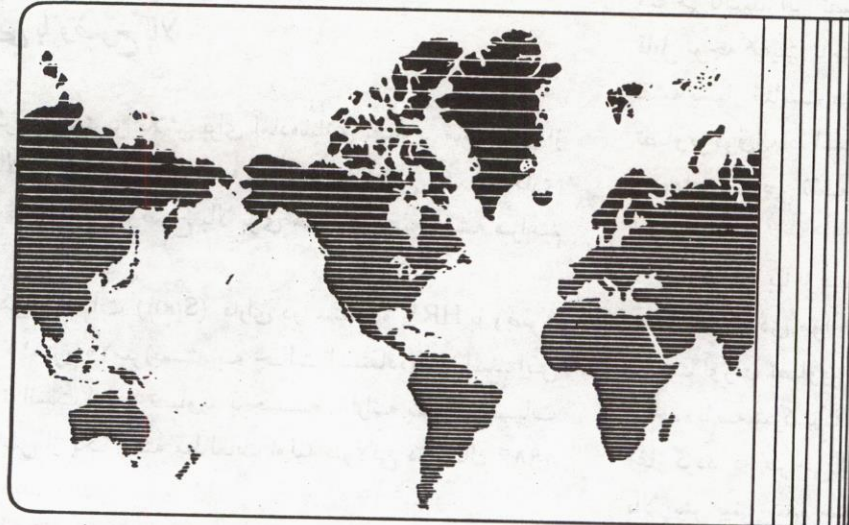
این نوع تصاویر در تولید و بازنگری نقشه‌ها در جمهوری دمکراتیک آلمان (سابق) و تولید نقشه‌های عکسی با مقیاس‌های بین $1:50000$ و $1:500000$ مورد استفاده قرار گرفته است. تصاویر KFA-1000 برای بازنگری نقشه‌های $1:25000$ با استفاده از روشهای فتوگرامتری سنتی مناسب تشخیص داده شده‌اند.

آینده

در بسیاری زمینه‌ها، آینده تولید نقشه توپوگرافی از داده‌های دورکاوی هنوز بستگی به ما دارد. دوربین‌های KWR-1000 و KFA-3000 روسی قادر به تولید تصاویر سیاه و سفید با وضوح دو

مجموعه مقالات GPS و GIS در دو جلد
 منتشر شد. علاقمندان می‌توانند جهت
 کسب اطلاعات با دفتر نشریه
 نقشه‌برداری و یا شماره تلفن
 ۰۶۱۱۸۴۹ تماش حاصل فرمایند.

خبرها و گزارش‌های علمی و فنی



راهمنا پاسخ گفته که پس از کسب رضایت علمی اعضاء کمیته، ایشان به دریافت مدرک دکترا در GIS نایل آمد. موضوع تحقیق ایشان که "مجموعاً" سه سال به طول انجامید عبارتست از:

The Management of Spatio - Temporal Data in a National Geographic Information System.

لازم به ذکر است یک نسخه از این رساله در محل کتابخانه سازمان در دسترس علاقمندان قرار دارد. خلاصه این رساله (به زبان انگلیسی) در همین شماره نشریه درج گردیده است. ضمن تبریک خدمت این همکار گرامی و خانواده محترم، موفقیت ایشان را در تمامی مراحل علمی از خداوند متعال خواهانیم.

درباره جایزه دولزال

جایزه انجمن بین‌المللی فتوگرامتری (ISP) به یکی از کارشناسان ارشد سازمان نقشه‌برداری کشور اهدا شد.

کنگره ISPRS¹ بعد از ۸۳ سال، دویاره امسال در کشور اتریش برگزارشد. این کنگره، به پیشنهاد وزارت علوم اتریش برای

1- International Society of Photogrammetry & Remote Sensing

دفاع از رساله

در تاریخ پنج شنبه ششم ژوئن (مطابق با هفدهم خردادماه سال جاری) جلسه دفاعیه رساله دکترای همکار گرامی سازمان آقای علی اصغر روشن‌نژاد در دانشگاه Twente هلند برگزار گردید. در این جلسه که تعداد زیادی از مقامات و اساتید و دانشجویان سطوح مختلف ITC دانشگاه Twente حضور داشتند ابتدا آقای روشن‌نژاد خلاصه‌ای از تحقیق خود را جهت استحضار حاضرین ارائه نمودند و پس از استماع آن جلسه دفاعیه را س ساعت ۴:۴۵ با حضور اعضاء کمیته ژوری، آقایان:

Prof. D. Krabbendam –
Prof. Dr. Stamper –
(استاد راهنمای تز از دانشگاه Twente)

Prof. Dr. Kainz –
Prof. Dr. Apers –
(استاد مدعاو از دانشکده Informatic دانشگاه Twente)

Prof. Dr. de Vriend –
Prof. Dr. Van Harten –
(استاد مدعاو از دانشکده عمران دانشگاه Twente)

Prof. Dr. Kuhn –
Prof. Dr. Geoinformatic –
(استاد مدعاو از دانشکده اطلاعات - دانشگاه Twente)
Prof. Dr. Kuhn –
Prof. Dr. Geoinformatic –
(استاد مدعاو از دانشکده اطلاعات - دانشگاه وین - اتریش)
این دفاعیه آقای روشن‌نژاد به سوالات پروفسور مدعاو و استادان

پروفسور ادوارد دولزال در اتریش تاسیس شد. دولزال در سال ۱۸۶۲ در اتریش به دنیا آمد. او در زمان خود از نظر علمی به سرعت پیشرفت نمود. او در زمینه‌های بسیار متنوع صاحب استعداد و علاقه بود اما بیشترین علاقه او به شاخه‌ای از علم جلب شد که به تازگی پدیدار شده بود [فتوگرامتری]. او در زمینه این علم جدید یعنی فتوگرامتری بسیاری از طراحی‌ها را با همکاری موسسه مکانیک و ریاضیات ROST انجام داد. دولزال اولین کتاب در زمینه فتوگرامتری را تالیف نمود. در این کتاب به اصول بنیادی و دقت در فتوگرامتری پرداخت و مزایای استفاده از عکس‌های هوایی را شرح داد. وی در کتاب ارزشمند خود کاربردهای احتمالی فتوگرامتری را پیش‌بینی نمود و پیشگویی او در مورد روش‌های آینده فتوگرامتری بسیار نزدیک بود به روش‌های فتوگرامتری که تا دهها سال در تمام دنیا مورد استفاده قرار گرفت.

دولزال اولین کنگره ISP را در سال ۱۹۱۳ در وین برگزار نمود و تهیه آرشیو بین‌المللی فتوگرامتری را آغاز کرد و سالها سردبیر این آرشیو بود. او به عنوان پروفسور در موسسه سلطنتی پلی‌تکنیک در وین فعالیتهای ارزشمندی در زمینه فتوگرامتری داشت و به همین دلیل به دریافت چندین دکترای افتخاری نیز نایل آمد. این موسسه بعداً به نام دانشگاه تکنولوژی وین تغییر نام یافت.

دفاع از پایان نامه

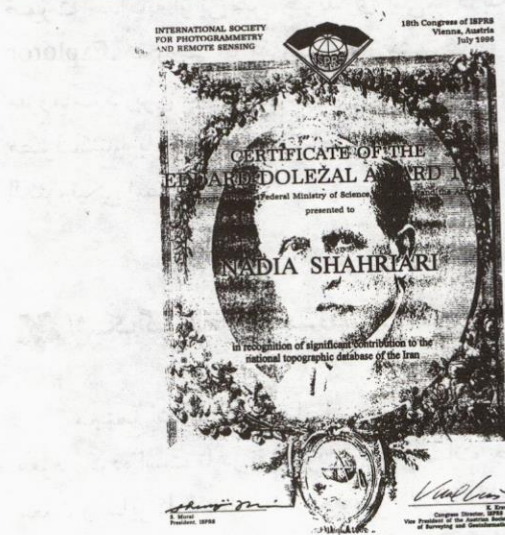
طی خداداده، سال جاری، در دانشکده عمران دانشگاه صنعتی خواجه نصیرالدین طوسی چهارتون از همکاران سازمان نقشه‌برداری کشور، آقایان مهندسین : حمیدرضا نانکلی، فرامرز نیلفروشان، مرتضی صدیقی و محمود شاکری از پایان نامه خود دفاع کردند و به کسب درجه کارشناسی ارشد، نائل آمدند.

آقای حمیدرضا نانکلی رساله خود را تحت عنوان: طراحی، ایجاد و اجسمنت شبکه صفر G.P.S. ایران ارائه داشتند، آقای فرامرز نیلفروشان با عنوان اجسمنت سه بعدی شبکه درجه ۱ G.P.S. ایران از پایان نامه خود دفاع کردند و آقای مرتضی صدیقی تحت عنوان اجسمنت مجدد شبکه کلاسیک ایران و آقای محمود شاکری با عنوان : طراحی، آنالیز و محاسبه جابجایی شبکه میکروژئودزی سد طرق دفاع از رساله‌های خود را با موفقیت انجام دادند.

بزرگداشت مقام برجسته علمی و اجتماعی، پروفسور دولزال، موسس انجمن بین‌المللی فتوگرامتری تصمیم به اهداء جوازی با نام او گرفت. این جواز طی مراسمی در محل دانشگاه تکنولوژی وین به ۶۳ نفر از افرادی که در زمینه‌های فتوگرامتری کاربردی، سنجش از دور و GIS در کشورهای در حال توسعه فعالیت‌های موفقیت آمیزی داشته‌اند اهدا شد.

ثبت‌نام در کنگره، دو بازدید فنی، کلاس آموزشی یک روزه و آرشیو کامل کنگره شامل هفت جلد مجموعه مقالات مربوط به کمیسیون‌های هفت‌گانه (حدود ۵۰۰۰ صفحه) از جمله جوازی بود که به برنده‌گان اختصاص یافت. در لیست برنده‌گان جایزه، نام یکی از کارشناسان هیئت اعزامی از سازمان نقشه‌برداری کشور (خانم مهندس نادیا شهریاری) نیز قرار داشت. ایشان به افتخار دریافت این جایزه علمی نایل آمد، جایزه خود یعنی مجموعه مقالات مربوط به کمیسیون‌های هفت‌گانه، را به کتابخانه سازمان نقشه‌برداری کشور اهدا نمود.

دفتر نشریه این رخداد ارزشمند علمی را به سرکار خاتم مهندس شهریاری و خانواده گرامیشان و نیز به سایر همکاران عزیز تریک عرض نموده موفقیت روزانه‌رون ایشان و سایر کارشناسان و متخصصین سازمان را در کسب افتخارات علمی آیینه‌آرزو می‌نماید.



ISP معرفی

انجمن بین‌المللی فتوگرامتری (ISP)^۱ در سال ۱۹۱۰ توسط

1- International Society of Photogrammetry

GLONASS و افزایش تعداد ماهواره‌ها است که در نهایت منجر به استفاده‌ای مفید از GPS با دقت بالاتر و بهره‌وری بیشتر می‌گردد.

سیستم تهیه نقشه GeoExplorer II

شرکت ناوبری تریمبل با مسئولیت محدود (کالیفرنیا-آمریکا) سیستم تهیه نقشه GeoExplorerTM II یا نسل جدید GPS محصولات GPS/GIS را معرفی می‌نماید. دستی (Hand-Held) جدید قابلیت استفاده از آتن خارجی در وسایل نقلیه یا در range pole را نیز دارد. گذشته از آن، سیستم کنونی دارای قابلیت پردازش پیشرفته داده‌ها از طریق کاربرد نرم‌افزار PFINDER می‌باشد که به استفاده کننده امکان این را می‌دهد که عوارض را گردآوری شده را با اشکال و خواص (Attribute) آنها انطباق دهد.

در سیستم GeoExploror II یک آتن خارجی را می‌توان به پشت گیرنده نصب کرد. دو مدل از این آتن‌ها موجود می‌باشد. آتن range pole با صفحه‌ای زمینی و سیستم نصب و استقرار مغناطیسی برای استفاده در وسایل نقلیه. آتن‌های خارجی برای استفاده در موقعیت‌هایی مانند داخل اتومبیل یا زیردرخت که آتن داخلی مسدود شده باشد بسیار مناسب هستند. آتن‌های خارجی به صورت جداگانه از تریمبل خریداری می‌شود. به علاوه، Geo Exploror به راحتی با مقررات بازار مشترک اروپا(CE) و نیز FCC ملزومات کاربری سازگار می‌باشد. که هدف آن حمایت از مصرف‌کننده با کاهش میزان تداخل از راه تشعشعات دستگاه‌های الکترونیکی است.

اشتک گیرنده سنجنده دار Z-12 را معرفی می‌نماید.

مجتمع اشتک (کالیفرنیا- آمریکا) گیرنده سنجنده دار Z-12 را معرفی کرده است تا در نقشه‌برداری، محاسبات جمعی، استخراج معدن و سایر کاربردها که نیاز به دقت بالا و اطلاعات دقیق روز با کمترین خطای دارند، مورد استفاده قرار گیرد. در سنجنده جدید Z-12 ویژگی‌ای اشتک Z-12 به انضمام Z-TrackingTM به خدمت گرفته شده است. فراتر از آن، این دستگاه قادر است موقعیت را تا ۵ بار در ثانیه با خطای کمتر از یک هزارم ثانیه و بدون استفاده از حدس و گمان محاسبه کند. در

یک نسخه از این پایان نامه‌ها که زیر نظر آقایان دکتر آفرود کلوزیرگ، دکتر عزیزی و آقای مهندس اصغر شریفی تهیه شده است، در محل کتابخانه سازمان در دسترس علاقمندان قرار دارد. خلاصه این پایان نامه‌ها (به زبان انگلیسی) در همین شماره نشریه درج گردیده است.

ضمن تبریک خدمت این عزیزان، موفقیت ایشان را در تمامی مراحل علمی از خداوند متعال خواهانیم.

نخستین گیرنده گردآوری همزمان سیگنال‌های ماهواره‌های روسی و آمریکایی

شرکت اشتک (کالیفرنیا- آمریکا) گیرنده GG24 خود را معرفی نموده که نخستین گیرنده تک صفحه‌ای جهان برای گردآوری همزمان و دقیق داده‌های سیستم GPS آمریکا و سیستم ناوبری GLONASS ماهواره‌ای جهانی روسی معروف به یکپارچگی GLONASS و GPS در یک گیرنده نه تنها نشانه موفقیت است بلکه نشان نقطه چرخشی است در کاربرد علوم جنگ سرد به رقابت‌ها و تلاش‌های بازرگانی.

اشتک GG24 نخستین گیرنده‌ای است که تاکنون برای بهره‌گیری همزمان از هر دو نظام آمریکایی و روسی در مقاصد بازرگانی و غیرنظامی طراحی شده است. توانایی GG24 در دریافت و استفاده از سیگنال‌های GPS و ۲۴ ماهواره GLONASS ضامن تکمیل شدن آن در محدوده‌ای وسیع از کاربردهای با دقت بالای زمینی، دریایی و هوایی در مقیاس جهانی است.

زمینه‌های فنی

اشتک با استفاده از گیرنده تصحیح کننده خودکار در اندازه‌گیری‌های ناوبری (Receiver Autonomous Integrity Monitoring-RAIM) قابل اعتماد و اتکا می‌باشد. به دلیل دسترسی به تعداد بی شماری از ماهواره‌ها و نیز به این خاطر که سیگنال‌های GLONASS به عکس سیگنال‌های GPS در مقاصد نظامی مورد استفاده نیست، این سیستم می‌تواند نتایج سریع و موقعیتی (غیر دیفرانشیال) خودکار دقیق‌تر از GPS در اختیار قرار بدهد. عملکرد (دیفرانشیال) دقیق آن نتیجه ترکیب GPS و

موارد زیر می شود:
 * اصلاح کننده عوارض که تمام مشخصه های منطقه را کنترل کرده علامت گذاری می کند.

* نمایش گر زمانی که نشان میدهد ضبط اطلاعات در چه زمانی انجام شده، چه گیرنده یا عامل صحرایی، داده ها را ثبت کرده و هر عارضه چگونه توصیف شده است.

* نمایش گر نقشه که دقت GPS و موقعیت نسبی هر شکل را نشان می دهد.

* خروجی اطلاعات که برای اغلب نرم افزارهای آشنای CAD/GIS فرمت بندی شده است.

هر دو سیستم Submeter GRI1000 و دسیمتر تصحیح های دیفرانشیال را در زمان آنی برای ناویری آسان و دقیق یا در حالت پردازش بعدی انجام می دهد.

مقایسه با دستگاه Z-12TM اولیه، گیرنده سنجنده دار، ۲۰ درصد سبک تر و همچنین ۲۰ درصد کوچک تر از نوع قبل است و به راحتی در کوله پشتی حمل و نقل می شود و قابلیت های سنجنده Z-12 شامل موارد زیر است:

● تعیین موقعیت کینماتیک بطور آنی همراه با علامت گذاری در حین عملیات.

● عملیات سیگنال های GPS که امکان مشاهده از همه کانالها را در یک زمان فراهم می سازد و شامل ۱۲ کanal استاندارد A/C و ۱۲ کanal دقیق (L₁)P و ۱۲ کanal دقیق (L₂)P می شود.

● قابلیت انتقال طول موج کامل بر L₁ و L₂.

● قابلیت تغییر اتوماتیک به Z-Tracking هنگامی که سیستم رفع خطأ به کار می افتد.

● قابلیت اندازه گیری اطلاعات خروجی خام در زمان آنی (Real Time).

● ذخیره سازی داده های خام تا ۱۰ مگابایت.
 این گیرنده ضد آب است و در مقابله طوفان و باران و گرد و غبار مقاومت دارد. تمام چنین سیستمی در ابعاد ۸/۸×۳×۶/۹ (اینچ) به وزن ۵/۵ پوند (بدون وزن کوله پشتی) ارائه شده است.
 نگارش نقشه برداری سنجنده Z-12 از اوخر آوریل ۹۶ در دسترس خواهد بود.

گیرنده های تک فرکانس جدید

شرکت ناویری تریمبیل با مسئولیت محدود (کالیفرنیا - آمریکا) مجموعه ای جدید از گیرنده های با صرفه تک فرکانس 4000Si خود را برای عملیات زمینی، در زمان آنی و کاربردهای نقشه برداری دینامیک برای طول مبنای متوجه معرفی می نماید.

با استفاده از تکنولوژی Super TrakTM در رده ای ماهواره ای، این گیرنده ها مقاومت فزاینده ای نسبت به تراکم فرکانس های رادیویی از خود نشان می دهند. سیستم 4000 Si در نواحی نزدیک به خطوط انتقال نیرو، کارگاه ساختمانی و فروdagاهها باعث افزایش بهره وری در نقشه برداری می گردد. این سیستم نمایانگر قابلیت های جدید استاتیک سریع در باند L1 در کارهای نقشه برداری است که به معنای بهره وری سودمند است. چرا که در آن زمان عملیات صحرایی کاهش می یابد.

این گیرنده مصرف کمی معادل ۷ وات دارد و با مقررات جدید بازار مشترک اروپا CE و نیز ملزومات کاربردی FCC سازگار می باشد که هدف آن حمایت از مصرف کنندگان از طریق کاهش میزان تداخل تشعشعات دستگاه های الکترونیک است.

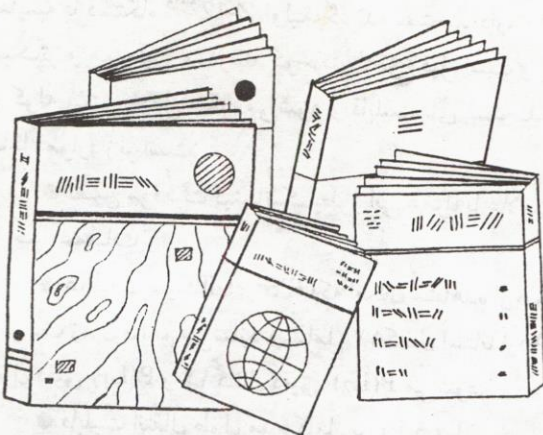
گیرنده 4000 Si به دو شکل در دسترس عموم قرار دارد. برای حالت های استاتیک معمولی، استاتیک سریع و کینماتیک که برای نقشه برداری با GPS با پردازش بعدی طراحی شده است. این سیستم بطور کامل قابل ارتقاء به نقشه برداری با GPS در زمان آنی و در کاربردهای دریابی و هوایی همچنین ۱۲ کاناله دوفرکانس قابل استفاده می باشد.
 تمام انواع گیرنده 4000 Si برای تحویل فوری موجود است.

از سوکیشا : GIR 1000

شرکت سوکیشا سیستم GIR 1000 GPS را معرفی می کند.

مجتمع (KS-USA) سیستم GIR1000GPS را معرفی می نماید که جهت کنترل شخصه موقعیت GPS فراهم گردید.

سیستم Submeter GIR1000 دقتی معادل ۷۵ صدم متر را تامین می کند. این دقت حتی هنگامیکه یک ثانیه بر نقطه ای متوقف شود محفوظ است و هم چنین در حالت دینامیک، و هنگام ثبت طول های بلند و عارض زمینی، به کار خود ادامه می دهد. سیستم عملیاتی دسی متر GIR1000 در این گیرنده قادر به پردازش کد و داده های امواج حامل انتقال یافته از GPS تا حصول دقتی در حد دسیمتر است. هنگامی که این سیستم در محیط باز مستقر شود می تواند تا دقت یک سانتی متر عمل کند. در دو سیستم GIR1000 پردازش گر WindowsTM مورد استفاده قرار می گیرد. انتقال بسی وقفه اطلاعات به سایر برنامه های Windows مانند GIS، CAD، Desktop GIS بدون وقفه انجام می گیرد. مدول های آن شامل



معرفی کتاب

تهیه و تنظیم: حشمت... نادرشاهی

نام کتاب: مجموعه مقالات سومین کنفرانس سیستم‌های اطلاعات
جغرافیایی (۲۶ و ۲۷ اردیبهشت ۱۳۷۵، تهران - ایران)

درویش صفت - علی اصغر: توسعه پایگاه اطلاعاتی GIS با استفاده از تصاویر ماهواره‌ای.

ده محسنی - احمد: ترسیم منحنی‌های همباران با استفاده از مدل ریاضی و سیستم GIS زیرحوزه کردکوی.

رجیبی‌فرد - عباس و نوری بوشهری - سعید: تحلیلی بر GIS در ایران در مقایسه با سایر کشورهای آسیا و آقیانوسیه.

رسانه - یادالله: کاربرد GIS در تهیه طرحهای جنگلداری.

صرافی - غلامحسین: جزیره قشم یک نمونه سیستم اطلاعات جغرافیایی.

صادمزادگان - فرهاد: مباحث ریاضی تعیین فاصله نمونه‌برداری بهینه و ارزیابی دقت در مدل‌سازی رقومی زمین.

عبدی - علی: استفاده از سیستم اطلاعات جغرافیایی ILWIS جهت تهیه نقشه شماره منحنی (CurveNumbers) برای برآورد حجم هرزاب (Run-Off) در حوزه آبخیز رودخانه شرا.

علیمحمدی - عباس: روشی جدید برای طبقه‌بندی و پردازش طیفی و فضایی تصاویر ماهواره‌ای در محیط سیستم‌های اطلاعات جغرافیایی.

تدوین: سازمان نقشه‌برداری کشور

مدیریت پژوهش و برنامه ریزی سازمان نقشه‌برداری در روزهای برگزاری کنفرانس و نمایشگاه GIS، مجموعه مقالات کنفرانس را در یک جلد (۳۳۰ صفحه، به دو زبان، در قطع A4) آماده ساخته بود که در اختیار متخصصان قرار می‌گرفت. فهرست دوزبانه آن، فهرست الفبایی اسامی مقاله‌دهندگان است که از نظر خوانندگان محترم می‌گذرد.

انصاری‌نیا - سیاوش و هامش - محمود: کاربرد GIS در برنامه‌ریزی منطقه‌ای حوزه آبخیز قزل اوزن.

پهrami - رکسانا: ارزیابی توان اکولوژیکی حوزه‌های آبریز ساحلی و گرگانورد برای کاربریهای عمده به کمک GIS و ALES.

پورکاشانی - مریم: حوزه‌بندی نقشه‌های روستائی شهرستان زنجان برای سرشماری نفوس و مسکن با استفاده از سیستم اطلاعات جغرافیایی ARC/INFO.

حاجیوندی - مهرناز و طبیب زاده غیاثی - عادل: کاربرد سیستم‌های اطلاعات جغرافیایی (GIS) در مطالعه و بررسی مناطق حادثه خیز (مطالعه موردي - زلزله و سیل در استان فارس).

دانش - مهدی: کاربرد هیدرولوژیکی سیستم‌های اطلاعات

می‌کند، نقشه‌برداری مهندسی می‌گویند که موضوع و عنوان کتاب حاضر است.

این کتاب در پانزده بخش و ده ضمیمه تدوین گردیده که تا بخش نهم در جلد اول و از بخش دهم در جلد دوم گنجانیده شده و در سال ۱۳۷۴ به چاپ رسیده است. هر جلد فهرست کامل خود و فهرست عناوین جلد دیگر را دارد:

بخش اول - کلیات و مفاهیم اساسی، بخش دوم - خطاهای، بخش سوم - فیزیک نور و دوربین‌های نقشه‌برداری، بخش چهارم - اندازه‌گیری، فاصله، بخش پنجم - سنجش زوایا و جهات، بخش ششم - ترازیابی، بخش هفتم - پیمایش، بخش هشتم - اندازه‌گیری مساحت و تقسیم زمین، بخش نهم - مثلث بندی، بخش دهم - منحنی‌های تراز، محاسبه حجم و تسطیح، بخش یازدهم - نقشه‌برداری مسیر، بخش دوازدهم - نقشه‌برداری هوایی، بخش سیزدهم - روش حداقل محدودرات، بخش چهاردهم - نجوم عملی (تعیین شمال حقیقی، طول و عرض جغرافیایی) بخش پانزدهم - سیستم‌های تصویر.

ضمیمه A - اصول علمی تراز اتوماتیک، ضمیمه B - اصول نظری ژیروسکوپ، ضمیمه C - تعیین شمال با استفاده از سایه و ساعت، ضمیمه D - مثلثات کروی، ضمیمه E - اثبات فرمول کلوتویید، ضمیمه F - روش مستقیم، تعیین عناصر توجیه خارجی (روش چرچ)، ضمیمه G - سیستم مختصات جهانی ۱۹۸۴ و بیضوی مقایسه ایران، ضمیمه H - سیستم اطلاعات جغرافیایی (GIS)، ضمیمه I - تعیین موقعیت جهانی (نقشه‌برداری ماهواره‌ای)، ضمیمه J - فرمول‌های ریاضی.

همانگونه که از فهرست عناوین پیداست، در این کتاب، نقشه‌برداری کلاسیک به تفصیل مورد بررسی قرار گرفته و کاملاً تشریح گردیده بطوریکه از ۱۱۸۰ صفحه (دو جلد) حدود ۱۱۵۰ صفحه بدان اختصاص یافته است. در هر بخش تعدادی مسئله حل شده آمده که برای تشریح بیشتر مطالب و معرفی موارد کاربرد روش‌ها و فرمولها مفید است. تمرین‌های پایان هر بخش نیز بر وزنی‌گی خواندنگان و کاربران می‌افزاید. برنامه‌های کامپیوتری ساده به زبان بیسیک که در بعضی از بخش‌ها جای گرفته، نحوه فرموله کردن روشها را برای رسیدن به راه حل‌های قابل برنامه ریزی کامپیوتری نشان می‌دهد.

خواندنگان کتاب می‌توانند برای یادآوری و رفع کمبودها و نواقص احتمالی کتاب با مؤلف، به نشانی دانشگاه شهید چمران اهواز تماس حاصل نمایند.

فرج زاده - متوجه، منتظر القائم - سعید: پنهانی قابلیت وقوع زمین لغزه‌ها با استفاده از GIS مطالعه موردي : جاگرود تا رودهن.

محمودیان - بهنام: دگرگونی در تجزیه و تحلیل توسط GIS با منطق فازی.

Azad, Bijan . Digital map scale and accuracy issues in GIS : a pragmatic approach.

Hakimpour, Farshad . Aspects of uncertainty in quality of spatial data for geographic information systems.

Hashemi Tangestani, Majid. Integrating geographic information systems in erosion and sediment yield application using erosion potential method (EPM).

Roshannejad,A.A.& Shariari,N. A multi-Disciplinary/Multi-scale data model : the Requirements for a National GIS.

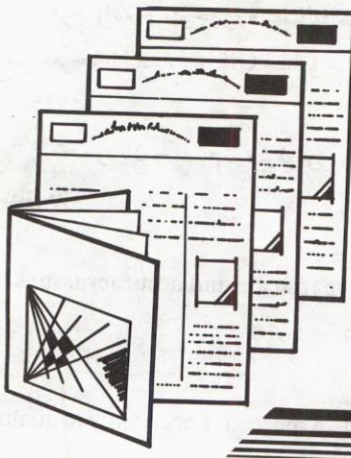
Zolghadri, Simak. The dark side of GIS.

این مجموعه مقالات در قسمت روابط فنی (تلفن مستقیم : ۰۳۴۰۷۳) موجود است و به درخواست کنندگان ارائه می‌شود.

نام کتاب : نقشه‌برداری مهندسی (در ۲ جلد)

مؤلف : رضا ابن جلال، عضو هیئت علمی دانشگاه شهید چمران
ناشر : دانشگاه شهید چمران (اهواز)- ۱۳۷۴

در مراحل مختلف هر پروژه عمرانی یا مطالعاتی، داشتن اطلاعات از اندازه و موقعیت نسبی (ارتفاع، فاصله و جهت) عوارض و جزیبات واقع در سطح یا زیرزمین، بصورت نقشه، جدول و نمودار یا مدل‌های ریاضی سه بعدی قابل ذخیره در کامپیوتر، امری است اجتناب‌نپذیر. به آن بخش از نقشه‌برداری که با توجه به اهداف پروژه‌ها، اطلاعات مورد نیاز را اعم از اندازه، موقعیت نسبی عوارض و جزیبات واقع در محدوده پروژه تهیه



گزیده خلاصه مقالات

از نشریات خارجی

ترجمه: پروین رفاهی

روش خطی Analogue در حال حاضر به صرفه‌تر است. معهد، با بزرگتر شدن آرایه، با بهینه شدن سنجنده‌های وضعیت هواییما و همچنین با معمول تر شدن قوایتهای مختصاتی سیستم‌های تعیین موقعیت جهانی (GPS) و دسترسی بیشتر به ظرفیت‌های ذخیره سازی بالا دوربین‌های رقومی جای خود را به عنوان سیستم‌های تصویربرداری آینده باز خواهند کرد.

برای آن که سنجنده‌های رقومی به جایگاه بالقوه خود برای کمک به نقشه‌برداری، تهیه چارت و کاربردهای سیستم اطلاعات جغرافیایی برستند، باید بر مشکلاتی چند که در این راه وجود دارد غلبه نمود.

روش‌هایی برای محاسبه تصحیحات انکسار فتوگرامتری در عکس‌های قائم و مایل

نوشته: Maurice. S.Gyer
برگرفته از: PE&RS, March 1996

روش‌هایی برای محاسبه تصحیحات فتوگرامتری انکسار در عکس‌های هوایی بسیار مایل از قانون snell در خصوص پرتوهای محيط طبقه‌بندی شده کروی استخراج شده است. روشهای مذکور را، که بر ادغام عددی انگرال‌های انکسار مبتنی‌اند می‌توان برای زوایای زنیط صفر تا نواد درجه به کار بست. اندکس محيطی انکسار بر اساس مدل‌های جوی فشار و درجه حرارت تعیین می‌شود. مدل‌ها

دوربین‌های عکسبرداری یا سنجنده‌های رقومی
چالشی در تهیه تصاویر هوایی

نوشته: Donald L. Light
برگرفته از: PE&RS March 1996

دوربین‌های نقشه‌برداری هوایی هنوز هم نقشی کلیدی در تهیه تصاویر کیفی برای کارهای تهیه نقشه ایقا می‌نمایند و در پروژه تهیه عکس‌های هوایی کشور (NAPP) از این ابزار استفاده می‌شود. هر عکس هوایی تهیه شده در NAPP که با دوربین‌های دارای قدرت تفکیک بالا (به قدرت 39 l p/mm^2) گرفته شده است دارای ۴۳۲ میلیون پیکسل به تعداد پیکسل‌های موجود در عکس ۱۱ میکرومتری اسپات می‌باشد و هزینه اسکن کردن و خروجی گرفتن از پیکسل‌های آن با یک دستگاه ذخیره ساز مغناطیسی کمتر از ۷۵ دلار برای هر عکس می‌باشد.

در بخش رقومی، آرایه‌های مسطحاتی و خطی حاصل از این دستگاهها می‌تواند تفکیک کیفی خوب (در اندازه برداری ۷ تا ۱۲ میکرومتری) و دامنه دینامیکی گسترده بددست دهد برای آنکه آرایه‌های خطی قابلیت رقابت با دوربین‌های عکسبرداری داشته باشند، لازم است هواییما از موقعیت فضایی و زاویه دید بسیار دقیق برخوردار باشد بنحوی که خطوط پیکسل‌ها کنار هم گذاشته شود و بصورت صحنه‌ای یکنواخت و مناسب، برای مفسر عکس قابل قبول باشد. تحلیل مزايا و معایب نسبی این دو سیستم نشان می‌دهد که

Remote Sensing. International Archives of Photogrammetry, 21(3):11pp.

Leberl, F. W., 1975. Photogrammetric Interpolation. Photogrammetric Engineering and Remote Sensing, 41(5):603-611.

Leberl, F. W., 1990. Radargrammetric Image Processing. Artech House, Norwood:595pp.

Mather, P., 1987. Computer Processing of Remotely-Sensed Images, an Introduction. John Wiley & Sons, London:352pp.

Novak, K., 1992. Rectification of Digital Imagery. Photogrammetric Engineering and Remote Sensing, 58(3):339-344.

Petrie, G., A. E. H. El Niweiri, 1994. Comparative Testing of Space Images for Small Scale Topographic Mapping of Sudan. ITC Journal 1994-2:96-112.

Searle, P. R. E., 1984. An Analytical Approach to

را می توان بنحوی تعديل نمود که داده ها را در صورت موجود بودن - برای درجه حرارت و فشار محلی نشان دهند. برای ارزیابی هوای فشرده در محفظه دوربین از روش های استاندارد تعديل فشار هوا در هوای پیما استفاده می شود. گزینه هایی استخراج شده است که با آن می توان تصحیحات لازم برای مختصات تصویر را، در عکس هایی که دارای زاویه میل دلخواه هستند، انجام داد. نتیجه مدل های مختلف جوی موقعیت جغرافیایی، وقت سالانه و زوایای بزرگ زنیط بصورت عددی در جداول و نمودارها نشان داده شده است. از این نتایج می توان برای تعیین مختصات زمینی نقاطی استفاده نمود که با دوربین های کنترل هوایی بسیار مایل گرفته شده اند.

یکی از نتایج فرعی این تئوری اعمال یکنواخت انکسار جوی برای زوایای زنیط دلخواه می باشد.

* * *

Map Revision Photogrammetric Record, 11(64):441-445.

Wong, K. W., 1975. Geometric and Cartographic Accuracy of ERTS-1 Imagery. Photogrammetric Engineering and Remote Sensing, 41(51): 621-635.

Naghshbardari
NCC Scientific and Technical Quarterly Journal

Vol.7, No.2, Serial 26. Summer 1996

Managing Director : Jafar Shaali

Supervised by : Editorial Board

Printed in NCC

Enquiries to:
Ncc Journal Office

P.O. Box : 13185-1684

Phone : 6011849

Fax : 6001971, 6001972

Telex: 212701 NCC IR

Cable : CENCA

can be related to a satellite scene by equation (17). Even for very flat terrain, the substantial Earth curvature cannot be neglected. As a result, the two-dimensional projective transformation method has till now had little practical significance in the rectification of linear array imagery required from satellites.

6. Conclusion

It will be apparent that a wide variety of techniques exist for the two-dimensional digital rectification of linear array imagery. The selection of one of these for a specific task can only be made in the light of the characteristics of the imagery (e.g. airborne or spaceborne) and the terrain (hilly or flat); the computing resources available; and the required accuracy of the final result. If the accuracy requirements are high and the terrain is hilly, it is obvious that only a full three-dimensional solution such as differential rectification or digital monoplotting will satisfy the needs of the user.

Acknowledgements

This paper is based on work done in the course of the author's PhD project at the Department of Topographic Science, University of Glasgow. The author would like to express his thanks to Professor G. Petrie for his assistance in various aspects of the research.

REFERENCES

Ehlers, M., 1990. Remote Sensing and Geographic Information Systems: Towards Integrated Spatial Information Processing. *IEEE Transactions on Geoscience and Remote Sensing*, 28(4): 763-766.

Ehlers, M., 1993. Mapping Requirements for GIS Applications. *Proceedings ISPRS Conference and Workshop on "International Mapping from Space"*, Hannover: 245-253.

Ehlers, M., 1996. Rectification and Registration in Star, J. L. and J. E. Estes (Eds.), *Integration of Geographic Information Systems and Remote Sensing*. Cambridge University Press, (in press).

El-Niwieri, A. E. H., 1988. *Geometric Accuracy Testing, Evaluation and Applicability of Space Imagery to the Small Scale Topographic Mapping of Sudan*. PhD Dissertation, University of Glasgow, (2 Vols): 380pp.

Ganguly, P. K., 1991. *Mathematical Modelling for Mapping from SPOT*. MSc Thesis, ITC, Netherlands: 89pp.

Gopfert, W., 1982. Methodology for Thematic Image Processing Using Thematic and Topographic Data Bases and Base-Integrated Multi-Sensor Imagery. *Proceedings International Society for Photogrammetry and Remote Sensing, Com. VII Symposium*, Toulouse, France, Vol. 1:13-19.

Hardy, R. L., 1971. Multiquadric Equations of Topography and Other Irregular Surfaces. *Journal of Geophysical Research*, 76(8):1905-1915.

Hardy, R. L., 1990. Theory and Applications of the Multiquadric-Biharmonic Method. *Computers and Mathematics with Applications*, 19(8/9):163-208.

Konecny, G., 1976. Mathematical Models and Procedures for the Geometric Restitution of

As can be seen from equation (18), there are 8 projective parameters ($a_1, a_2, a_3, b_1, b_2, b_3, c_1, c_2$) which are unknowns. These can be defined with a minimum of 4 ground control points (GCPs) lying in a plane. The elements of exterior and interior orientation parameters are not needed, since they are implicit in these parameters.

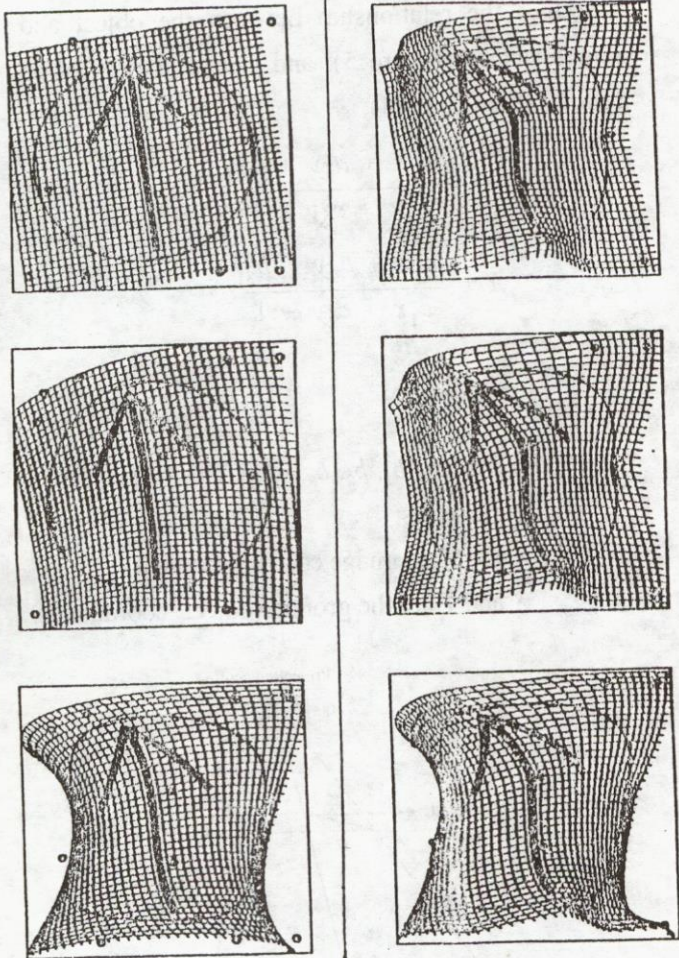


Figure 4. Results of polynomial interpolation of degrees 1 through 3 (top to bottom). Even with a third degree polynomial interpolation no exact registration is possible.

Figure 4. Multiquadric interpolation with polynomial preregistration of degrees 1 through 3 (top to bottom). All GCPs are exactly registered to their position in the reference image (Ehlers, 1993).

In the case of linear array imagery, the projection of the linear array on to the ground forms a very narrow rectangle with its long side oriented perpendicular to the projected line of motion. The

linear array is read out such that one complete line of data is generated each time this projected field of view advances by one line. Therefore the above projective transformation is modified to give a line-perspective relationship between the ground and the image (Figure 6).

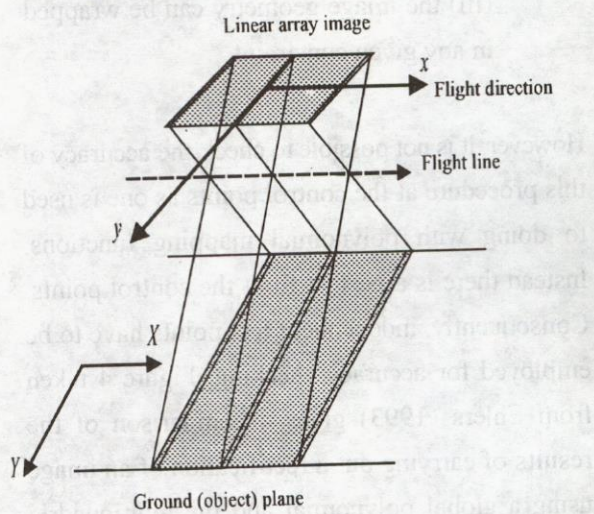


Figure 6. Line-perspective relationship between ground and linear array imagery

Each scan line has a different perspective (or projective) centre, and it can be assumed that all are tied to a straight line approximating to the orbit or flight line. If x is the axis in the direction of the platform motion and y represents the pixel in a scan line, the projective transformation can be modified to the following equations (Novak, 1992):

$$X = \frac{a_1x + a_2y + a_3}{1}$$

$$Y = \frac{b_1x + b_2y + b_3}{c_1x + c_2y + 1} \quad (18)$$

Due to the Earth curvature, and the large area of coverage of the linear array image produced from a satellite (e.g. the 60km×60km coverage for SPOT), it is difficult to define a plane area on the ground which

weighting function. The great advantages of the multiquadric algorithm are that:

- (i) it describes a continuous interpolation function;
- (ii) all GCPs contribute to the geometric transformation; and
- (iii) the image geometry can be wrapped in any given constraint.

However, it is not possible to check the accuracy of this procedure at the control points as one is used to doing with polynomial mapping functions. Instead there is a perfect fit at the control points. Consequently, independent test points have to be employed for accuracy checking. Figure 4 taken from Ehlers (1993) gives a comparison of the results of carrying out a rectification of an image using a global polynomial and the multiquadric method with the same ground control point (GCP) pattern.

The differences between the pointwise procedure and the multiquadric method arise from the selection of the GCPs. In the case of pointwise procedure, only the closest GCPs are considered in the computation of the correction for each image point while, in the case of multiquadric interpolation, all of the GCPs are considered in the computation at the same time. It will be obvious from the description of the multiquadric method given above that it will require a much greater computational effort than that required for the pointwise and piecewise polynomial transformations. This results from the fact that all GCPs are considered in the adjustment procedure instead of only the restricted number of neighbouring points used in the piecewise and pointwise procedures.

5. Two-Dimensional Projective Transformation

The two-dimensional projective transformation is a simplified version of the well known three-dimensional projective transformation in which the third coordinate (dimension) is considered as constant and, in practice, may not appear at all. It describes the relationship between the object and image planes (Figure 5), and can be expressed as follows (Searle, 1984):

$$\begin{aligned} X &= \frac{a_1x + a_2y + a_3}{c_1x + c_2y + 1} \\ Y &= \frac{b_1x + b_2y + b_3}{c_1x + c_2y + 1} \end{aligned} \quad (18)$$

where

$a_1, a_2, a_3, b_1, b_2, b_3, c_1, c_2$ are the projective parameters;

x and y are image coordinates; and

X and Y are the ground (object) coordinates.

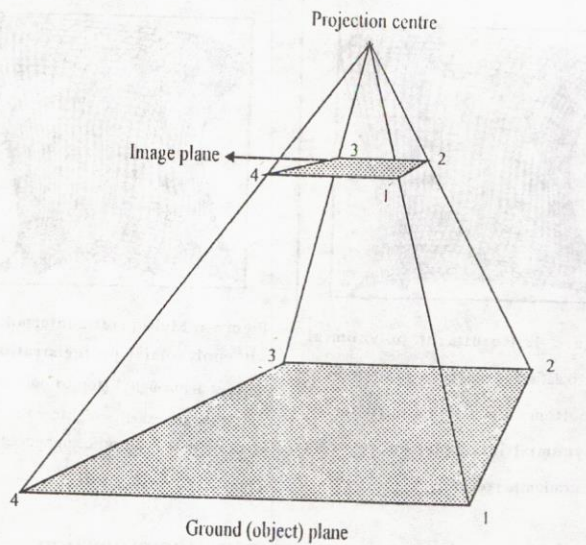


Figure 5. The projective relationship between the ground (object) and image plane
(minimum requirement is four control points)

positions of all the other pixels in the image are then interpolated using a weighted distance factor in relation to all employed GCPs. With this, a perfect fit will result at all the GCPs. However, this also means that the quality of the rectification at the GCPs themselves cannot be checked. According to Ehlers (1996), the multiquadric procedure can be summarized as follows:

(i) Calculate the distance $f_j(x', y')$ between a point (x', y') in the image and the GCP (X_j, Y_j) :

$$f_j(x', y') = [(x' - X_j)^2 + (y' - Y_j)^2]^{\frac{1}{2}} \quad (10)$$

(ii) Calculate the distance f_{ij} between two ground control points i and j with planimetric coordinates (X_i, Y_i) and (X_j, Y_j) :

$$f_{ij} = [(X_i - X_j)^2 + (Y_i - Y_j)^2]^{\frac{1}{2}} \quad (11)$$

Note: $f_{ji} = f_{ij} = f_j(X_i, Y_i) = f_i(X_j, Y_j)$.

(iii) Set up the interpolation matrix $F = (f_{ij})_{(n,n)}$, where (n,n) means that F is an n by n matrix.

(iv) According to (9), the residual vectors $[dX]$ and $[dY]$ should be modelled so that they can be calculated from F, where $[dX] = FA$ and $[dY] = FB$. For the $[dX]$ values the relationship is:

$$\begin{pmatrix} dX_1 \\ dX_2 \\ \vdots \\ dX_n \end{pmatrix} = \begin{pmatrix} f_{11} & f_{12} & \cdots & f_{1n} \\ f_{21} & f_{22} & \cdots & f_{2n} \\ \vdots & & & \vdots \\ f_{n1} & f_{n2} & \cdots & f_{nn} \end{pmatrix} \begin{pmatrix} a_1 \\ a_2 \\ \vdots \\ a_n \end{pmatrix} \quad (12)$$

This results in n equations for n unknowns in each set and these can be solved to gain values for A. The matrix F is symmetric and has zero values

along its diagonal (i.e. $f_{11}=f_{22}=\dots=f_{nn}=0$). Now the above equations can be solved to produce A and the residual improvements dX_K (where $K=1, \dots, n$) can be modelled as follows:

$$f_{K1} a_1 + f_{K2} a_2 + \dots + f_{Kn} a_n = dX_K \quad (13)$$

(v) The same must be done with the Y coordinates and vector B to give the $[dY]$ values:

$$\begin{pmatrix} dY_1 \\ dY_2 \\ \vdots \\ dY_n \end{pmatrix} = \begin{pmatrix} f_{11} & f_{12} & \cdots & f_{1n} \\ f_{21} & f_{22} & \cdots & f_{2n} \\ \vdots & & & \vdots \\ f_{n1} & f_{n2} & \cdots & f_{nn} \end{pmatrix} \begin{pmatrix} b_1 \\ b_2 \\ \vdots \\ b_n \end{pmatrix} \quad (14)$$

Again the residual improvements dY_K for $K = 1, \dots, n$ can be modelled as follows:

$$f_{K1} b_1 + f_{K2} b_2 + \dots + f_{Kn} b_n = dY_K \quad (15)$$

(vi) Now a geometric interpolation according to equations (13) and (15) can be performed for every pixel (x', y') in the image using the interpolation function $f_j(x', y')$ from equation (10). Let f_j now stand for $f_j(x', y')$ with $j = 1, \dots, n$. Equations (12) and (14) will now become:

$$\begin{aligned} f_1 a_1 + f_2 a_2 + \dots + f_n a_n &= dx \\ f_1 b_1 + f_2 b_2 + \dots + f_n b_n &= dy \end{aligned} \quad (16)$$

Now the true location of each point (x', y') can be calculated using the improvement vectors (dx, dy) as follows:

$$(X, Y) = (x', y') + (dx, dy) \quad (17)$$

If point (X, Y) is a GCP with coordinates (X_K, Y_K) , a perfect fit results. For all other points in the image, an interpolation is carried out according to the multiquadric interpolation model given above. The interpolation coefficients f_j provide a distance

If all coordinate values have been reduced with respect to an origin in the new point, then only the absolute term of the polynomial has to be computed. Each required coordinate correction at a control point leads to one correction equation; normal equations are then formed from the correction equations and are solved for the coefficients.

Thus, in this moving average procedure, the contribution of a correction equation to the normal equation is always given a weight that is a function of the distance between the new point that will be adjusted and the ground control point. This makes the coefficients in the transformation formula different for each point that is being transformed. The name "moving average" is based on the fact that the functional value of a polynomial can always be expressed as a linear combination ("average") of the values of the errors in the GCPs.

These pointwise methods make it possible to obtain a good fit at any number of points by attaching a larger weight to the contributions from nearby control points. A good overall result of the adjustment can be obtained by careful selection of the weight function and the polynomial that are used in the procedure.

4.4 Multiquadric Interpolation

This method was devised by R. L. Hardy in 1968 and was first described in Hardy (1971) for the interpolation of irregular surfaces. This method was later renamed as the multiquadric-biharmonic method - since the method was actually a numerical type of biharmonic analysis (Hardy, 1990). Later Gopfert (1982) and Ehlers (1987) modified this

method to make it suitable for the correction of remotely sensed image data. In this form, it is particularly suited for the rectification of remote sensing images of large scale and locally varying geometric distortions.

In practice, the first step before the application of the multiquadric algorithm to an image is to use a standard polynomial routine. Polynomials of first or second degree should be used to carry out a preliminary transformation to keep the distortions that can be introduced by polynomials of a higher order to a minimum. This process keeps the remaining residuals small enough to be handled more easily in a computer.

The residuals at the ground control points (GCPs) within the pre-rectified image can be calculated from the differences between the known coordinates of these points and the transformed values of the image coordinates of the same points generated using the polynomial coefficients into a reference system such as UTM, as follows:

$$\begin{aligned} dX_K &= X_K - X'_K \\ dY_K &= Y_K - Y'_K \end{aligned} \quad (9)$$

where ($k=1, \dots, n$) and,

dX_K, dY_K are the residuals;

X_K, Y_K are the known GCP planimetric coordinates; and

X'_K, Y'_K are the interpolated planimetric coordinates of the GCPs.

Next, the multiquadric method is used to interpolate vectors (dx, dy) for every pixel (x', y') based on the GCP residuals obtained in the pre-rectified image. This is done in such a way that the residual vectors (dX_K, dY_K) are modelled exactly for each GCP. The

each of the GCPs. Then a new transformation procedure is defined for each new point in the image, using only the surrounding subset of ground control points (GCPs). Essentially this comprises an individual transformation for each point (or pixel) in the image using only the closest GCPs. In this case, for each new point, the technique assembles a set of neighbouring GCPs according to some criterion. This may be the n closest GCPs (Figure 3a) or it may be the m GCPs lying in each of the four quadrants centered on the position of the new point (Figure 3b).

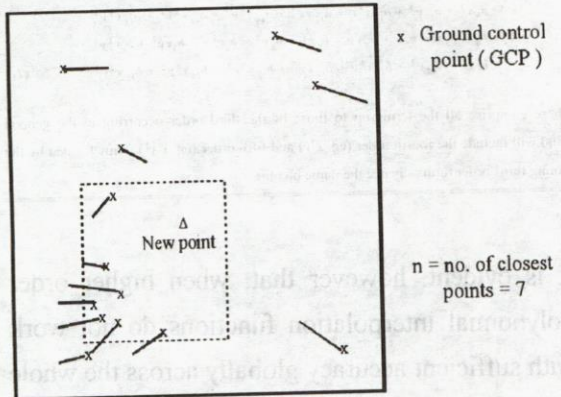


Figure 3a. Search routine for the closest points using a square window to collect n GCPs.

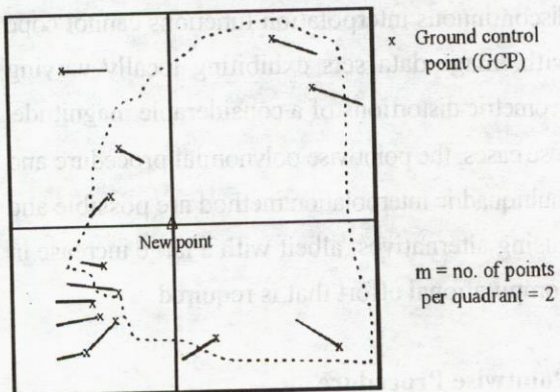


Figure 3b. Quadrant search routine for $m=2$ GCPs.

A typical pointwise procedure utilizes either a weighted distance average method or a moving

average method as the secondary transformation for new points.

In the case of the weighted distance average method, the corrections for the coordinates of a new point are computed using the residual vector error values at each of the surrounding GCPs (based on Figure 3a or 3b) whereby the value at each GCP is given a weight as a function of its distance from the new point:

$$\Delta X_P = \frac{\sum_{i=1}^n w_i \Delta X_i}{\sum_{i=1}^n w_i} ; \quad \Delta Y_P = \frac{\sum_{i=1}^n w_i \Delta Y_i}{\sum_{i=1}^n w_i} \quad (8)$$

where

ΔX_P and ΔY_P are the corrections for the new points;

ΔX_i and ΔY_i are the known residual errors for each of the surrounding GCPs coming from the preliminary polynomial transformation; and w_i are the weights of the errors at each of the GCPs and are a function of the distance (d) between the new point and each of the GCPs. A typical weight function can be considered as:

$$w_i = 1/d_i^k$$

Obviously, a large value of k increases the effect of the closest GCP while reducing the influence of all the other points.

In the case of the moving average method, using the error values at the selected neighbouring GCPs, a local polynomial of a low order (first or second order) is then computed. The coefficients in the transformation (polynomial) formulae are derived using a least squares procedure. The coefficients of the interpolation function will vary from point to point. This increases the flexibility of the correction method although much more computation is involved (Leberl 1975 and 1990).

regions, thus avoiding the tendency toward ill conditioning which results from the use of higher order polynomial coefficient matrices (Konecny, 1976). The types of spline function which may be used for the transformation and rectification of an individual small patch or piece of an image are shown in the box at the top of the next page.

It will be seen that a certain minimum number of ground control points need to be available in each patch or piece - 4 in the case of bilinear; 9 in the case of biquadratic; and 16 in the case of the bicubic function. This means that a dense network of ground control points needs to be available across the whole image in order to implement this method.

A problem that can arise with the use of the piecewise (or patchwise) approach occurs along the boundaries of the sub-images into which the overall image is split. Some method may have to be devised and applied to allow a smooth transition and continuity between one part of the image and the next, i.e. between the different sub-images. For example, constraints can be introduced by forcing the individual functions in the patches to coincide along boundary lines, so that joint functions will result.

A basic critique of this method is that a general mathematical model which relates the (slave) image to the (master) ground control coordinates data set no longer exists. Instead, there are a number of mathematical relations that are being employed independently in different parts of the image data set. These different parts are also being chosen on a random or non-specific basis.

a) Piecewise bilinear functions (first order splines)

$$\begin{aligned} X &= a_0 + a_1 x + a_2 y + a_3 xy \\ Y &= b_0 + b_1 x + b_2 y + b_3 xy \end{aligned} \quad (5)$$

It can be seen that these simply comprise both the first order terms of the general polynomial given above in equation (3), and the product (xy) of these two terms - hence the use of the term bilinear.

b) Biquadratic polynomials (second order splines)

$$\begin{aligned} X &= a_0 + a_1 x + a_2 y + a_3 xy + a_4 x^2 + a_5 y^2 + a_6 x^2 y + a_7 xy^2 + a_8 x^2 y^2 \\ Y &= b_0 + b_1 x + b_2 y + b_3 xy + b_4 x^2 + b_5 y^2 + b_6 x^2 y + b_7 xy^2 + b_8 x^2 y^2 \end{aligned} \quad (6)$$

Again the individual terms included in this comprise all of those up to second order which were included in the general polynomial equation (3), including their products (xy^2, x^2y, x^2y^2) - hence the use of the term biquadratic.

c) Bicubic polynomials (third order splines)

$$\begin{aligned} X &= a_0 + a_1 x + a_2 y + a_3 xy + a_4 x^2 + a_5 y^2 + a_6 x^2 y + a_7 xy^2 + a_8 x^2 y^2 + \\ &\quad a_9 x^3 + a_{10} y^3 + a_{11} x^3 y + a_{12} xy^3 + a_{13} y^3 p^3 + a_{14} x^3 p^2 + a_{15} x^2 y^3 \\ Y &= b_0 + b_1 x + b_2 y + b_3 xy + b_4 x^2 + b_5 y^2 + b_6 x^2 y + b_7 xy^2 + b_8 x^2 y^2 + \\ &\quad b_9 x^3 + b_{10} y^3 + b_{11} x^3 y + b_{12} xy^3 + b_{13} x^3 y^2 + b_{14} x^3 y^2 + b_{15} x^2 y^3 \end{aligned} \quad (7)$$

Once again, these comprise all the terms up to those of the third order occurring in the general polynomials, and will include the fourth order (eg. x^3y) and fifth order (eg. x^3y^2) terms formed by the products containing third order terms - hence the name bicubic.

It is evident, however that, when higher order polynomial interpolation functions do not work with sufficient accuracy globally across the whole image, piecewise polynomial procedures can yield a significantly improved accuracy in terms of geometric registration and fit. Yet, even these discontinuous interpolation functions cannot cope with image data sets exhibiting locally varying geometric distortions of a considerable magnitude.

In these cases, the pointwise polynomial procedure and the multiquadric interpolation method are possible and promising alternatives, albeit with a large increase in the computational effort that is required.

4.3 Pointwise Procedure

In the so-called pointwise procedure, a global polynomial is first used in a preliminary stage to match the image and ground coordinates of the control points. Residual vectors will then result at

determined using the measured image and known ground control point coordinates. Normally a least squares procedure will be employed with the solution - since there will often be more ground control points available than the minimum number necessary to solve the unknown coefficients. The choice of the number and order of the polynomial terms used in an image transformation is determined by the degree of accuracy required for the particular application, the number of control points required to achieve this accuracy, and the computational facilities available. It is most helpful when deciding which of these terms should actually be used in the transformation of measured image coordinates to terrain coordinates to understand the effects of each term on the transformation and the pattern of distortion or displacement that is modelled or corrected by each term. These are shown graphically in Figures 2a and 2b.

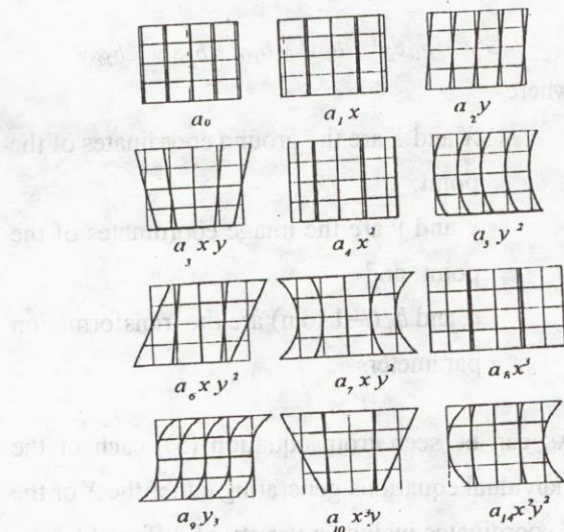


Figure 2a. The effects of the polynomial terms in X

Thus, for example, a first order polynomial or affine transformation will only include the first 3 terms of each equation in (3), i.e.

$$\begin{aligned} X &= a_0 + a_1x + a_2y \\ Y &= b_0 + b_1x + b_2y \end{aligned} \quad (4)$$

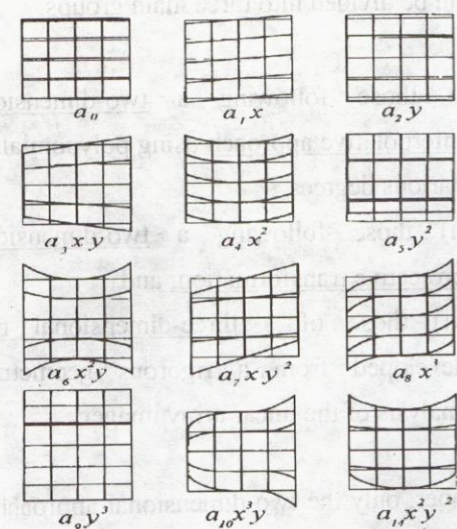


Figure 2b. The effects of the polynomial terms in Y

This can accomplish scaling, rotation, and shearing, but not warping. A second order or higher order polynomial can be used to model these more complex distortions (Mather, 1987). The polynomial method is well explained by Wong (1975), Konecny (1976), El-Niweiri (1988), Ganguly (1991), and Petrie and El-Niweiri (1994). Whatever its defects, it is worth noting that the use of the general polynomial transformation with up to 20 to 25 terms has been widespread in remote sensing practice to date.

Polynomials do have the disadvantage that the model from which the coefficients have been determined may fit well at the control points, but may deviate strongly elsewhere in the image due to the unpredictable effects of the higher order terms. An alternative method to the use of the general polynomial which attempts to overcome this disadvantage, is to use spline functions or a piecewise polynomial procedure.

4.2 Piecewise Polynomial Procedure

This uses low order polynomials within bounded

models can be divided into three main groups:

- i) those following a two-dimensional interpolative approach using polynomials of various degrees;
- ii) those following a two-dimensional projective transformation; and
- iii) those of a three-dimensional type developed from a rigorous geometrical analysis of the linear array imagery.

In this paper, only the two-dimensional approaches, i.e. cases (i) and (ii), will be discussed and analysed. Flat ground with no relief displacements will be assumed throughout.

The principal aim of utilizing a two-dimensional image transformation in photogrammetry is to carry out image rectification. With these methods, no effort is made to estimate the orientation parameters. Instead, the common approach is to use a mathematical formula whose parameters relate the image space to the object space as well as possible. Using the known coordinates of ground control points (GCPs) in the object space, and the measured coordinates of the corresponding points in the image space as observations, the parameters of the transformation model are computed. Then the computed parameters are substituted back into the transformation model which is then used to compute the planimetric ground coordinates of any other points whose image coordinates have been measured. In practice, polynomial transformations are used widely for this purpose, especially where high positional accuracies are not required, e.g. in thematic mapping and in projects where the interpretation of the ground features is the main matter of interest.

4. Two Dimensional Interpolative Approach

4.1 Polynomial Approach

The polynomial transformation that is commonly used takes the form:

$$\begin{aligned}
 X = & a_0 && \text{(a constant term)} \\
 & + a_1x + a_2y && \text{(linear (1st order) terms)} \\
 & + a_3xy + a_4x^2 + a_5y^2 && \text{(quadratic (2nd order) terms)} \\
 & + a_6x^3y + a_7xy^3 + a_8x^3 + a_9y^3 && \text{(cubic (3rd order) terms)} \\
 & + a_{10}x^4y + a_{11}xy^4 + a_{12}x^4 + a_{13}y^4 + a_{14}x^2y^2 && \text{(quartic (4th order) terms)} \\
 & + a_{15}x^3y^2 + a_{16}x^2y^3 + a_{17}x^5 + a_{18}y^5 + a_{19}x^4y + a_{20}xy^4 && \text{(quintic (5th order) terms)}
 \end{aligned}$$

$$Y = b_0$$

$$\begin{aligned}
 & + b_1x + b_2y \\
 & + b_3xy + b_4x^2 + b_5y^2 \\
 & + \dots && \text{as above} \\
 & + b_{15}x^3y^2 + b_{16}x^2y^3 + b_{17}x^5 + b_{18}y^5 + b_{19}x^4y + b_{20}xy^4
 \end{aligned}$$

where

X and Y are the ground coordinates of the point;

x and y are the image coordinates of the point; and

a_i and b_i ($i=1$ to n) are the transformation parameters.

As can be seen from equation (3), each of the individual equations generating either the X or the Y coordinates include a variety of different terms.

The number of terms of a specific order in these equations will always be one greater ($n+1$) than the order of the terms (n), e.g. there are five fourth order terms, four third order terms, etc.

As mentioned above, the coefficients of the polynomial transformation are conveniently

2. Functional Relationship

In order to reconstruct the position and shape of objects from linear array images, it is necessary to define the functional relationship between the image coordinates (x, y) of a point and the coordinates of the same point in a specified ground coordinate system (X, Y, Z) . In general terms, this relation can be expressed in three dimensions, as:

$$\begin{aligned} x &= f(X, Y, Z) \\ y &= g(X, Y, Z) \end{aligned} \quad (1)$$

or in two dimensions as:

$$\begin{aligned} x &= f(X, Y) \\ y &= g(X, Y) \end{aligned} \quad (2)$$

Such functional relationships can be realised through the use of a suitable mathematical model which describes in the best possible way, the physical phenomena that are involved during the imaging. The choice of the model depends on a number of factors such as the assumption that the variations in the parameters or discrepancies occur either in a deterministic or a stochastic manner; the magnitude of such variations that are to be expected; the computational effort involved; and the accuracy of representation desired.

The geometry of imageries based on the use of linear arrays and the pushbroom principle of operation differs significantly from that of photographic imageries. These include the different nature of the imagery itself and the very different perspective relations that are involved. In turn, these lead to a quite different geometry for the imaging rays. The image produced by a pushbroom scanner is a continuous strip image made up of a

large number of individual scan lines occurring at a frequency corresponding to the scanning resolution within the lines (see Figure 1).

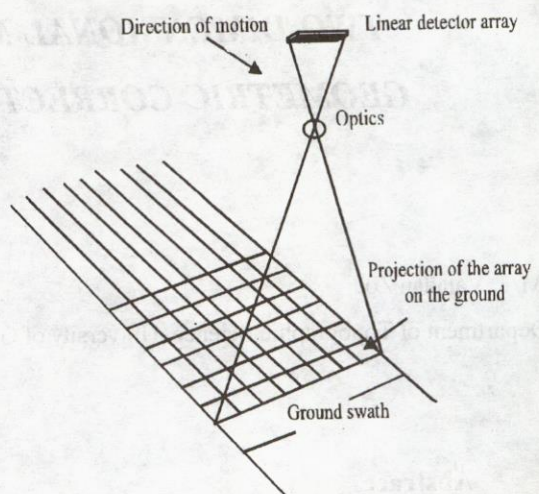


Figure 1. Along-track pushbroom linear array system

Therefore the two-dimensional image is constructed as an indefinitely long strip covering the ground swath lying under the flight line. The constant frequency of the scanning imaging action allows the image coordinate axis, measured along the strip, to be regarded as a function of time. Since the positions and orientation of the linear array sensor in space or in the air are continually changing along the orbit or flight path, the imaging geometry becomes dynamic and time dependent.

3. Mathematical Modelling of Linear Array Imageries

Many researches have been carried out into the geometry of linear array imagery and a number of different mathematical models for the photogrammetric orientation, rectification and reconstruction of these imageries have been devised. Taking a broad view, these various mathematical

TWO-DIMENSIONAL MATHEMATICAL MODELS FOR THE GEOMETRIC CORRECTIONS OF LINEAR ARRAY IMAGERIES

M. J. Valadan Zoej

Department of Topographic Science, University of Glasgow

Abstract

In this paper, the different transformation models for the geometric correction of linear array imagery in two dimensions are investigated and compared. They comprise the two-dimensional polynomial approach in its global, piecewise and pointwise forms; the multiquadric interpolation technique and the two-dimensional projective transformation.

1. Introduction

There are essentially two different approaches that can be used to correct the geometric distortions that are present in a remotely sensed image in general and a linear array image in particular: *(i) a deterministic approach, and (ii) a transformation approach.*

The deterministic approach occurs where the type and magnitude of the distortions are modelled and these models are then used to correct the data. These techniques work well when the types of distortion such as Earth rotation, Earth curvature or sensor characteristics such as lens distortion are well-known. Thus this approach works very well with aerial or space photography where pre-flight calibration can determine many of these

parameters. However it works less well with the dynamic imaging characteristics of the scanners which are widely used in remote sensing.

By contrast, the transformation approach depends on the assumption of a mathematical relationship existing between the pixel locations of points in the remotely sensed images and the corresponding locations in terms of the ground coordinates of those points. This approach does not depend on any well defined physical relationship as in the previous deterministic approach but in a purely

mathematical relationship. Thus the parameters of the mathematical functions are derived through the application of a transformation procedure.

dam is explained including a summary of the final results. The results obtained from the deformation analysis satisfied the $\pm 3\text{mm}$ monitoring criteria at the 0.95 confidence level and clearly identified significant displacements of the crest of the dam.

Readjustment of the first order terrestrial network of Iran.

By : Morteza Sedigi

NCC with cooperation of US Army Map Service and other American agencies had been establishing Iranian classic networks from 1954 to 1977, but unfortunately final results of them are not available.

After our revolution, NCC began for establishing a control network (1984-1990). Unfortunately, this network was not finished in the South of Iran, and distance observations were not done in all parts(specially in the South of network). On the other hand, astronomical observations which must be observed in every 200km, were not done completely.

NCC observed the GPS network until 1990. This network was adjusted by used of spatial distances in two dimensional space [Amoui 1991]. The adjustment was done by TRAV 10 software on the WGS84 and Hayford datums. The solution on the WGS84 ellipsoid was done in weighted constraint adjustment (by processing five points in single point positioning) with ± 5 meter as standard deviation of constraints. The solution on to the Hayford datum was done by one fix point(at the West of net. near the Iran - Turkey border) and four weighted points by ± 1 meter accuracy. In that year, the classic network was adjusted by use of 38 common points between GPS and

classic network. These adjustments were done by considering 38 fix points on to the WGS84 and Hayford datums [Amoui 1991].

In this thesis, the classic network was finished by simulating it. We assessed the effects of added points and observations in the gap area and poor part of the network, respectively. It was shown that by adding a few points and observations(e.g 12 points & 35 distances & 40 angles) in gap area and a few observations (e.g. 41 distances & 3 angles) in poor parts of the network. We can obtain better relative(less than 20PPm) and absolute accuracy for all points.

In chapter four, we adjust the network, then analyse the results of adjustments on to both WGS84 and Hayford datums. We will see the effect of errors in coordinates of constraints on the network. Other examinations are the effects of geoidal heights and vertical deflection components on the coordinates of network. It is shown that neglecting the negative values of geoidal heights(N) makes the network small and neglecting the η, ξ rotates the network. It is shown the coordinates or weights of constraints could not be correct in the adjustments in 1991, and those constraints distort the network.

At the end, we recommend the completion of the network that can be done by GPS.

urban development, planning for and managing of transport facilities lead research towards closer-to-reality information of geo-referenced phenomena. For these applications, there is a need to consider not only current but also historical and future plans. The incorporation of time, in this regard, is a necessary basic component of every spatial object. Consequently, data on the past status of the problem domain is essential with a view to establishing the present legal state of affairs but also for modelling the objects' behavior, thus being prepared for events that may be caused by both natural and social forces, as well as for planning the desired future. Therefore, the time aspect is the most important addition to spatial databases.

However, the incorporation of time into spatial models is not simple. One reason is that spatial and temporal dimensions are semantically profoundly different. This thesis first analyzes the needs to incorporate time in spatial information systems; it, then, reports the differences between space and time, from a variety of aspects. After recognition of the conceptual basis, for space and time, the research is aimed at how they can be handled in a single Spatio-Temporal database(STDB). Semantic analysis is used for the theoretical task of explaining the semantic issue associated with space and time, and a prototype of a Rich- Spatio-Temporal Data Model(RSTDM) is given. This prototype model has been implemented in ONTOS (an object - oriented database management system).

A fully operational spatio-temporal database, and consequently, a dynamic GIS, cannot be developed by this single approach, and definitely would require a concerted effort from a variety of disciplines. However, this research is an attempt for a promising start towards achievement of such a goal.

DESIGN , IMPLEMENTATION , AND ANALYSIS OF TWO - DIMENSIONAL DEFORMATION SURVEYS OF TOROGH DAM

By : Eng. M. Sakeri

Most dams, especially those in Iran, have little or no formalized monitoring scheme or instrumentation incorporated as part of the overall surveillance or preventive maintenance of the structure. Data on the behavior of these structures is obtained by performing precise geodetic and geotechnical deformation surveys.

This thesis summarizes the phases of an investigation undertaken to determine the deformations of the Torgh dam in Iran.

Experiences with this kind of dams, have suggested that possible displacement of the crest in the order of $\pm 3.0\text{mm}$ per year in the horizontal (x,y) direction could be expected. During the process of this investigation, several problems related to the design, and analysis of deformation surveys had to be solved.

The steps taken in the design of the observation methodology to achieve the monitoring requirements using the UNB Generalized Method are outlined. The design of observation specifications and a data acquisition methodology are considered. Major design aspects relative to the preprocessing of the observation data are also presented.

The two - dimensional analysis of the deformation surveys describing the mathematical models , procedures, and adjusted results are discussed. The trend analysis of the displacement vector field, and the problem of resolving and statistically confirming the stability of the reference points is presented.

The approach to modeling the deformations of the

FOCUS

ABSTRACTS

ESTABLISHMENT OF ZERO ORDER GEODETIC NETWORK OF IRAN AND CONNECTION TO THE IGS GLOBAL GPS NETWORK.

By : Eng. H.R. Nankali

National Geodetic Networks are the most important bases in every country for producing maps (large and small scales) from satellite images, land surveying and photogrammetric missions and also important for Geophysics , Geology , Geodynamic (crustal movement , earth quick prediction) and another surveying missions.

One of the responsibility of National Cartographic Center in Iran is establishing geodetic networks which consist of two parts :

- 1) Classic Geodetic Network
- 2) Satellite Geodetic Network

In 1988 the N.C.C equipped 3 single frequency WM101 receivers, and decided to establish a network which cover the whole country. This network consist of 343 triangle with average lenght about 100 km. Each triangle observed in one day with the period of 3 hours. All data process with pops software and used in adjustment software (TRV10) without any variance / covariance information.

In 1992 N.C.C equipped 3 dual frequency receivers and decided to, improve and optimize and also detect remaning systematic errors of the first order satellite geodetic network of Iran. For this propose we decided to design a network (according to time, expense, number of receiver), which consist of 10 points common with first order network and cover the whole country. This network called Zero Order Satellite Geodetic Network of Iran.

In order to improve the network and increase the accuracy of Z.N we decided to use precise ehpemerids in all computation and also connecting to the IGS GLOBAL GPS NEWORK, which the coordinates are in ITRF system. Result in maximum accuracy and minimum computational burden and also having well define long term stable reference system.

The Management of Spatio-Temporal Data in a National Geographic Information System

By : Eng. A.A. Roshannejad

Increasing demands for ways of handling spatial objects in the management of land and water resources, administration , environmental protection,

Naghshbardari

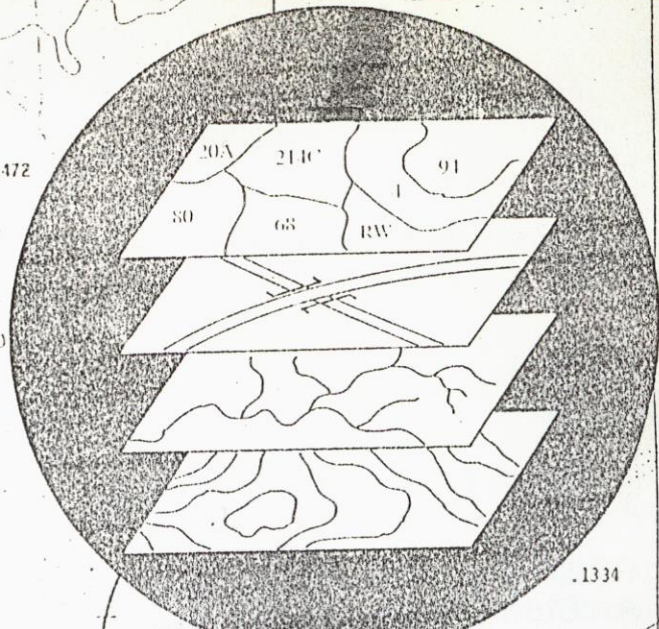
NCC Scientific and Technical Quarterly Journal

In this issue:

Summer 1996

■ Establishment of Zero Order Geodetic Network of Iran and Connection to the IGS Global GPS Network.....	5
■ Analysis of the behavior and motion of the Sepidrud dam after the 31-3-1369 (20 June 1990) earthquake.....	16
■ The best tessellation Scheme for a Global GIS.....	28
■ Application of Geo Information Systems in Microgeodesy.....	35
■ From Analogue to Digital form.....	38
■ An Informative Report.....	40
■ Scientific & Technical Reports and News.....	48
■ Book Introduction.....	52
■ Selected Abtracts from International Journals.....	54
■ Two - Dimensional Mathematical Models for the Geometric Corrections of Linear Arrayimageries.....	
■ Focus.....	

سیستم های اطلاعات جغرافیایی



GIS

Stan Aronoff

ترجمه، سازمان نقشه برداری کشور
مدیریت سیستم های اطلاعات جغرافیایی



بزرگترین تولیدکننده سیستم های GIS (سیستم اطلاعات جغرافیایی) در دنیا

ARC/INFO 7.0.3

GRID TIN NETWORK COGO
ArcStorm ArcScan ArcExpress

PC ARC/INFO 3.4.2

ArcCAD 11.3

ArcView 2.1

Avenue



طراحی و اجرای
سیستم های اطلاعات جغرافیایی

شرکت نگاره با همکاری شرکت ESRI
آماده باشیت در زمینه های مشاوره، طراحی،
پیاده سازی و پشتیبانی سیستم های اطلاعات جغرافیایی است.



شرکت نگاره (واحد اطلاعات جغرافیایی)
تهران ، میلان پالیزی ، خیابان شهید قلنی ، پلاک ۵۷ صندوق پستی ۱۰۸۷۵ / ۱۴۱۴
تلفن ۰۲۶۶۷۳۰۰ - ۰۲۶۶۷۶۱ - ۰۲۶۱۷۱ - ۰۲۶۰۹۶۷ نمبر ۸۷۶۰۹۶۷ تلفن ۰۲۶۴۴۱

